

TECHNICKÁ INFORMÁCIA ČÍSLO 1.

marec 1966

TESLA ORAVA

Predbežná dokumentácia na televízne prijímače

TESLA 4118 U - OLIVER

TESLA 4119 U - MIRIAM

TESLA 4121 U - MARCELA

TESLA 4218 U - BLANKYT

O B S A H

1.0 TECHNICKÉ ÚDAJE	5
2.0 OVLÁDACIE PRVKY	
ROZLOŽENIE ELEKTRÓNOK	
A BLOKOVÉ ZAPOJENIE	7
3.0 POPIS ZAPOJENIA	10
3.1 Kanálový volič	10
3.2 Medzifrekvenčný zosilňovač	10
3.3 Obrazový detektor	12
3.4 Obrazový zosilňovač	12
3.5 Ručná regulácia kontrastu	13
3.6 Automatická regulácia kontrastu a jasu fotoodporom	13
3.7 Klúčové automatické vyrovnanie citlivosti (KAVC)	13
3.8 Zvukový medzifrekvenčný zosilňovač	15
3.9 Nízkofrekvenčný zosilňovač	17
3.10 Oddeľovač synchronizačných impulzov	18
3.11 Obvod plnoautomatickej synchronizácie riadkového kmitočtu	19
3.12 Budiaci generátor riadkového rozkladu	24
3.13 Koncový stupeň riadkového rozkladu	25
3.14 Stabilizácia riadkového rozkladu	27
3.15 Snímkové rozkladové obvody	27
3.16 Stabilizácia snímkového rozkladu	28
3.17 Obvody obrazovky	28
3.18 Sieťová napájacia časť	28
4.0 KONTROLA A VYVAŽOVANIE	29
TELEVÍZNEHO PRIJÍMACA	
4.1 Vyváženie vý dielu	29
4.2 Nastavenie obrazovej medzifrekvencie	30
4.3 Kontrola kmitočtovej charakteristiky a citlivosti celého prijímača	32
4.4 Nastavenie odlaďovača 6,5 MHz a meranie kmitočtovej charakteristiky obrazového zosilňovača	34
4.5 Kontrola funkcie KAVC a dostavenie pracovného bodu	34
4.6 Nastavenie a kontrola zvukovej časti	34
4.7 Kontrola a nastavenie rozkladových obvodov	35
4.8 Nastavenie hrubého regulátora jasu — P 21	36
4.9 Kontrola funkcie fotoodporu a ovládacie prvky	36
5.0 ZOZNAM NÁHRADNÝCH DIELOV	37
5.1 Elektrické diely	37
5.2 Mechanické diely	42
6.0 ZMENY POČAS TLAČE A OPRAVY	44

ÚVOD

Tesla Orava n. p. bude vyrábať od roku 1966 nové typy televíznych príjimačov, ktoré sú odvodené od základného typu Tesla 4118 U „Oliver“. Predbežná

dokumentácia má oboznámiť televíznych opravárov s týmto typmi príjimačov:
Tesla 4118 U „Oliver“, Tesla 4119 U „Miriam“, Tesla 4121 U „Marcela“, Tesla 4218 U „Blankyt“.

Konštrukcia príjimača

Chassis príjimača je zvislé, lisované z plechu a je výklopné. Hlavné ovládacie prvky, oddeľovací transformátor pre diódový výstup a tlačítková súprava sú umiestnené na bočníku vpravo. Reproduktor je umiestnený na bočnej stene skrine vľavo, okrem typu 4218 U, ktorý má reproduktor umiestnený na prednej stene skrine. Typy 4118 U a 4121 U majú tiež výškový reproduktor, umiestnený na bočníku nad ovládaciimi prvkami. Ovládanie VF dielu pre I. – III. TV pásmo je vpravo, okrem typu 4218 U, ktorý má ovládanie VF dielu vpredu na bočníku. Chassis príjimača je uložené v zadnej časti skrine. Zapojenie je prevedené technikou plošných spojov. Poistky sú prístupné po odobratí zadnej steny, prístup k elektrónkam, k ladiacim a nastavovacím prvkom je možný po vyklopení chassis.

Prijímač je univerzálny, bez napájacieho transformátora a so sériovým zapojením elektrónok. Tým chassis a všetky s ním spojené diely môžu byť pod sieťovým napätiom, preto ochrana pred náhodným dotykom živých častí je zvlášť dokonale prevedená. Skrinka príjimača je drevaná. Na nej je upevnená predná ozdobná maska s obrazovkou. Obrazovku je možné vybrať nezávisle od masky a naopak. Na zadnej stene chassis je vyvedená zásuvka diódového výstupu pre pripojenie magnetofónu. Trojica anténnych zdierok je na zadnej časti skrine vľavo (príjímač 4121 U má jednu anténnu zdierku). Pripojenie predného ovládacieho panelu, napájanie VF dielu, vychylovacej jednotky a výstupného transformátora zvuku je prevedené pomocou rozpojovacích zásuviek – vidlic.

1. 0

TECHNICKÉ ÚDAJE

1. Prijímané kanály:

Prijímač je vybavený 12 polohovým kanálovým voličom; všetky polohy sú osadené kanálmi podľa normy OIRT (I. II. III. TV pásmo). Číslo polohy súhlasí s číslom kanálu.

2. Anténny vstup:

Symetrický, 300 Ohm. Typy 4118 U, 4119 U a 4218 U majú pre I. – III. TV pásmo druhý anténny vstup s útlmovým článkom cca 27 dB.

3. Ladené obvody v kanálovom voliči:

3 obvody vf zosilňovača tvorené jedným jednoduchým obvodom a jedným pásmovým filtrom
1 obvod oscilátora

1 obvod MF pásmového filtra

Ručné ladenie oscilátora je kapacitné, ladiaci rozsah ± 1 až ± 2 MHz.

4. Obrazový medzifrekvečný zosilňovač a videozosiľovač:

Nosný kmitočet obrazu 38 MHz

Nosný kmitočet zvuku 31,5 MHz

Ladené obvody:

8 obvodov, tvorených 4 pásmovými filtrami

3 odladovače v MF pásmе

1 odladovač 6,5 MHz vo videozosiľovači.

5. Celková šírka prenášaného pásma:

5 MHz pri poklese o 6 dB.

Potlačenie nosného kmitočtu zvuku v OMF zosilňovači je -29 dB ± 4 dB.
Potlačenie nosných kmitočtov susedných kanálov je minimálne -46 dB.

6. Citlivosť príjimača:

Meraná od antény až po katódu obrazovky pre dosiahnutie 6 V ef pri hlbke amplitúdovej modulácie 30 %, 400 Hz na kmitočte cca o 2,5 MHz vyššom ako kmitočet nosnej obrazu príslušného kanálu.

Pre kanál 1. až 2. priemerná $20 \mu\text{V}$, medzná $50 \mu\text{V}$
Pre kanály 3. – 12. priemerná $35 \mu\text{V}$, medzná $80 \mu\text{V}$

7. Riadenie zisku:

Klúčované riadenie zisku s oneskoreným riadením kanálového voliča. Riadi sa 1. elektrónka v kanálovom voliči a 1. elektrónka v OMF zosilňovači.

8. Riadenie kontrastu:

Ručná regulácia kontrastu v anódovom obvode videozosiľovača mení úroveň modulačného signálu na katóde obrazovky v pomere väčšom ako 1 : 4.

Automatická regulácia kontrastu a jasu fotoodporom (len u typov 4118 U a 4121 U). Fotoodpor pracuje v rozsahu 0–1000 lx. Pri zmene osvetlenia z 0 na 100 lx je zmena modulačného signálu na katóde obrazovky cca 6 dB pri vstupnom signále 1 mV. Automatická regulácia je vypínameľná.

9. Zvukový medzifrekvečný zosilňovač a demodulátor:

Medzinosný kmitočet 6,5 MHz sa odoberá z obvodu obrazového detektora.

Ladené obvody:

2 v zvukovom medzifrekvenčnom zosilňovači
2 v pomerovom detektore

10. Sírka pásma ZMF zosilňovača:

Je najmenej 200 kHz pri poklese o 3 dB.

11. Nízkofrekvenčný zosilňovač:

Dvojstupňový, tónová clona plynule regulovateľná.
Sírka pásma 70 Hz až 13 kHz pre pokles o 3 dB
(referenčný kmitočet 400 Hz).
Diódový výstup pre nahrávanie na magnetofón.

12. Reproduktory:

Typy 4118 U, 4121 U	— bezrozptylový eliptický ARE 589 výškový ARV 081
4119 U	— bezrozptylový eliptický ARE 589
4218 U	— bezrozptylový eliptický ARE 489

13. Nízkofrekvenčný výstupný výkon:

Minimálne 2,2 W pri skreslení 10 % pre 400 Hz.

14. Synchronizácia:

Riadková: nepriama, plne automatická s frekvenčno-fázovým porovnávacím obvodom a s kľúčovaním porúch. Aktívny synchronizačný rozsah min. ± 800 Hz.
Snímková: priama, s predchádzajúcim dvojstupňovým oddelovačom a dvojitým integračným článkom.

15. Riadkový rozklad:

Budiaci generátor: sínososcilátor s reaktančnou elektrónkou riadenou napäťom s frekvenčnovázového porovnávacieho obvodu.
Koncový stupeň: pre 100 ° vychylovanie, vychylovanie cieky nízkoimpedančné, súmerne napájané.
Vysoké napätie pre obrazovku 14,5 \pm 1 kV (pre $I_k = 100 \mu A$).

16. Snímkový rozklad:

Blocking-oscilátor a koncový stupeň s elektrónkou PCL 85.

17. Stabilizácia rozmeru obrazu:

Stabilizácia šírky obrazu a vysokého napäťa napäťovo závislým odporom.

Stabilizácia výšky obrazu použitím stabilizovaného zvýšeného napäťa a ďalším napäťovo závislým odporom.

18. Zatemňovanie spätných behov:

Snímkových i riadkových, zatemňovacie impulzy sa tvarujú.

19. Nelineárnosť obrazu:

Nelineárnosť riadkového rozkladu max. 10 %.
Nelineárnosť snímkového rozkladu max. 8 %.

20. Obrazovka a jej príslušenstvo:

Typ 4118 U: A 47–17W, antiimplózna bez ochranného skla

Typy 4119 U, 4121 U: 470QQ44, hranatá

Typ 4218 U: 590QQ44, hranatá

Rozmer obrazu: typy 4118 U, 4119 U, 4121 U: 384 \times 305 mm

typ 4218 U: 489 \times 385 mm

Vychylovací uhol 110°, zaostrenie elektrostatické, stredenie dvojoma permanetnými magnetmi (tváru medzikružia), korekčné magnety pre vyrovnanie po- duškovitosti.

21. Sieťová časť:

Kremíkový usmerňovací blok KA 220/05.

Žhavanie elektrónok sériově, chránené termistormi.

Poistky: 1 tavná v sieťovom prívode 1,6 A

1 tavná v žeraviacom prívode 0,4 A

1 tepelná poistka v obvode jednosmerného napájacieho prúdu.

22. Napájanie:

Zo striedavej siete 220 V s dovoleným kolísaním $\pm 10 \%$, o frekvencii 50 Hz. Príkon 160 W.

23. Použité elektrónky a polovodiče:

PCC 88	— vstupný Vf zosilňovač
PCF 82	— zmiešavač a oscilátor
EF 183	— 1. stupeň MF zosilňovača
2x EF 80	— 2. a 3. stupeň MF zosilňovača
PCL 84	— obrazový zosilňovač + kľúčované riadenie zisku
PCL 86	— nf. zosilňovač zvuku
ECH 84	— oddelovač synchronizačných impulzov
PCF 82	— budiaci generátor riadkového rozkladu
PCL 85	— budiaci generátor a koncový stupeň snímkového rozkladu
PL 500	— koncový stupeň riadkového rozkladu
PY 88	— účinnostná dióda
DY 86	— vysokonapäťový usmerňovač
A 47 – 17W	— obrazovka pre typ 4118 U (anti-implózna)
470 QQ 44	— obrazovka pre typy 4119 U a 4121 U
590 QQ 44	— obrazovka pre typ 4218 U
2x OC 170	— zvukový MF zosilňovač + omeďovač
GA 205	— obrazový detektor
GA 204	— osnekorenie riadenia zisku VF dielu

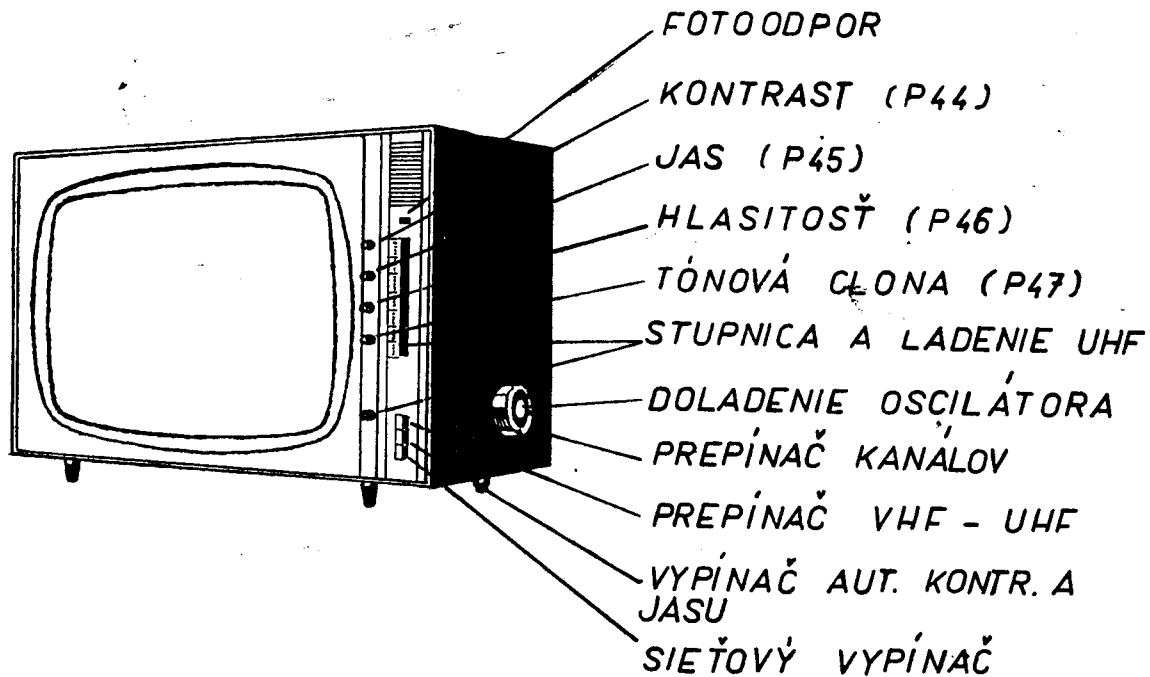
GA 201	- diódový ZMF oměžovač
2x GA 206	- pomerový detektor
2x E 50 C5	- frekvenčno-fázový porovnávací obvod
E 50 C5	- tvarovací obvod vertikálnych synchronizačných impulzov
GA 204	- tvarovanie impulzov pre potlačenie spätných behov
KA 220/05	- kremíkový usmerňovač
WK 559 00	- stabilizácia zvislého rozmeru obrazu

SV 1300/10-9 - stabilizácia vodorovného rozmeru obrazu a vysokého napätia

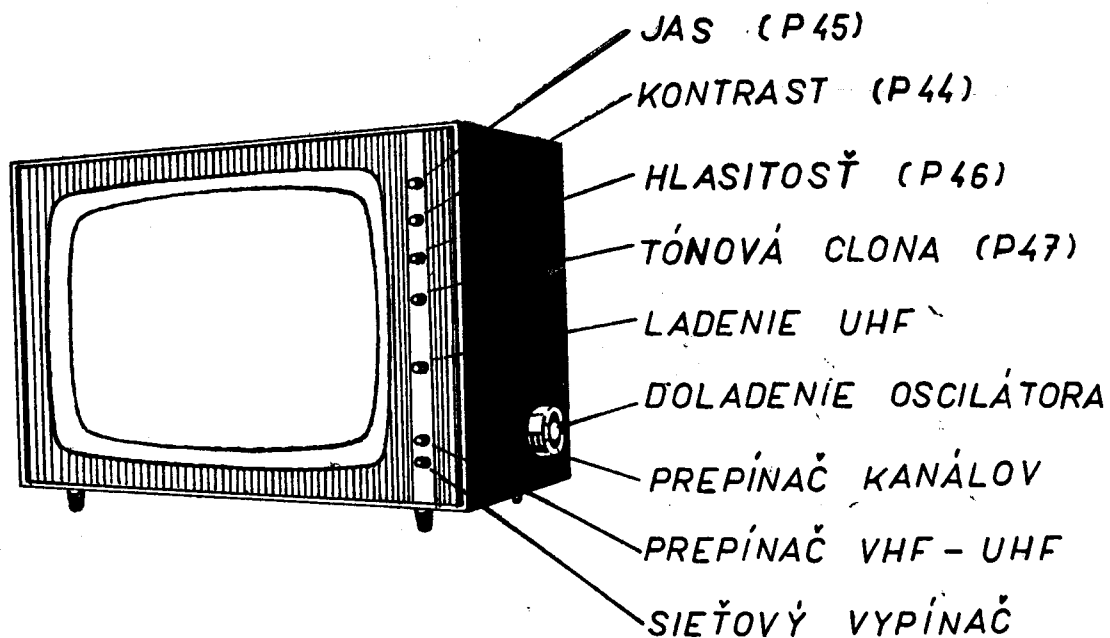
24. Rozmery a váha:

Typ	4118 U	4119 U	4121 U	4218 U
šírka max.	537 mm	515 mm	530 mm	694 mm
výška max.	403 mm	405 mm	410 mm	500 mm
hlbka max.	336 mm	335 mm	340 mm	393 mm
Váha cca	19 kg	19 kg	20 kg	28 kg

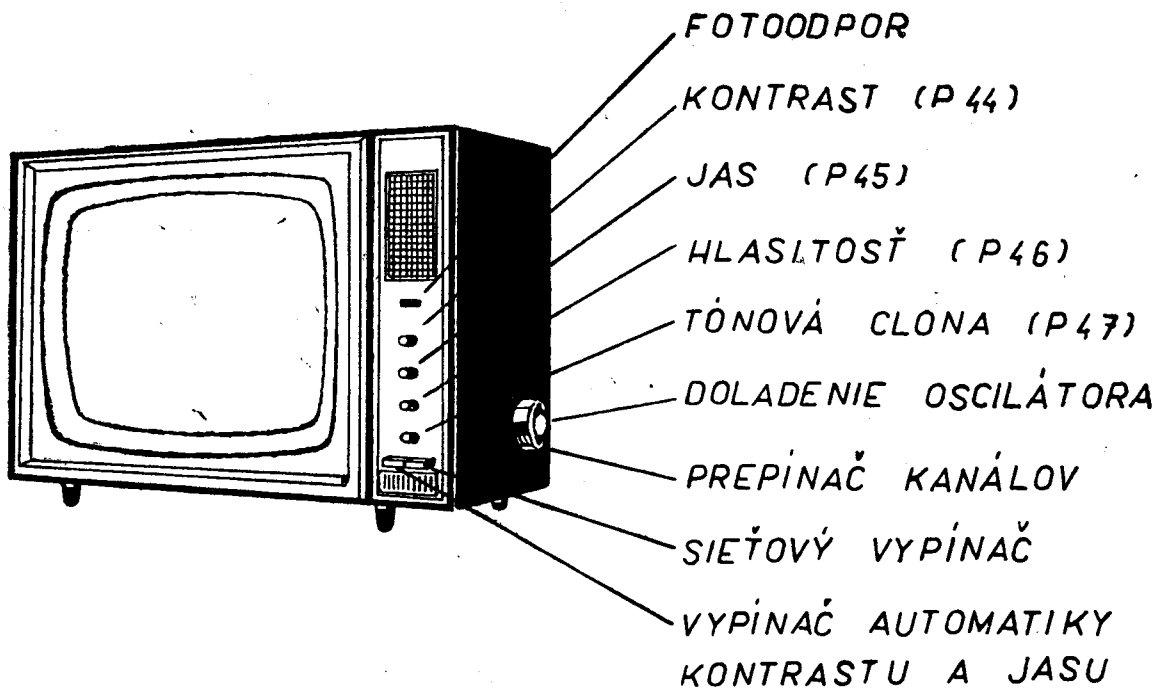
2. 0 OVLÁDACIE PRVKY, ROZLOŽENIE ELEKTRÓNOK A BLOKOVÉ ZAPOJENIE



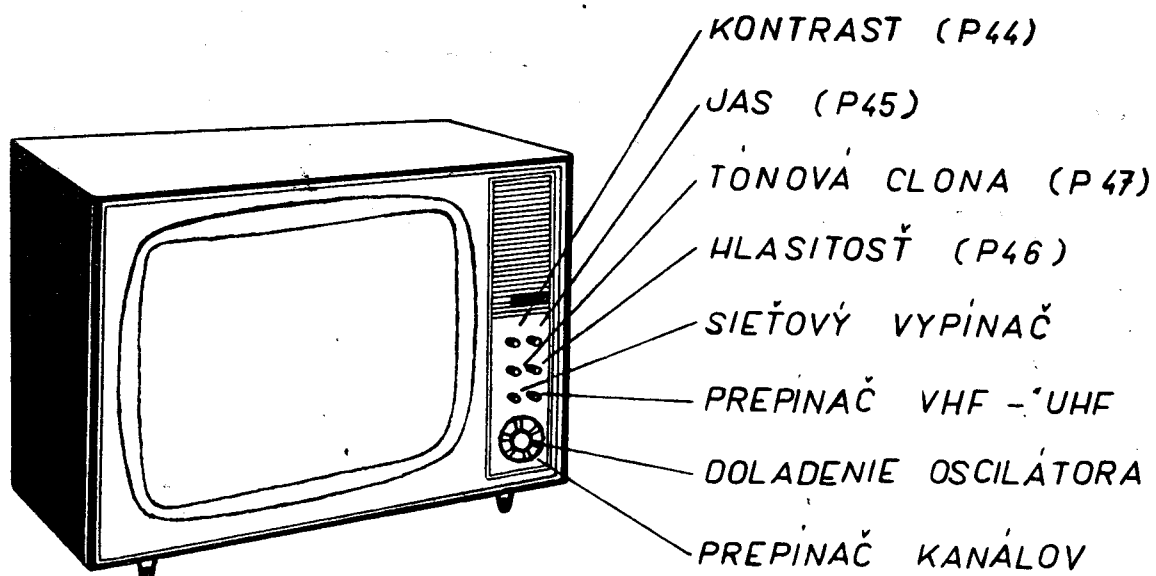
Obr. 1. Televízny prijímač 4118 U „Oliver“. Ovládacie prvky na prednej a bočnej stene skrine.



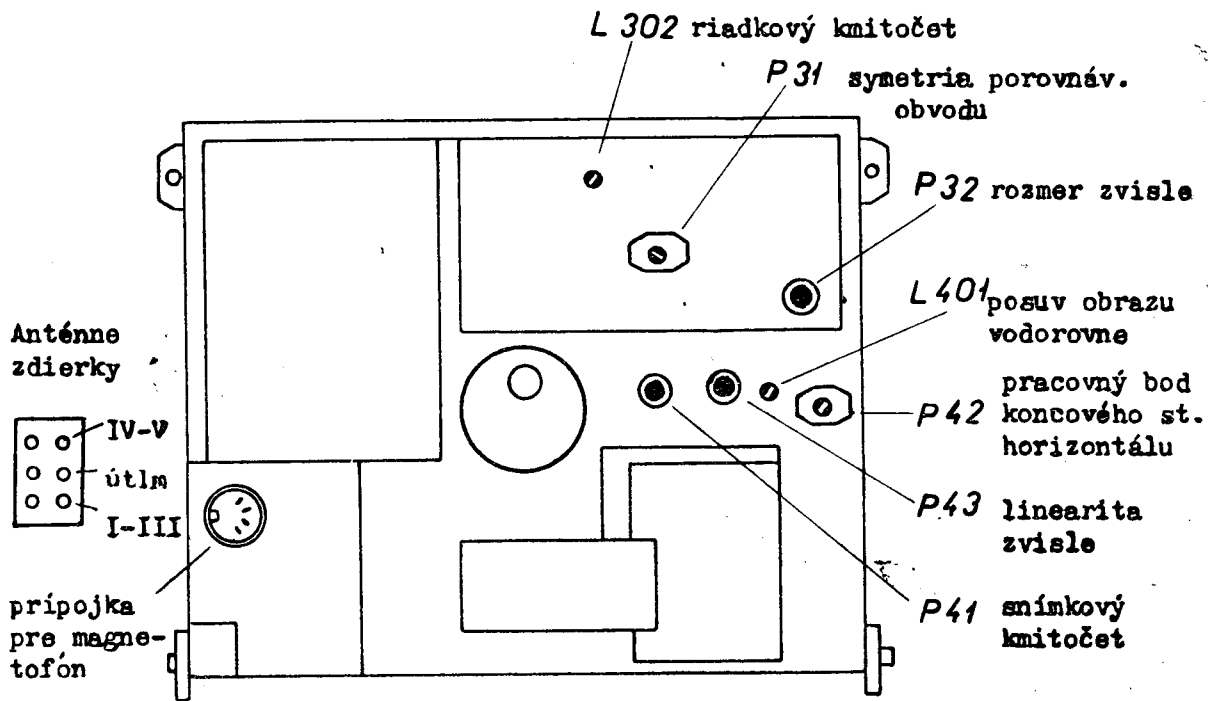
Obr. 2. Televízny prijímač 4119 U „Miriam“. Ovládacie prvky na prednej a bočnej stene skrine.



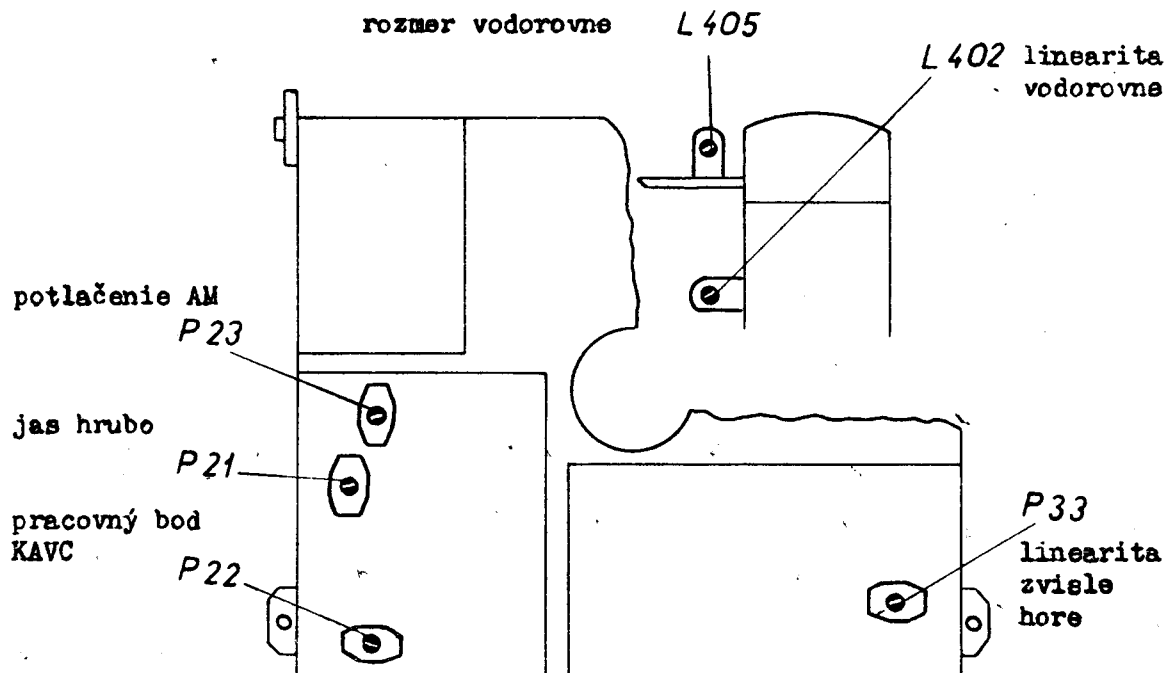
Obr. 3. Televízny prijímač 4121 U „Marcela“. Ovládacie prvky na prednej a bočnej stene skrine.



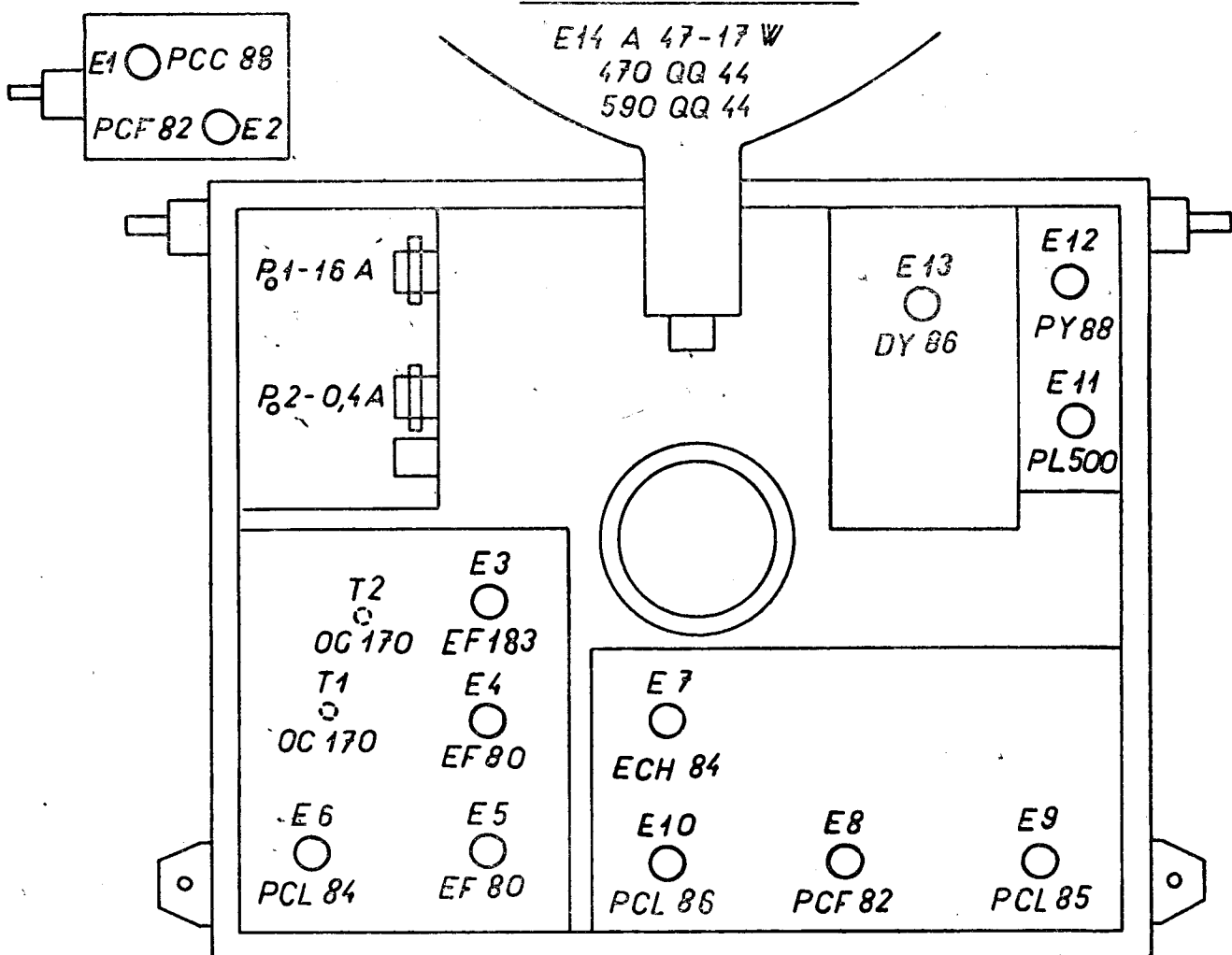
Obr. 4. Televízny príjimač 4218 U „Blankyt“. Ovládacie prvky na prednej stene skrine.



Obr. 5. Ovládacie a nastavovacie prvky prijímača prístupné po odňatí zadnej steny.



Obr. 6. Nastavovacie prvky prijímača prístupné po vyklopení chassis zo skrine.



Obr. 7. Rozloženie elektrónok (vyklopené chassis zo skrine).

3. 0

POPIS ZAPOJENIA

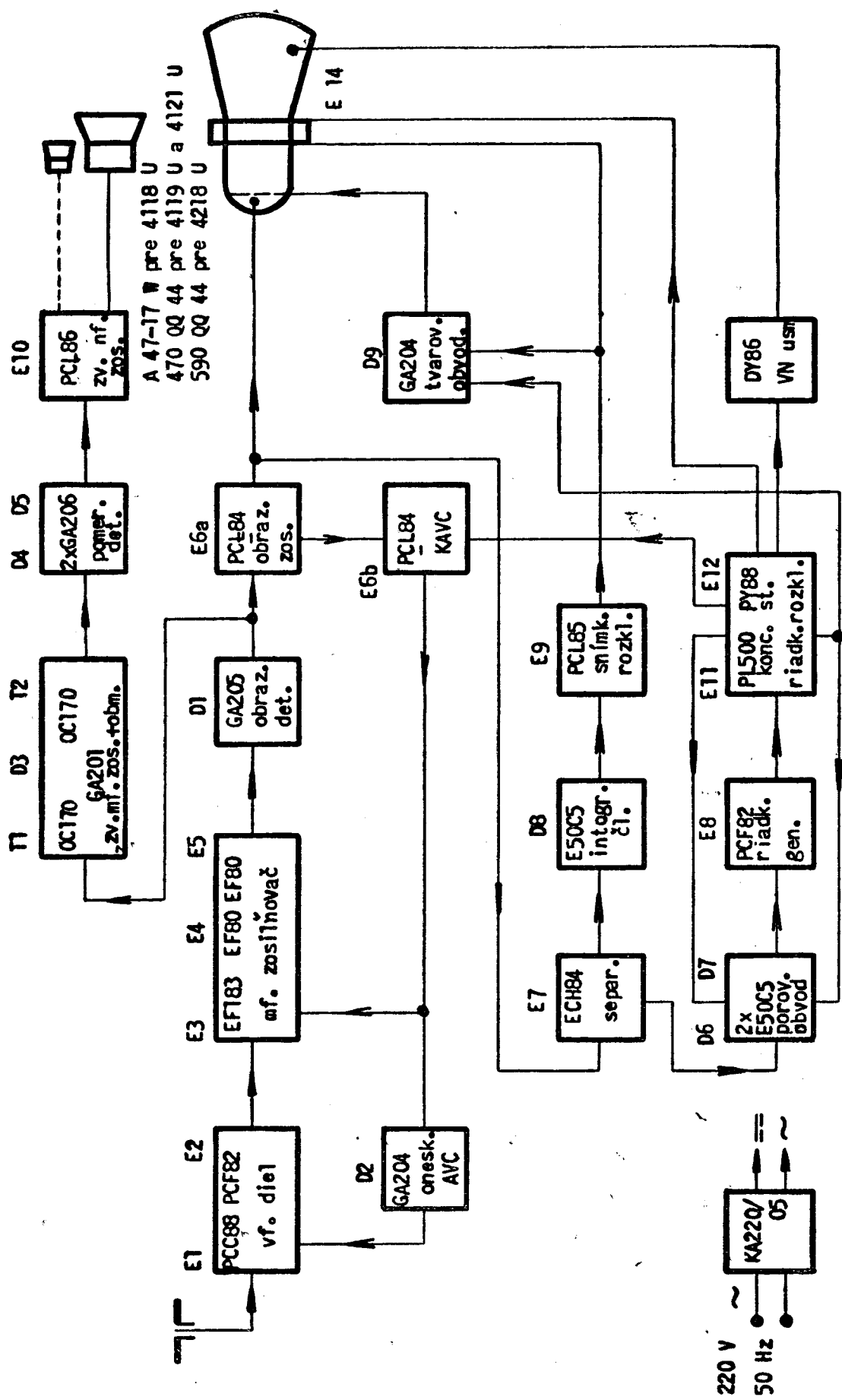
3. 1. KANÁLOVÝ VOLIČ:

Televízne prijímače rady „Oliver“ používajú unifikovaný kanálový volič 4PN 381 04. Tento volič, až na nepatrné zmeny, je zhodný s kanálovým voličom, ktorý bol používaný v televíznych prijímačoch radu Standard. V kanálovom voliči je použitie plošných spojov v maximálnej možnej miere. Touto technológiou sú zhotovené tiež kanálové cievky. Zapojenie je v obvyklom prevedení. Elektrónka PCC 88 pracuje ako kaskódový zosilňovač. Druhý stupeň kanálového voliča je osadený elektrónkou PCF 82; jej pentódový systém pracuje ako aditívny zmiešavač a triódový systém ako oscilátor v Colpittovom zapojení. Podrobnejší popis kanálového voliča je v návodech pre opravu a údržbu hore uvedených prijímačov.

3. 2. MEDZIFREKVENČNÝ ZOSILŇOVAC

Medzifrekvenčný signál, ktorý vzniká v zmiešavacej elektrónke E2 (PCF 82), ako rozdiel kmitočtu osci-

látora a vstupného zosilneného signálu ($f_m = f_m - f_{osc}$) je privádzaný do trojstupňového medzifrekvenčného zosilňovača, ktorý je osadený pentódami 1x EF 183, 2x EF 80. Väzba medzi jednotlivými elektrónkami je prevedená štyrmi pásmovými filtrami – obojstranne ladenými nesymetricky tlmenými transformátormi. Kmitočtové charakteristiky jednotlivých pásmových filtrov sú navrhnuté tak, aby celý obrazový zosilňovač mal žiadany tvar prepúšťacej krivky a bola docielená pokiaľ možno lineárna fázová charakteristika. Prvý pásmový filter OMF 1 je na vstupe obrazového medzifrekvenčného zosilňovača. Skladá sa z dvoch mechanických častí. Časť filtra OMF 1a (cievka L 111) je v kanálovom voliči, časť OMF 1b (cievky L 201, L 202, L 203, L 204) je na medzifrekvenčnej doske. Primár tohto filtra tvorí cievka L 111 a L 202 s kapacitami spojov, väzbového káblu a anódy zmiešavača. Sekundár tvoria cievky L 203, L 204 s kapacitami spojov a riadiacej mriežky elektrónky EF 183. Väzbovú impedanciu filtra tvorí časť primára (cievka L 202) a časť sekundáru (cievka L 203). Tieto sú navinuté bifilárne a so spoločným jadrom tvoria premenlivú väzbu pre optimálne na-



Obr. č. 8. Blokové zapojenie prijímača.

stavenie šírky pásma. Primár je tlmený čiastočne odporom R 116 a čiastočne odporom R 117. Sekundár je tlmený odporom R 201.

Ku cievke L 202 je pripojený sérioparalelný odladovač C 202, C 203 a L 201 nastavený približne na kmitočet 31,7 MHz tak, že v okolí nosného kmitočtu zvuku 31,5 MHz vytvára plošinku širokú asi 0,5 MHz pri zvlnení maximálne 3 dB. Plošinka má vylúčiť strmostnú defekciu zvuku a zaručiť stálu úroveň zvuku pri ladení oscilátora. Prvý medzifrekvenčný stupeň je osadený regulačou elektrónky EF 183. Táto elektrónka má oproti elektrónke EF 80 mnohé výhody. Je to elektrónka s napnutou mriežkou a s dvojnásobnou strmosťou, jej mriežková charakteristika je exponenciálna s veľkým záverným napäťom -18 až 22 V. Exponenciálna charakteristika odstraňuje skreslenie tým, že rovnako zosilňuje obidve poloviny signálu pri polohu pracovného bodu v medziach od -2 do -18 V mriežkového predpäťia. Regulačné predpäťie dostáva z obvodu automatického kľúčovaného riadenia zisku. To-to je odoberané z anódy triódovej časti elektrónky E 6b cez odporový delič tvorený odpormi R 236 a R 237, filtrované je elektrolytickým kondenzátorom C 205, odporom R 202 a kondenzátorom C 204. Základné predpäťie stupňa sa vytvára na katódových odporoch R 203 a R 204. Kondenzátorom C 206 je blokovaný odpor R 204. Odpor R 203 nie je blokovaný. Tým je tvorená záporná spätná väzba, ktorej pôsobením sa vykompenzuje zmena vstupnej kapacity elektrónky, pri zmene regulačného predpäťia z KAVC. (Zmenou vstupnej kapacity by sa rozladaoval mriežkový rezonančný okruh). Kondenzátor C 204 vysokofrekvenčne uzemňuje studený koniec mriežkového rezonančného okruhu. Anóda elektrónky je napájaná cez oddelovací odpor R 207, druhá mriežka cez zrážiaci odpor R 205 a filtračný kondenzátor R 207.

Druhý medzifrekvenčný pásmový filter je tvorený cievkami L 205 (primár) a L 207 (sekundár). Ladiace kapacity t voria medzielektródové kapacity elektrónky a kapacity spojov a vinutia. Vázbovú impedanciu filtra tvorí paralelná kombinácia sériového a sérioparalelného odladovača. Cievka L 206 a kondenzátor C 208 je odladovač nosnej vlny obrazu susedného kanálu (30 MHz). Cievka L 208 a kondenzátory C 211 a C 209 je odladovač nosnej vlny zvuku susedného kanálu 39,5 MHz. Stratové odopy odladovačov sú kompenzané odporom R 208. Cez tento odpor prichádza na sekundár pásmového filtra napätie rovnakej velkosti ako je napätie na niektorom z odladovačov vplyvom jeho stratového odporu pri rezonančnom kmitočte. Obidve napáťia sú v protifáze, takže sa vyrúšia. Teoreticky nedostávame na sekundár pásmového filtra žiadne napätie odladované frekvencie. Pásmový filter je súmerne tlmený v anódovom obvode odporom R 206 a v mriežkovom obvode odporom R 209. Druhý zosilňovací stupeň je osadený elektrónkou EF 80, ktorá má anódu a tieniacu mriežku napájanú cez filtračný odpor R 211, ktorý je blokovaný pre vysokú frekvenciu neutralizačným kondenzátorom C 213. Základné predpäťie sa vytvára na odpore R 210, ktorý je premostený kondenzátorom C 212, aby nevznikala prúdová spätná väzba.

Tretí medzifrekvenčný pásmový filter je tvorený cievkami L 209, L 210 (primár) L 211, L 212 (sekundár). Cievky L 210, L 211 sú vinuté bifilárne, a ich jadrom sa nastavuje stupeň väzby. Tlmenie je len v sekundárnom obvode odporom R 212. Tretí zosilňovací stupeň je tiež osadený elektrónkou EF 80 a jej anóda a tieniacu mriežku sú napájané cez filtračný odpor R 215 a pre vysokú frekvenciu sú uzemnené neutralizačným kondenzátorom C 215. Základné mriežkové predpäťie sa vytvára na katódovom odpore R 213, premostenom kondenzátorom C 214.

Štvrtý pásmový filter obrazovej medzifrekvencie je

tvorený cievkami L 213, L 214 a L 215. Vázbová cievka L 214 je navinutá na studenom konci primárnej cievky L 213 tak, že spoločným jadrom sa zároveň dá nastaviť primárny obvod i potrebný stupeň väzby. Jadrom cievky L 215 sa dostavuje indukčnosť sekundárneho obvodu. Ladiaciu kapacitu sekundárneho obvodu tvorí kondenzátor C 211 a ekvivalentná kapacita videodetektora. Primár je tlmený odporom R 214, sekundár je tlmený ekvivalentným odporom videodetektora. Vázba filtra je nadkritická. Na štvrtý pásmový filter je pripojený obvod obrazového detektora.

3. 3. OBRAZOVÝ DETEKTOR

Amplitúdovo modulovaný medzifrekvenčný signál je demodulovaný v obrazovom detektore. Z dôvodu menšieho tlmenia posledného stupňa OMF zosilňovača a lepšej filtrácie nežiadúcich vln zložiek za detektorm je zapojenie obrazového detektora sériové. Pre demoduláciu je použitá nová germániová dióda GA 25, ktorá má oproti dosiaľ používanej 7NN41 menšie rozmery a tiež väčší rozsah prevádzkových teplôt, pričom elektrické parametre sú prakticky rovnaké. Pracovný odpor R 222 je zapojený na výstup detektora, priamo do mriežky obrazového zosilňovača z dôvodu zmenšenia tvarového skreslenia a zväčšenia stability obrazového zosilňovača. Studený koniec detektora je pripojený priamo na kostru – uzemnený z dôvodu zmenšenia vyžarovania. Vedľa požadovanej nízkofrekvenčnej obrazovej zložky vytvára detektor ako nelineárny prvok rad ďalších kmitočtov, z ktorých je užitočný len zvukový medzifrekvenčný kmitočet, ktorý vzniká zmiešavaním nosnej vlny obrazu a nosnej vlny zvuku. Medzifrekvenčný zvukový signál 6,5 MHz sa dostáva do zvukového traktu hneď za filtračným článkom detektora, čím sa zabráni silnému rušeniu pri väčšom premodulovaní obrazovky následkom uzatvárania anódového prúdu počas synchronizačných impulzov. Ostatné kmitočty, ako zbytky OMF, kombinačné kmitočty a hlavné harmonické nosnej obrazu obrazovej medzifrekvencie 38 MHz, ktoré sú najsilnejšie, sú potlačené (filtrované) na prípustnú hodnotu dolnofrekvenčnej prieplustu, článkom π , ktorá je tvorená detekčnou kapacitou C 222, L 220 a C 223. Aby určitá časť týchto kmitočtov, spadajúca do rozsahu prijímaných kanálov sa nemohla dostať na vstup prijímača, čím že mohol prijímač sám seba rušiť, je umiestnený filtračný π článok spolu s diódou do spoločného tieniaceho krytu s OMF 4. Z dôvodu zamedzenia vyžarovania týchto kmitočtov po prívode z obrazového detektora do mriežky obrazového zosilňovača, je do tohto prívodu zaradená filtračná cievka L 221. Cievky L 220 a L 221 sú zhodné a sú z dôvodu malej parazitnej kapacity medzi vývodmi a aj vlastnej kapacity, vinuté na feritovom jadre. Pokles frekvenčnej kapacity obvodu detektora, je kompenzaný sériovou kompenzáciou pomocou cievky L 222 a je zatlmený na potrebnú hodnotu jednak pracovným odporom R 222 a jednak ďalším tlmiacim odporom R 221.

3. 4. OBRAZOVÝ ZOSILŇOVAČ

Pre plné premodulovanie obrazovky je potrebné, aby obrazový signál mal hodnotu cca 80 V_s. Pretože obrazový signál z detektora má len 2 – 4 V_s, je nutné ho zosilňovať na potrebnú hodnotu. Zosilňovanie sa prevádzka v obrazovom zosilňovači, ktorý je už posledným stupňom, kde sa spracováva obrazový signál. Použitý obrazový zosilňovač je jednostupňový, osadený pentódovou časťou elektrónky PCL 84 (E 6a). Obrazový zosilňovač zosilňuje obrazový signál približne 30 krát. Pretože je priama väzba detektora s obrazovým zosilňovačom a signál z detektora má

zápornú polaritu, vytvára predpäťie elektrónky jednosmerná zložka signálu. V čase, keď je prijímač bez signálu, aby neboli prekročený režim elektrónky, vytvára sa základné predpäťie elektrónky na katódovom odpore priechodom katódového prúdu elektrónky a jej druhá mriežka je napájaná z mäkkého zdroja. Katódový odpor R 224, ktorý je blokovaný kondenzátorom C 224, vytvára čiastočnú katódovú kompenzáciu zosilnenia na vyšších kmitočtoch. Efektívny pracovný odpor obrazového zosilňovača je tvořený paralelnou kombináciou deleného pracovného odporu R 227 a R 228 a pontentiometrom kontrastu P 44, s ktorým je do sérií zapojený obmedzovací odpor R 229. Tento odpor spolu s kondenzátorom C 227 zároveň kompenzuje frekvenčnú charakteristiku obrazového zosilňovača pri minimálnom kontraste. V sérii s celým pracovným odporom je zapojený paralelný rezonančný obvod L 225 a C 225, ktorý potláča kmitočet 6,5 MHz na potrebnú hodnotu, aby nepôsobil rušivo v obraze. Rovnomerné zosilnenie od jednosmernej zložky až do frekvencie 5,5 MHz sa dosahuje dvojnásobnou kompenzáciou. Medzi anódou elektrónky a potenciometrom kontrastu je sérioparalelná kompenzácia, tvorená kompenzačnými cievkami L 226 a L 227. Sériová kompenzácia je zatmená odporom R 226. Paralelná kompenzácia je tlmená pracovným odporom. Medzi potenciometer kontrastu (bežec) a katódu obrazovky je zaradená sériová kompenzácia, ktorú tvorí cievka L 228, tlmená odporom R 232. Tlmiace odpory R 226 a R 232, na ktorých sú navinuté cievky, sú izolované (bakelitované) preto, aby vlastná kapacita cievky bola čo najmenšia a mala čo najmenší rozptyl. Menšie zosilnenie vyšších frekvencii, ktoré majú popísané kompenzácie odstrániť, spôsobujú parazitné kapacity anóda – kostra pri videoelektrónke a katóda – kostra pri obrazovke, ktoré sú zapojené paralelne k pracovnému odporu a jeho skutočnú hodnotu na vyšších kmitočtoch značne znížujú. Katóda obrazovky je pripojená galvanicky cez malý tlmiaci odpor R 233, čím je zaručený úplný prenos jednosmernej zložky.

3. 5. RUČNÁ REGULÁCIA KONTRASTU

Regulácia kontrastu je prevádzcaná v anóde obrazového zosilňovača. Je to tzv. regulácia na vysokej úrovni. Tento spôsob má určité výhody, ktoré spočívajú v tom, že zosilnenie obrazového zosilňovača a predchádzajúcich VF a MF stupňov sa nemení v závislosti od regulácie kontrastu. Synchronizácia nezávisí na nastavení regulátora kontrastu, pretože úroveň signálu, privádzaná na oddeľovač synchronizačných impulzov, je konštantná. Medzinosný zvukový signál na vstupe zvukového medzifrekvečného zosilňovača je stály a jak je kvalita a sila zvuku nezávislá na nastavení regulátora kontrastu. Reguláciou kontrastu sa mení len veľkosť privádzaného signálu na katódu obrazovky, pričom dochádza k nežiaducej zmene frekvenčnej charakteristiky videozosilňovača v oblasti vysokých kmitočtov. Porušenie frekvenčnej charakteristiky nastáva zmenou nastaveného odporu potenciometra kontrastu P 44 a kapacity (parazitnej) obvodu. Pre frekvenčné nezávislú reguláciu modulačného napätia je použitý potenciometer s obočkou, na ktorom je pripojený kondenzátor C 437, medzi bežec a jeden koniec potenciometra je zapojený ďalší kompenzačný člen, zložený z odporu R 431 a kondenzátoru C 438. Je potrebné, aby obidva konce potenciometra mali približne rovnaké jednosmerné napätie, aby sa so zmenou kontrastu, a to tak, že napäťie na anóde a na druhej mriežke videoelektrónky je prakticky rovnaké. V sé-

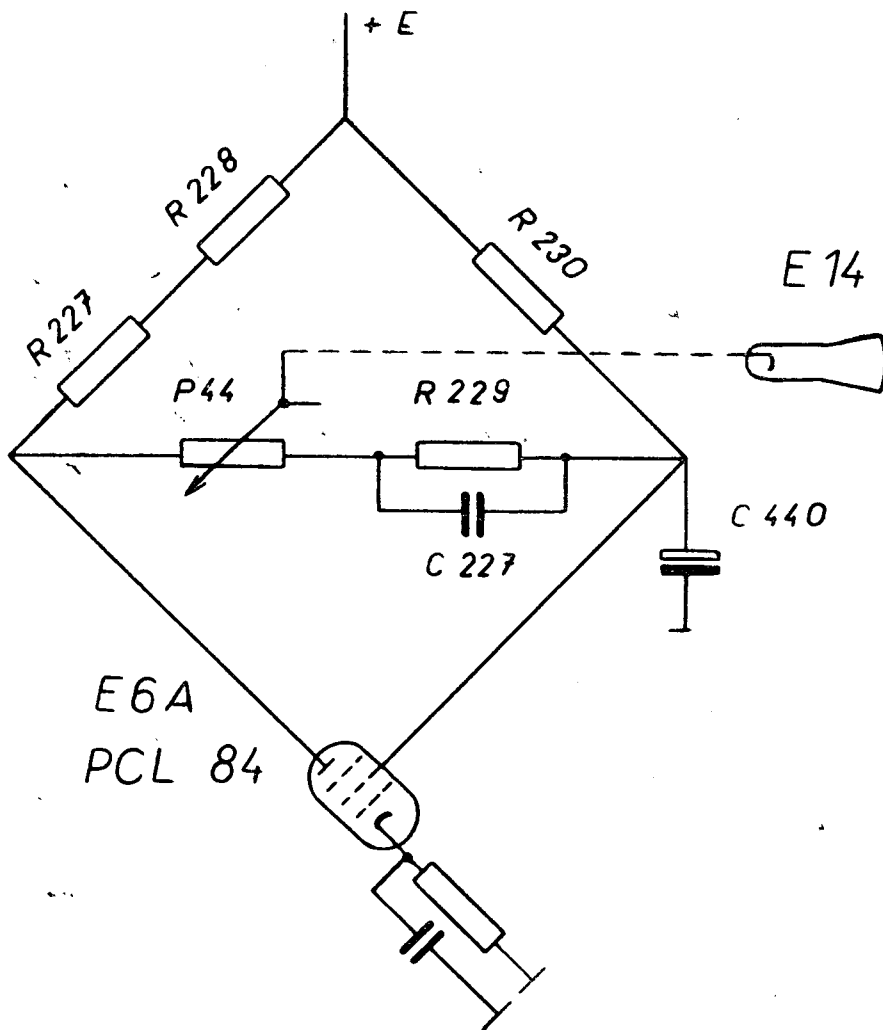
rii s potenciometrom kontrastu je odpor R 229, premostený kondenzátorom C 227, ktorý spôsobuje zmenšenie regulačného rozsahu (kontrast sa nestahuje až na nulu). Menší regulačný rozsah je z hľadiska kompenzácie výhodnejší. Odpor R 230, ktorý je zapojený do druhej mriežky, má veľkú hodnotu a to takú, aby úbytok napäťia na ňom bol približne rovnaký, ako je na delenom anódovom odpore videozosilňovača (R 227 a R 228). Tým je dosiahnuté skoro rovnaké jednosmerné napäťie na obidvoch koncoch potenciometra kontrastu (mostíkové zapojenie). Za odporom R 230 je zapojený elektrolytický kondenzátor C 440, ktorý tvorí skrat pre obrazové kmitočty v miestnom bode mostíka. Aby zmena pracovného bodu obrazového zosilňovača (bez signálu i so signálom) neovplyvňovala jas a prenos jednosmernej zložky, odoberá sa kladné napäťie pre reguláciu jasu z bodu R 230, C 440. Napäťie na tomto bode sa mení podľa veľkosti signálu rovnako ako napäťie na katóde obrazovky, čím sa nastavený jas automaticky udržiava, úroveň čiernej je zachovaná. Toto zapojenie pracuje ako čiastočná jasová automatika, preto tiež nemôže dôjsť ani k nadmernému zvýšeniu jasu pri odpojení signálu, alebo pri prepínaní kanálového voliča.

3. 6. AUTOMATICKÁ REGULÁCIA KONTRASTU A JASU FOTOODPOROM

Automatické nastavenie kontrastu a jasu nastavuje kontrast a jas v závislosti na osvetlení prednej strany televízora. Zapína sa stlačením tlačítka „automatika“, čím sa do obvodu druhej mriežky videozosilňovača zapojí fotoodpor FO, umiestnený na ďalej strane prijímača. Fotoodpor mení svoju hodnotu v závislosti na osvetlení. Pre dosiahnutie požadovaného regulačného rozsahu je k nemu pripojený odpor R 429. Pri úplnej tme je hodnota odporu paralelnej kombinácie prakticky určená odporom R 429, pri osvetlení sa odpor paralelnej kombinácie zmenšuje až asi na 1,5 kilohmu. Fotoodpor je zapojený v druhej mriežke videoelektrónky E 6a (PCL 84). So zmenou jeho odporu sa mení napäťie druhej mriežky elektrónky a tým aj jej zosilnenie, teda i kontrast obrazu. Pretože je úplný prenos jednosmernej zložky, každá zmena režimu a teda i zosilnenia obrazového zosilňovača, spôsobuje zmenu jasu. Fotoodporom sa riadi nielen zosilnenie obrazového zosilňovača, ale tiež cez pôsobenie klúčovacej elektrónky pre AVC sa mení zosilnenie vf stupňa a 1. mf stupňa. Pomer čierna – biela zostáva nezmenený. Keď je napr. vonkajšie osvetlenie veľmi malé, je odpor fotooodporu veľký, napäťie na druhej mriežke klesne, klesne i zosilnenie videoelektrónky – kontrast sa zmenší. Pri poklese napäťia druhej mriežky elektrónky stúpne napäťie na jej anóde. Anóda elektrónky je galvanicky spojená s katódou obrazovky a preto stúpne napätie i na katóde obrazovky. Toto stúpnenie napäťia spôsobí väčší rozdiel napäťia katóda – mriežka obrazovky a tým sa zmenší aj jas obrazu. Aby nevznikla na druhej mriežke záporná spätná väzba, je blokovaná elektrolytickým kondenzátorom C 226.

3. 7. KLÚČOVANÉ AUTOMATICKÉ VYROVNÁVANIE CITLIVOSTI (KAVC)

Pretože je u prijímača použitá ručná regulácia kontrastu na vysokej úrovni, je obvod regulácie kontrastu oddelený od obvodu automatického vyrovnávania citlivosti prijímača. Aby prijímač mohol spoločne pracovať aj pri rôzne veľkom vstupnom signále, je zosilnenie riadené klúčovaným stupňom, ktorý zastáva triódová časť elektrónky PCL 84. Elektrónka pracuje ako usmerňovač s meniteľným vnútorným odporom, ktorý s premennou účinnosťou usmerňuje kladné impulzy s riadkovým opaková-



Obr. 9. Mostíkové zapojenie potenciometra kontrastu P 44.

cím kmitočtom, privádzané cez kondenzátor C 422 z bodu 5 primárneho vinutia VN transformátora. V okamžiku kladného impulzu elektrónka viedie prúd a kondenzátor C 422 sa nabije tak, že jeho polep, spojený s anódou elektrónky PCL 84 (E 6b), je záporný. V dobe medzi impulzmi je napätie na primárnom vinutí skoro nulové a preto sa na anóde objaví záporné napätie, na ktoré sa nabil kondenzátor C 422 v dome impulzu. Optimálny pracovný bod triódy je nastavený kladným napätiom na jej katóde, ktoré sa privádzza cez odporový delič, zložený z potenciometra P 22 a odporu R 231. Katóda je blokovaná kondenzátorom C 228, aby nedochádzalo k zápornej spätej väzbe. So zmenou siefového napäťia sa mení v rovnakom pomere napájacie napätie na riadiacej mriežke a katóde, takže pracovný bod nie je závislý na siefovom kolísaní. Vodivý odpor elektrónky E 6b, ktorá pracuje ako usmerňovač impulzov, závisí od napäťia medzi jej katódou a mriežkou v okamžiku usmerňovaného impulzu. Na riadiacu mriežku triódy E 6b je privádzané obrazové modulačné napätie, odoberané z časti anódového odporu, a to z odporu R 228. Klúčovacia elektrónka sa otvára len vtedy, keď je na mriežku privadený súčasne riadkový synchronizačný impulz a na anódu kladný napäťový impulz z VN transformátora.

Veľkosť otvorenia klúčovacej elektrónky je závislá na napätí medzi jej katódou a mriežkou v okamžiku usmerňovania impulzu. Preto veľkosť vznikajú-

ceho riadiaceho napäťia na jej anóde je úmerná úrovni riadkových synchronizačných impulzov a je nezávislá na obsahu obrazovej modulácie. Riadiace napätie môže byť ovplyvňované poruchami len po dobu trvania riadkových synchronizačných impulzov. Čím silnejší signál prichádza na anténe zdierky prijímača, tým je väčšie napätie obrazového signálu a tiež riadkových synchronizačných impulzov, to spôsobí väčšie otvorenie klúčovacej elektrónky E 6b. Na jej anóde vznikne väčšie záporné napätie, ktoré zníži zosilnenie riadených elektrónok E 1 a E 3. Veľkosť základného jednosmerného napäťia medzi katódou a mriežkou klúčovacej elektrónky a tým aj veľkosť tohto napäťia v okamžiku usmerňovania regulačného predpäťia pre riadenie elektrónok E 1 a E 3 je možné meniť potenciometrom P 22. Tým sa mení úroveň riadiaceho napäťia a tak i citlivosť prijímača. Záporné riadiace napätie, odoberané z anódy E 6b, sa privádzza cez odporový delič R 236 a R 237 a cez filtračné členy C 205, R 202 a C 204 na mriežkové vinutie OMF 1b a na riadiacu mriežku prvej medzifrekvenčnej elektrónky E 3 (EF 183). Veľkosť privádzaného predpäťia je od nuly do -25 V. Ak je prijímač bez signálu, klúčovacia elektrónka sa neotvára, nevzniká riadiace predpätie. V tej dobe sa vytvára predpätie pre riadené elektrónky len na ich katódových odporech.

Riadiace predpätie pre elektrónku E 1 je odoberané tiež z deliča R 236, R 237 cez odpor R 235.

Regulácia E 1 je oneskorená oproti predpätiu pre prvý OMF stupeň. Oneskorenie je prevedené kladným napäťom, ktoré je privádzané zo zdroja +230 V cez odpor R 234 do spoločného bodu germániovej diódy D 2 a odporu R 235. V prípade, keď je záporné napätie privádzané z deliča malé, alebo nulové, aby sa neobjavilo kladné napätie na riadiacej mriežke E 1, je do obvodu zapojená dióda D 2 tak, že pre kladnú polaritu napäťa tvorí prieplustný smer — prakticky skrat na kostru. Pre zápornú polaritu riadiaceho napäťa má smer neprieplustný, preto KAVC touto diódou nebude ovplyvnené. Elektrónka E 1 začne dostávať záporné predpätie až vtedy, keď privádzané záporné napätie z deliča je tak veľké, že prekoná na anóde diódy D 2 vplyv kladného napäťa, privádzaného cez odpor R 234; vtedy prestane diódou tiecť prúd a elektrónka E 1 začne dostávať záporné predpätie. Oneskorením predpätiu pre kanálový volič sa dosiahne to, že pri slabších signáloch pracuje elektrónka E 1 s najväčším zosilnením a tým sa najmenej uplatňuje šum zmiešavača a ďalších stupňov. Pri silných signáloch je nutné zosilnenie elektrónky E 1 znižovať, aby nedošlo k zahľteniu zmiešavača. Predpätie pre kanálový volič je filtrované kondenzátorom C 229.

3. 8. ZVUKOVÝ MEDZIFREKVENČNÝ ZOSILŇOVAC

Použitý je dvojstupňový medzifrekvenčný zosilňovač osadený P-N-P tranzistormi OC 170. Obidva stupne zosilňovača pracujú v zapojení s uzemneným emitorom. V tomto zapojení sa tranzistorový výkon zosilňovača vyznačuje veľkým výkonovým ziskom. Výsledky s ním dosiahnuté sú porovnatelné s dvojstupňovým elektrónkovým zosilňovačom (2x EF 80).

Kedže tranzistor je prvok s vlastnosťami odlišnými od elektrónok, bude účelné zoznať sa s hlavnými dôvodmi, ktoré sťažujú riešenie takéhoto ladeného zosilňovača v porovnaní s elektrónkovým:

- 1) Obvody sú zatažené vstupnou a výstupnou vodičovou tranzistorov takým spôsobom, že účinky, ktoré majú na šírku pásma a výkonový zisk, nie sú zanedbateľné.
- 2.) Treba vziať do úvahy straty v ladených obvodoch, pretože vplyvajú na prúd báza — emitor a na výkonový zisk.
- 3.) V tranzistore existuje vnútorná spätná väzba, ktorá nemôže byť zanedbaná, pretože vplyva na stabilitu zosilňovača, na tlmenie a ladenie obvodov.

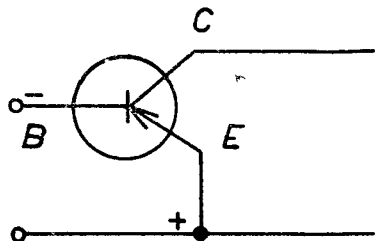
Zvukový medzifrekvenčný zosilňovač je možné vzhľadom k šírke prenášaného pásma považovať za úzkopásmový zosilňovač, používajúci pomerne vysoké Q obvodov. Následkom toho prvoradým problémom tohto zosilňovača bude jeho stabilita. Činiteľ stability stupňa sa musí vybrať tak, aby obsiahol veľké rozptyly parametrov tranzistorov.

Prv, než uvedieme náhradnú schému tranzistora na vysokých kmitočtoch, bude účelné objasniť si niektoré základné poznatky o tranzistore. Tranzistor má 3 elektródy — bázu, emitor a kolektor. Je vytvorený dvomi p — n prechodmi vzhodne usporiadanimi — emitorovým a kolektorovým. Vlastnosti p — n prechodu poznáme už z teórie polovodičových diód. Aby nastal zosilňovací účinok, je treba emitorový prechod polarizovať v prieplustnom smere, zatiaľ čo kolektorový prechod musí byť polarizovaný inverzne. Tranzistory môžu byť p-n-p, alebo n-p-n, podľa druhu základného polovodičového materiálu. Podľa toho treba pri zapojení napájacieho zdroja do obvodu tranzistora správne určiť polaritu napájacieho napäťa, aby nedošlo k zničeniu tranzistora. Pomery sú vyznačené na obr. 10.

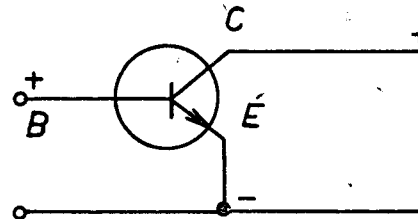
Tranzistor je jednosmerne charakterizovaný hodnotami prúdov, tiež zvyškových a napäti jednotlivých elektród, maximálnou kolektorovou stratou, prúdovým zosilňovacím činiteľom na krátko, ktorý je rôzny podľa zapojenia zosilňovača a teplotnou závislosťou. Zvyškové prúdy tranzistora sa udávajú pre ľubovoľné dve elektródy, keď tretia nie je zapojená. Napr. I_{CBO} značí zvyškový prúd (klúčový) medzi bázou a kolektorem pri odpojenom emitore, pričom medzi kolektorem a bázou je inverzné napätie. Zvyškový prúd tranzistora hovorí v podstate o kvalite prechodu v závernom smere. Čím je menší, tým je prechod kvalitnejší. Je zrejmé, že na tento prúd bude mať podstatný vplyv zmena teploty prechodu. Tieto a ďalšie otázky si však treba objasniť ďalším samostatným štúdiom.

Ďalej uvedieme niektoré vlastnosti zapojenia so spoľočným (uzemneným) emitorom. Toto zapojenie je obdobné elektrónkovému s uzemnenou katódou. To znamená, že emitor je z hľadiska striedavého napäťa spoločný pre vstupný aj výstupný obvod. Výstupné napätie v kolektorovom obvode je fázovo pootočené o 180° voči budiacemu napätiu v obvode báza-emitor. Zapojenie sa vyznačuje veľkým prúdovým a výkonovým zosilnením. Dôležité je uvedomiť si, že budiaci prúd (prúd bázy) býva veľmi malý, rádovo mikroampérov, pre vypolanie prúdu veľkosti niekoľkých miliampérów v obvode kolektora. Zvyšovaním budiaceho prúdu rýchlo dochádza k nasýteniu kolektorového prúdu. Tohto javu asi do kmitočtu 100 kHz je možné využiť na obmedzovanie amplitúdy zosilňovaného napäťa pri súčasnom znižení jednostranného kolektorového napäťa U_C . Na vyšších kmitočtoch je takéto obmedzovanie nevhodné. Nastáva

$P - N - P$



$N - P - N$



Obr. 10. Polarita napájacieho napäťa pre tranzistor typu p-n-p a n-p-n.

zmena vstupnej kapacity tranzistora C_{11} a posun pracovného bodu.

a) Náhradná schéma tranzistora na vysokých kmitočtoch.

Na vysokých kmitočtoch sa k posúdeniu vlastností tranzistora užíva Y parametrov. Sú to admitančné parametre. Pri výpočte mF zosilňovačov s tranzistormi nahradzujeme tranzistor štvorpólem, kde figurujú tieto parametre. Keď máme tranzistor napájaný z generátora pripojený na vonkajší obvod, dostaneme celkové vstupné a výstupné admitancie jednoduchým sčítaním admitancií tranzistora a vonkajších obvodov.

Fyzikálna náhradná schéma je na obr. 11. Ekvivalentný štvorpól, v ktorom vystupujú Y parametre na obr. 12.

Rovnice ekvivalentného štvorpólu:

$$\begin{aligned} i_1 &= y_{11}u_1 + y_{12}u_2 \\ i_2 &= y_{21}u_1 + y_{22}u_2 \\ \text{Kde} \quad y_{ik} &= g_{ik} + j b_{ik} \\ b_{ik} &= \omega c_{ik} \\ y_{11} &- \text{vstupná vodivosť} \\ y_{12} &- \text{spätnoväzbová vodivosť} \\ y_{21} &- \text{prenosová vodivosť (strmosť)} \\ y_{22} &- \text{výstupná vodivosť} \end{aligned}$$

Uvedené Y-parametre charakterizujú tranzistor v danom zapojení. Môžeme ich pre určitý pracovný bod a úzke frekvenčné pásmo považovať za konštanty. Pomocou týchto parametrov je uľahčené sledovanie činnosti samotného tranzistora ako aj jedno, prípadne viacstupňového zosilňovača. Vo fyzikálnej náhradnej schéme je vlastný tranzistor reprezentovaný svorkami e, b', c.

b' - vnútorná báza
b - vonkajšia báza (prívod k báze tranzistora)
e - emitor
c - kolektor

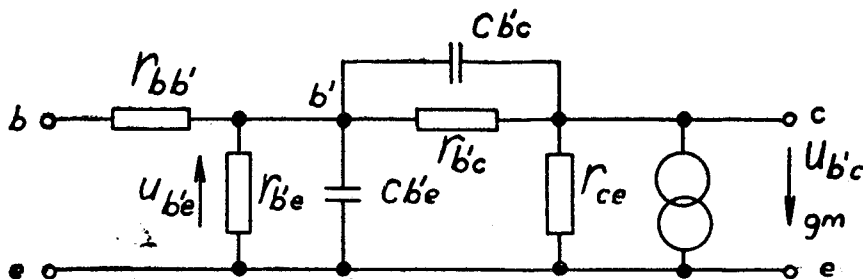
Činnosť tranzistora na vysokých kmitočtoch je vhodnejšie posudzovať pomocou ekvivalentného štvorpólu.

Ďalším dôležitým údajom vf tranzistora je jeho medzný kmitočet (hraničná frekvencia). Slúži k posúdeniu oblasti kmitočtov, v ktorej bude tranzistor schopný zosilňovať. Je to kmitočet, pri ktorom klesne prúdový zosilňovači činiteľ nákrátka α o 3dB v pomere k prúdovému zosilňovaciemu činiteľovi na danom referenčnom kmitočte (1 kHz). Vf tranzistor charakterizuje ďalej šum. Jeho veľkosť závisí na volbe pracovného bodu, prípadne na vnútornom odpore zdroja. V praktických výpočtoch a pre porovnávanie rôznych typov tranzistorov je zavedený činiteľ šumu F. Udáva sa pre určitý kmitočet. Je definovaný ako pomer celkového šumového výkonu na výstupe k šumovému výkonu na vstupnom odpore tranzistora, ktorý je prepočítaný na výstup.

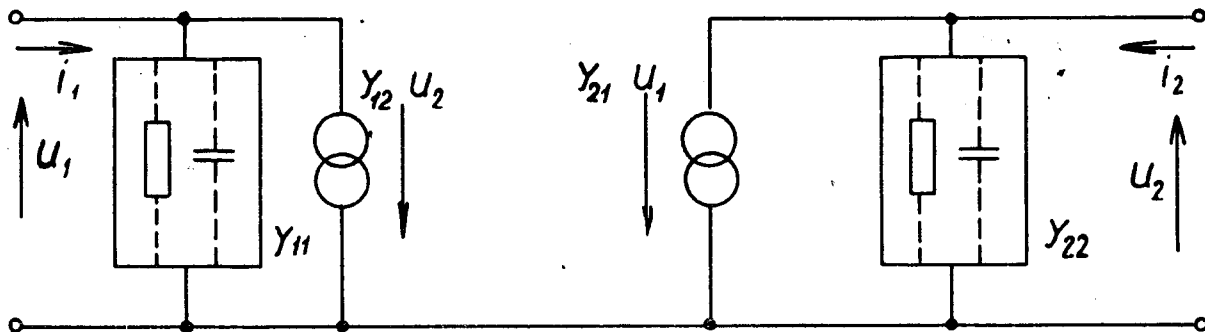
b) Činnosť ZMF.

Na základe popísaných vlastností tranzistora na vysokých kmitočtoch, môžeme si objasniť činnosť Mf tranzistorového zosilňovača.

Prvý stupeň zosilňovača je naviazaný kondenzátorom C 235 malej hodnoty 4j7 na obrazový detektor. Malý kondenzátor je nutný, aby naviazanie neovplyvňovalo činnosť detektora. Taktô dosťáva detektor charakter prúdového zdroja. Ladený obvod, ktorý nasleduje za väzbovým kondenzátorom, je jednoduchý rezonančný obvod s impedančným prevodom p_1 na nízku vstupnú impedanciu tranzistora, parameter y_{11} . Tým sa docieli správny prenos vf energie z ladeného obvodu na vstup tranzistora. Taktiež vzhľadom k tl-



Obr. 11. Fyzikálna náhradná schéma tranzistora na vysokých kmitočtoch



Obr. 12. Ekvivalentný štvorpól tranzistora na vysokých kmitočtoch s parametrami Y

meniu kmitavého obvodu vstupným odporom tranzistora, prevrátená hodnota g_{11e} , treba správne nahrnúť prevod p_t , aby dochádzalo k minimálnym stratám energie v ladenom obvode a zmene šírky prenášaného pásma. Budiac napätie z vinutia L 231 (ZMF 1) sa privádza cez väzbový kondenzátor C 237 na bázu tranzistora T₁. Tento má v kolektorovom obvode zapojený obvod ZMF 2. Je to opäť jednoduchý rezonančný obvod, ktorý tvorí vhodný prispôsobovací a prenosový člen vf energie z prvého zosilňovacieho stupňa na druhý. Vysoká ladiaca kapacita C 240 v tomto ladenom obvode prakticky eliminuje rozlaďovanie obvodu pri výmene tranzistora. Vf stabilita tohto stupňa je zabezpečená neutralizáciou. Neutralizačné napätie potrebnej polarity sa odoberá z vinutia L 233 a viedie cez kondenzátor C 238 na bázu tranzistora T₁. Z tohto istého vinutia je cez kondenzátor C 241 privádzané budiacie napätie do bázy tranzistora T₂. Pôsobenie spätnoväzbovej kapacity je u tohto stupňa potlačené zvýšením vonkajších vodivostí vstupnej i výstupnej. V kolektorovom obvode druhého stupňa je zapojený pásmový filter, ktorého sekundár budí symetrický pomerový detektor, osadený diódovým párom 2 GA 206. Vyrovnanie prúdov diód v prieplustnom smere a tým i zlepšenie potlačenia amplitúdovej modulácie sa prevádzka odporom R 251 a potenciometrom P 23. Činnosť pomerového detektora je dostačne známa už z predchádzajúcich zapojení. U tohto príjímača odber detekovaného nf napäťa je prevedený zo zasažovacieho odporu PD R 252 a cez zásuvku S 5 a kondenzátor C 249 sa privádza na deempahásis obvod tónovej clony a horný koniec potenciometra hlasitosti P 46. Prevedenie a činnosť tónovej clony je rovnaká ako u TVP Štandard. Nf časť je osadená elektrónkou PCL 86 a zapojenie je opäť obdobné príjímaču Standard.

Vzhľadom k veľkým rozptylom Y parametrov tranzistorov a parametru β je prevedené triedenie tranzistorov podľa prúdového zosilňovacieho činiteľa β v zapojení UE s uzemneným emitorom a osadenie zosilňovača sa prevádzka ich vhodnými kombináciami. Tým sa tiež zaručí požadovaná vf stabilita dvojstupňového zosilňovača. Tranzistory sú rozdelené podľa β na dve skupiny:

- I. skupina – tranzistory s β 20 – 70
- II. skupina – tranzistory s β 71 – 300

Osadzovanie dosky na pozícii T₁ a T₂ je v prípade použitia tranzistorov II. skupiny neobmedzené. V prípade výskytu tranzistorov I. skupiny treba použiť na osadenie dosky jeden tranzistor II. skupiny a jeden tranzistor I. skupiny. Pritom je v podstate jedno, na ktorú poziciu (T₁, či T₂) sa použije tranzistor s menším β .

c) Obmedzovanie AM.

Pomerový detektor je schopný potlačiť sám parazitnú amplitúdovú moduláciu viac, ako o -26 dB (pri 30 % AM, 30 % FM). To však pre kvalitné príjímače nepostačuje. Aby sa zvýšilo potlačenie AM, má príjímač k tomuto účelu zavedené ešte obmedzenie diódu D 3, ktorá je pripojená do kolektoričkového obvodu – ZMF 2. Dióda má základnú inverznú polarizáciu asi 0,8 V, delič R 244, R 245, čím pri nízkych signáloch nedochádza k tlmeniu obvodu. Až úroveň striedavého napäťa na kolektoričkovom obvode presiahne hodnotu polarizačného napäťa, uplatňuje sa usmerňovač účinok diódy. Dióda potom svojim nízkym odporom v prieplustnom smere zatlmuje ladený obvod a znižuje jeho kvalitu a dynamický odpor. Tým sa amplitúda napäťa na tomto ladenom obvode udržuje prakticky stála i pri veľkom stúpaní signálu.

d) Teplotná stabilita pracovného bodu.

Pretože zmenou teploty tranzistora dochádza k zmeni emitorového prúdu, je vytvorená stabilizácia pracovného bodu u obidvoch tranzistorov deličom v báze a veľkým odporom v emitorovom prívode. Touto úpravou sa dosiahne vysokého účinku stabilizačných veľiev. Stabilizačná vetva tranzistora T₁ je vytvorená odporom R 240, R 241 a R 243, u tranzistora T₂ odporom R 246, R 247 a R 248. Odpor sú zapojené na zdroj 180 V a upravujú toto napätie na hodnotu 8 – 10 V, potrebnú pre tranzistory. Aby nedošlo k prípadnému preťaženiu resp. zničeniu tranzistora, je nutné pri pájaní tranzistorov vypnúť príjímač zo siete.

e) Mangetofónová prípojka.

Príjímač je vybavený prípojkou na magnetofón, ktorá dovoluje nahrávky zvukového dobrovodu. Napätie pre magnetofónovú prípojku sa privádza z výstupu pomocového detektora kondenzátorom C 436 na primár prevodového transformátora TR 5 so zosilňovacím prevodom 4 : 1. Jeho úroveň je ďalej upravená prvákmi R 428 a C 435 (deempahásis). Odpor R 430 upravuje vstupné napätie magnetofónu podľa druhu pripojeného magnetofónu. Napätie je privedené medzi vývody 1 a 2 magnetofónovej zásuvky.

3. 9. NÍZKOFREKVENČNÝ ZOSILŇOVAC.

Nízko frekvenčný signál je privádzaný z obvodu pomocového detektora cez väzbový kondenzátor C 249 na obvod tónovej clony. Pre zoslabenie vysokých kmitočtov, ktoré sú podľa normy vo vysielači zdôraznené, je zaradený RC člen, ktorý je tvorený členmi R 254 a C 250. Potenciometer tónovej clony P 47 umožňuje súčasné ovládanie výšok i hlboiek. Keď je jeho bežec na konci, na ktorý je pripojený kondenzátor C 251, je tento bežec uzemnený. Pre väzbu nízko frekvenčného signálu na potenciometer hlasitosti sa uplatňujú prevažne RC členy: R 254, C 250, R 255 a C 251, na ktorých sú výšky potlačené. Keď je bežec potenciometra tónovej clony na konci, na ktorý je pripojený odpor R 253, je tento cez bežec uzemnený. Pre cestu nízko frekvenčného signálu sa uplatňujú členy: R 253, R 254, C 250 a R 255, a dochádza k potlačeniu hlboiek. V strednej polohe potenciometra tónovej clony je priebeh frekvenčnej charakteristiky približne rovný v rozmedzí 70 Hz až 13 kHz. Po úprave frekvenčnej charakteristiky je nízko frekvenčný signál privedený cez regulátor hlasitosti P 46 a cez oddielovací kondenzátor C 346 na nízko frekvenčný predzosilňovač, ktorý tvorí trióda elektrónky E 10 (PCL 86). Predpätie triódy sa vytvára nábehovým prúdom riadiacej mriežky na veľkom mriežkovom odpore R 356. Do katódy triódy je zavedená spätná väzba zo sekundárneho vinutia výstupného transformátora cez odpor R 362. Ďalšia spätná väzba je zavedená z anódy koncovej elektrónky E 10b cez malý kondenzátor C 348 tiež do katódy triódy, ktorá znižuje zosilnenie vysokých kmitočtov a obmedzuje šum príjímača. Anódové napätie pre triódu je odoberané z napájacej vetvy B cez odpor R 358. Nízko frekvenčný koncový zosilňovač je osadený pentódou elektrónky E 10 (PCL 86). Predpätie koncovej elektrónky vzniká úbytkom napäťa na katódovom odpore R 361 blokovanom kondenzátorom C 349. Zosilnený nízko frekvenčný signál z predzosilňovača sa zavádzá cez väzbový kondenzátor C 347 a odpor R 360 na riadiaci mriežku pentódy PCL 86. Odpor R 360 má zamedziť prípadnému rozkmitaniu koncového stupňa. Odpor R 359 je mriežkový zvod. Koncový stupeň dostáva anódové napätie z vlastnej napájacej vetvy F. Výškový reproduktor je pripojený cez väzbový kondenzátor C 439 medzi sekundárne vinutie výstupného transformátora a katódu koncovej elektrónky, aby tento

elektrolytický kondenzátor mal na elektródach vždy jednosmerné napätie správnej polarity.

Nízkofrekvenčná časť je umiestnená na rozkladovej doske, okrem obvodu tónovej clony a transformátora pre magnetofónovú prípojku, ktoré sú umiestnené na ovládacom panelku. Zem medzifrekvenčnej zvukovej časti je spojená s nízkofrekvenčnou časťou na ovládacom panele a odtiaľ s nízkofrekvenčnou časťou na rozkladovej doske tienením na vodičoch, nie je priamo spojená so zemou rozkladových obvodov, aby snímkové vychylovacie obvody nespôsobovali bručanie vo zvuku.

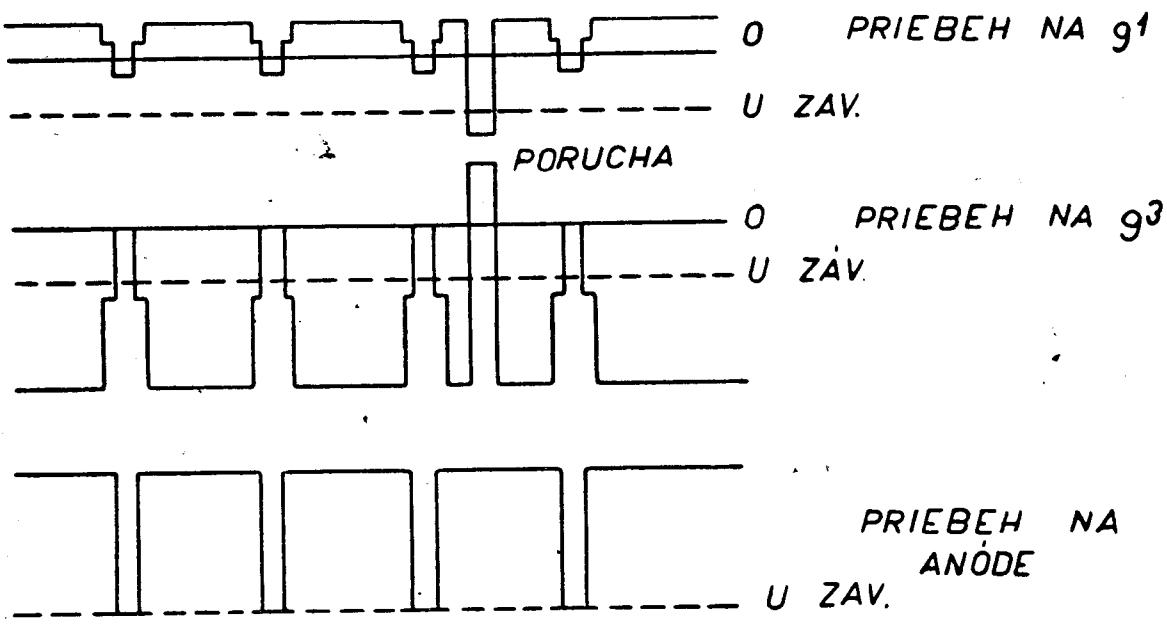
3. 10. ODDELOVAČ SYNCHRONIZAČNÝCH IMPULZOV.

Dvojstupňový oddeľovač synchronizačných impulzov je osadený elektrónkou E 7 (ECH 84). Oddelenie a obmedzenie synchronizačných impulzov sa prevádzza pôsobením obidvoch systémov tejto elektrónky. Heptódový systém elektrónky má krátke lineárne charakteristiky obidvoch riadiacich mriežok (g₁ a g₃). To umožňuje zaviesť do tohto systému klúčovanie porúch, ktoré zvyšuje protiporuchovú odolnosť synchronizačných obvodov.

Funkcia oddeľovača je rovnaká, ako napr. u prijímaca Štandard. Oddelenie synchronizačných impulzov nastáva v heptóbovej časti elektrónky. V obvode prvej mriežky dochádza ku vykúčovaniu porúch. Vhodná charakteristika pre oddelenie synchronizačných impulzov sa dosahuje nízkym anódovým a mriežkovým (g₂ + g₄) napäťom. Anódový obvod je napájaný z deliča zloženého z odporov R 304, R 307 a vstupného odporu trióbovej časti elektrónky E 7b. Tiečniaca mriežka je napájaná z deliča R 305, R 306, kde kondenzátor C 304 zaistuje filtračiu. Pre správnu funkciu oddeľovača je nutné, aby kolísanie obmedzovacej úrovne pri rôznom obsahu obrazu, behom trvania snímkových synchronizačných a zatemňovacích impulzov bolo čo najmenšie. Toto dosahujeme vhodnou vobou časových konštant obvodov vo vstupnej časti obmedzovača. Zavádzaním konštantného predpätia pre tretiu mriežku z obvodu tvarovania impul-

zov pre zhášanie spätných behov sa zamedzí prenikaniu rušivých signálov do synchronizačných obvodov, spôsobujúcich odchyly voľného kmitočtu riadkového generátora, keď je prijímať bez signálu. Predpätie sa odoberá z deliča R 422, R 423 cez odpor R 301. Automatické predpätie tretej mriežky vzniká prietokom mriežkového prúdu, ktorý nabija kondenzátor C 301. Televízny signál má synchronizačné impulzy kladné, takže mriežkový prúd preteká len v okamžikoch vrcholov synchronizačných impulzov, tým dochádza k vytvoreniu takého predpätiu v uzle R 301, C 301, že je len behom trvania synchronizačných impulzov elektrónka otvorená a tým dochádza k oddeleniu synchronizačnej zmesi od obrazovej modulácie. Aby pri náhlom zvýšení amplitúdy signálu, napr. pri dlhšie trvajúcom rušivom impulze nedochádzalo k uzavretiu seprátrátora a tak vymiznutiu synchronizačných impulzov, čo by nastalo preto, že časová konštantá C 301, R 301 je veľká a vybíjanie C 301 je pomalé, je do prívodu k tretej mriežke zaradený protiporuchový člen C 302, R 302. Pri poruche vznikne na kondenzátor C 302 veľké predpätie, odpovedajúce amplitúde poruchy, pretože však časová konštantá C 302, R 302 je malá, vybieje sa tento v dobe pomerne krátkej, takže k vymiznutiu nasledujúcich impulzov nedôjde.

Funkcia klúčovania porúch je nasledujúca: K prvej mriežke E 7a sa privádzajú cez veľký odpor R 303 kladné napätie, takže teče mriežkový prúd. Ďalej je na prvú mriežku zavedená cez R 220 a C 303 signálová zmes z obvodu obrazového detektora s obrátenou polaritou, ako sa privádzá na tretiu mriežku. Pracovné podmienky obvodu sú nastavené tak, že synchronizačné impulzy sa prakticky v obvode prvej mriežky neuplatnia, pretože ich amplitúda sa vydeli v pomere odporov R 220 a vstupného odporu g₁ – k. Keď sa objaví rušivý impulz, ktorý prevyšuje úroveň synchronizačnej zmesi, tak dôjde k zablokovaniu elektrónky. Vodivá dráha g₁ – k sa preruší, takže rušivý impulz sa objaví na g₁ v plnej amplitúde. Pretože sa prvou mriežkou uzavráva celkový prúd tečúci elektrónkou, poruchový impulz sa neobjaví jednak ani na anóde heptódy a taktiež nemôže spôsobiť zahľatie jej tretej mriežky. Na obr. 13 sú vyznačené priebehy signálov na obidvoch riadiacich mriežkach a na anóde heptódy.



Obr. 13. Priebehy signálov na obidvoch riadiacich mriežkach a na anóde heptódy

Druhý obmedzovací stupeň je viazaný s anódovým obvodom prvého stupňa RC členom R 307, C 305. Pretože úroveň oddelených synchronizačných impulzov na anóde heptódy presahuje záverné napätie triodového systému, dochádza na trióde k ďalšiemu obmedzovaniu impulzov. Po dobu trvania riadku je trióda úplne otvorená, tečie mriežkový prúd a napätie na riadiacej mriežke je približne nulové. Trióda obojstranne obmedzuje synchropulzy (mriežkovým prúdom a záverným napäťím), zosiluje ich asi 4x a obracia ich fázu (viď. obr. 14).

Priamo z anódy elektrónky E 7b sa odoberá oddeľená synchronizačná zmes, z ktorej ďalej pomocou integračného článku sa získavajú snímkové synchronizačné impulzy. Cievka L 401 spolu so sériovou kombináciou odporov R 308 a vnútorného odporu Ri elektrónky E 7b, tvorí RL derivačný obvod pre riakové synchronizačné impulzy a vytvára sa na ňom priebeh napäťia podľa obr. 16c. Súčasne odstraňuje nepriaznivý vplyv dlhších polsnímkových synchronizačných impulzov na riakovú synchronizáciu.

Derivované riakové synchronizačné impulzy sa privádzajú cez kondenzátor C 308 do bodu 2 porovnávacieho obvodu (viď. obr. 15). Odpor R 309 územňuje elektrický stred obvodu a súčasne uzatvára mriežkový obvod reaktančnej elektrónky E 8a.

3. 11. OBVOD PLNEAUTOMATICKEJ SYNCHRONIZÁCIE RIADKOVÉHO KMITOČTU,

Plneautomatická riaková synchronizácia umožňujúca vypustenie ovládacieho gombíka je zaistená použitím tzv. frekvenčno-fázového obvodu. Tento obvod umožňuje dosiahnuť najmä značne široký aktívny synchronizačný rozsah pri veľmi dobrej odolnosti voči poruchám.

V ďalšom bude podrobne popísaná činnosť tohto obvodu.

a) Činnosť porovnávacieho obvodu ako fázového detektora.

Je prakticky rovnaká ako u známych zapojení symetrických fázových detektorov. V zasynchronizovanom stave, keď frekvencia riakového generátora f_g je zhodná s frekvenciou synchronizačných impulzov f_s , na diódach D7 a D6 sú napäťia znázornené na obr. 16d, e. V dobe trvania napäťových špičiek (šrafované plochy) sú diódy otvorené a ich prúdy i_1 , i_2

rovnaké, nabíjajú kondenzátory C 307, C 308 na napäťia rovnakých hodnôt, avšak rozdielnej polarity voči zemi.

V dobe medzi napäťovými špičkami sú diódy uzavrete a kondenzátory sa vybíjajú prúdom i_1 cez sériovú kombináciu odporov R 312 — R 315 — P 31 — R 311 — R 314. Pretože vybíjacia časová konštantá obvodu je pomerne veľká, dôjde do doby ďalšieho otvorenia diód len k pomerne malemu poklesu napäťia na kondenzátoroch, v bodoch 1 a 3 sa udržiavajú stredné hodnoty napäťia U'_{b1} , U'_{b2} . Pretože spravidla platí, že: $R 311 = R 312$, $R 314 = R 315$, potom na odbočke potenciometra P 31 v strednej polohe, bude hodnota reg. napäťia U_r rovná nule.

V prípade, že dôjde z libovoľného dôvodu (zmena teploty, napäťia) k zmene vlastného volného kmitočtu synchronizačných impulzov f_s , v zasynchronizovanom stave na diódach D7, D6 sa vytvorí napätie, napr. podľa obrázku 16f, h.

V dôsledku toho kondenzátor C 308 sa nabíja zvyšeným prúdom i_2 na väčšiu hodnotu napäťia, než v predošom prípade.

Naproti tomu v naznačenom prípade prúd $i_1 = 0$, teda napätie na C 307 sa nezvyšuje. Za krátku dobu sa napäťové pomery na diódach ustália, ako je naznačené na obr. 16g, i. Pretože v ustálenom stave pri uvažovanom fázovom posuve porovnaných napäť plati:

$|U'_{b2}| > |U'_{b1}|$ na odbočke potenciometra P 31 v strednej polohe sa vytvorí chybové napätie velkosti:

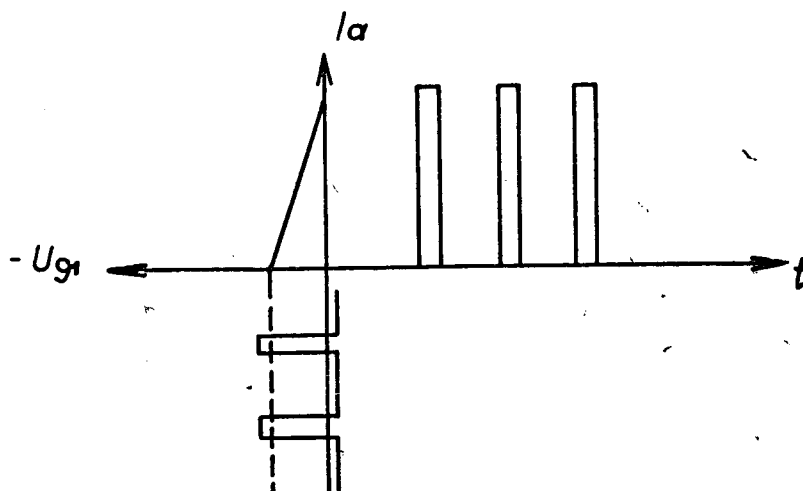
$$U_r = \frac{U'_{b2} + U'_{b1}}{2} \text{ voči zemi.}$$

U'_{b1} — napätie v bode 1

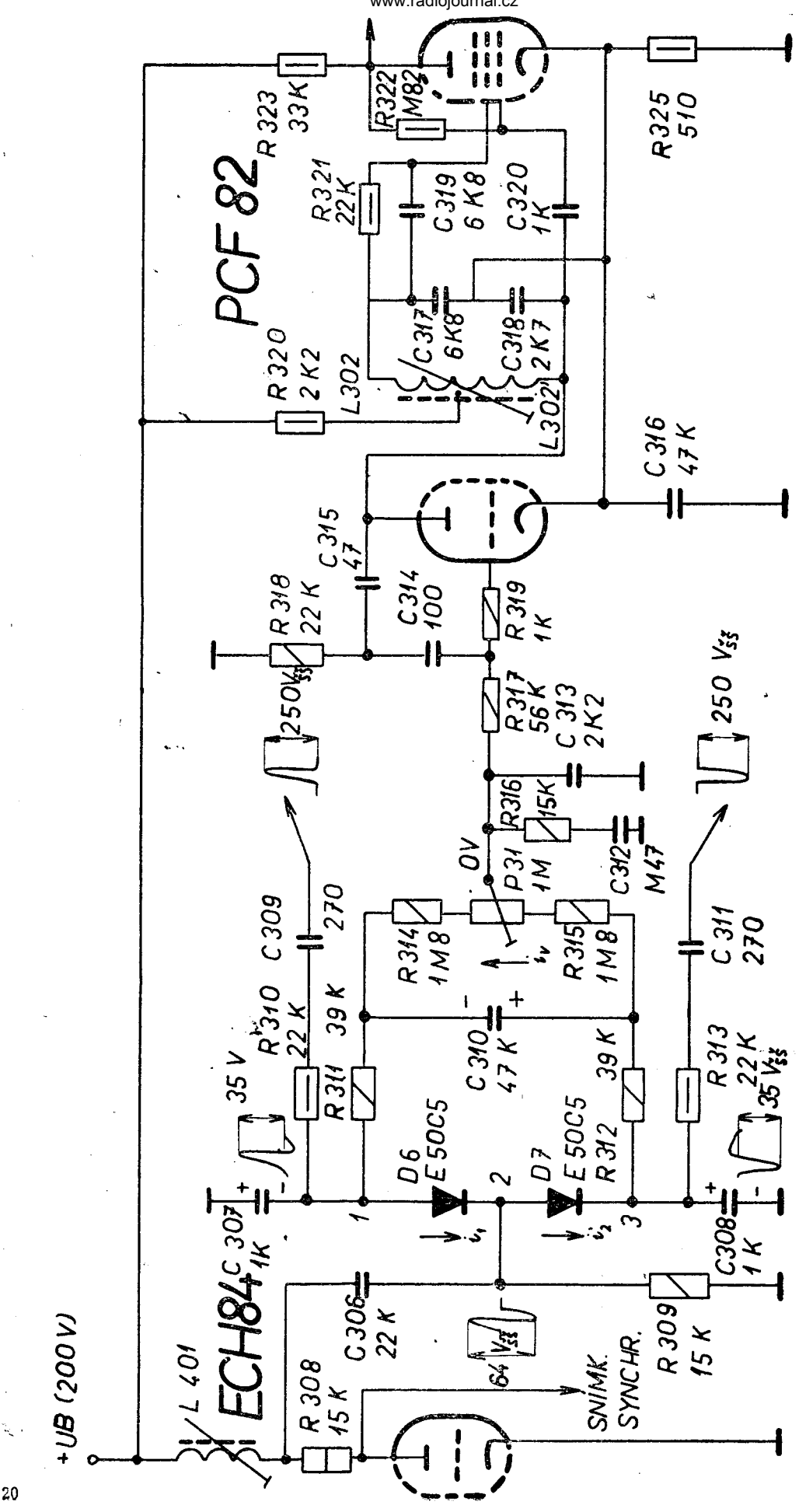
U'_{b2} — napätie v bode 3

Pri zmene f_s v opačnom zmysle voči f_g je činnosť obvodu obdobná, chybové napätie U_r má však opačnú polaritu. Možno teda zhrnúť, že v zasynchronizovanom stave v oblasti pasívneho synchronizačného rozsahu pri pomalej zmene f_s (alebo f_g) vzniká vzájomný fázový posun porovnávaných napäťi, v dôsledku toho sa vytvára chybové napätie U_r , ktorého polarita je daná zmyslom odchýlky a hodnota jej veľkosťou.

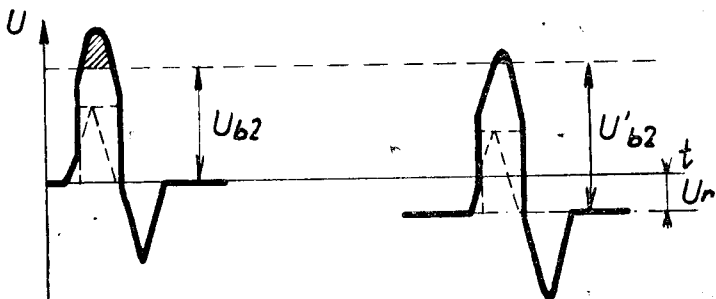
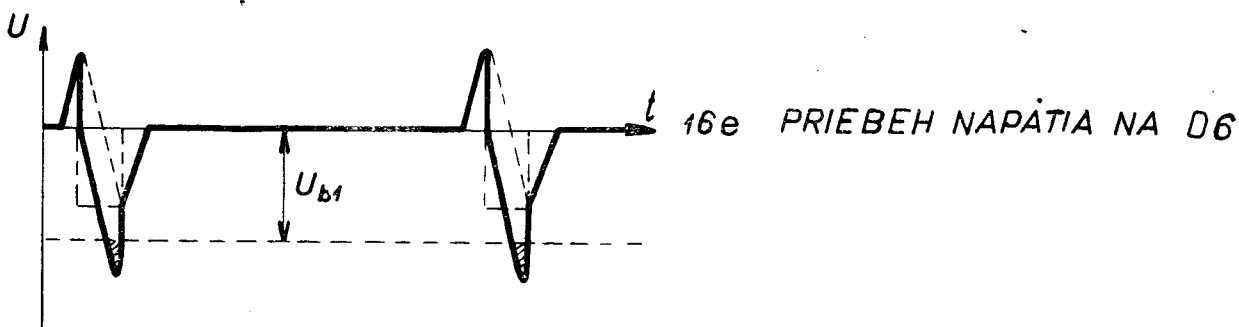
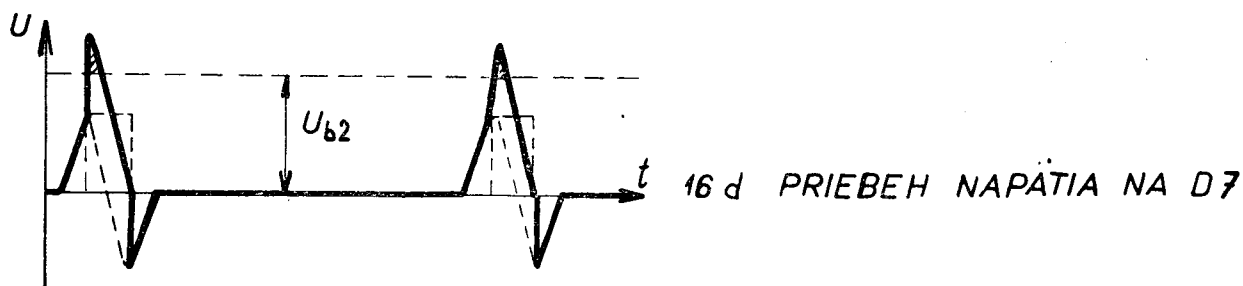
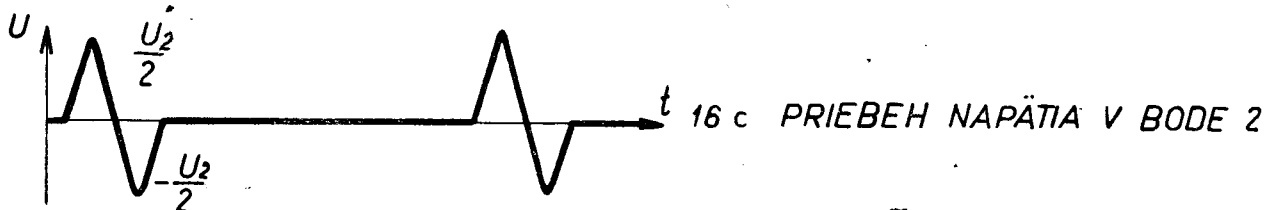
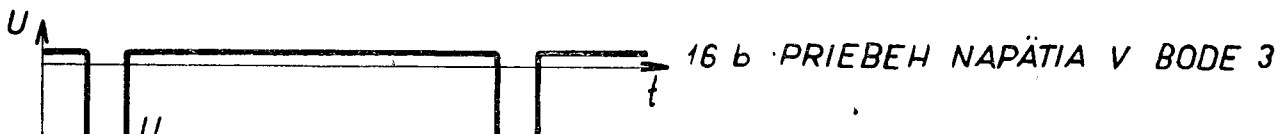
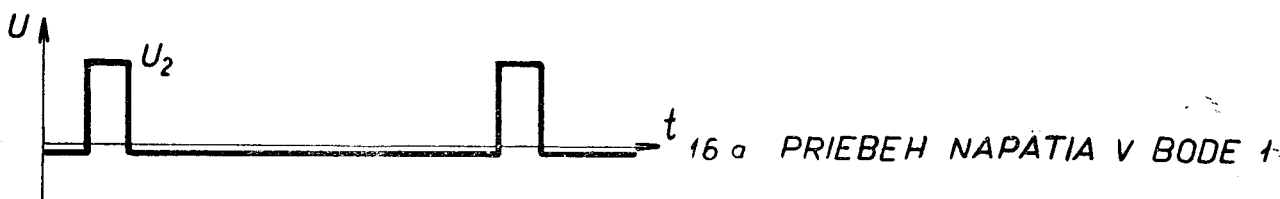
Toto napätie filtrované korekčným článkom sa privádzá do riadiaceho obvodu budiaceho generátora a vykompenzuje danú odchýlku f_s (alebo f_g). Je nutné si uvedomiť, že teda v prípade „odchýlky“ f_s , v skutočnosti k nej nedôjde a v prípade odchýlky f_g súčasne sa mení aj f_s tak, aby v celom pasívnom synchronizačnom rozsahu bola splnená podmienka: $f = f_s$.



Obr. 14. Obmedzovanie synchropulzov triódou elektrónky E 7b.



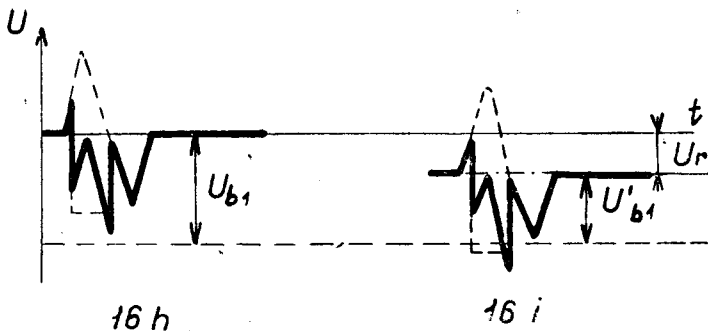
Obr. 15. Zapojenie generátora riadkového rozkladu s plneautomatickou synchronizáciou.



16 f

PRIEBEH NAPÁTIA NA D₇
PRI FAZOVOM POSUNE
PRED (f) A PO (g) DOSIA-
HNUTÍ USTÁLENÉHO
STAVU

16 g



Obr. č. 16. Idealizované priebehy v jednotlivých bodoch zapojenia pri fázovom porovnávaní

b) Činnosť porovnávacieho obvodu ako frekvenčného detektora.

V nezasynchronizovanom stave, keď kmitočty porovnávaných signálov sú rozdielne, na výstupe porovnávacieho obvodu sa vytvorí signál rozdielovej frekvencie Δf .

$$\text{Ked } \Delta f_1 \neq \Delta f_2 + \Delta f = f_1 - f_2 \quad \text{pre } f_1 > f_2 \\ - \Delta f = f_2 - f_1 \quad \text{pre } f_1 < f_2$$

Uvažujeme najprv, že kondenzátor C 310 je odpojený ($C_{310} = 0$).

Dalej predpokladajme, že dĺžka períody rozdielového signálu $\tau \Delta$ je zrovnatelná alebo väčšia, než vybíjacia časová konštantá obvodu. τv .

$$\tau \Delta \geq \tau v$$

Pri rozdielnych frekvenciach f_1, f_2 sa porovnávané signály plynule vzájomne fázovo posúvajú rýchlosťou $\Delta \omega = 2\pi \Delta f$.

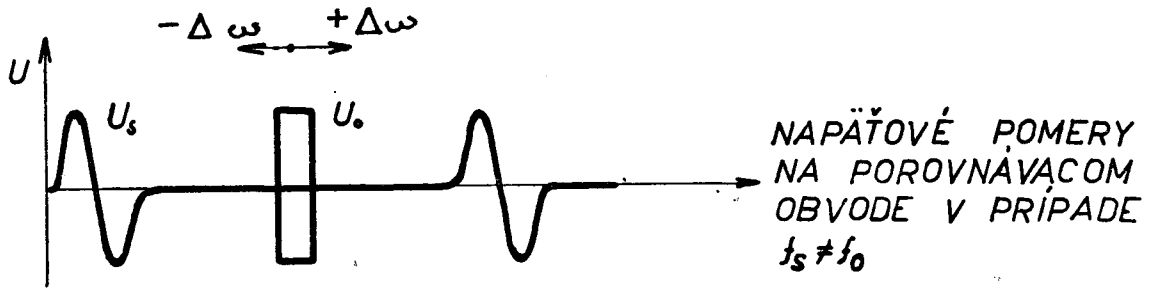
Smer fázového posuvu v závislosti na zmysle frekvenčnej odchýlky je zrejmý z obr. 17. V časových intervaloch, v ktorých dochádza ku koincidencii obidvoch signálov, diódy D6, D7 sa postupne otvárajú a na výstupe porovnávacieho obvodu sa vytvárajú napäťia ako sú znázornené na obr. 18a, 18b. Tvar obidvoch napäťia je odlišný, z čoho vyplýva, že obvod je schopný rozlíšiť zmysel frekvenčnej odchýlky.

Dalej uvažujeme obvod so zapojeným kondenzátorom C 310 a že neplatí podmienka $\tau \Delta \geq \tau v$. Je zrejmé, že daný kondenzátor podstatne zvýši vybíjaci časovú konštantu obvodu τv . To znamená, že v dobe zatvorenia diód D6, D7 vybíjanie kondenzátorov C 307, C 308 bude prebiehať podstatne pomalšie. Obvod daný kombináciou C 310 paralelný k odpornom R 314 — P 31 — R 315 tvorí teda akoby „zdroj predpäťia“ diód D6, D7, ktoré sa potom môžu otvárať len v dobach koincidencie porovnávaných napäť U₁, U₂. V dôsledku zváčšenia vybíjacej časovej konštanty a takto vzniknutého „predpäťia“ diód dochádza k zmene tvaru výstupného napäťia U_r. Ked sledujeme napäťové pomery, zobrazené na obr. 17, 19a a 19b uvidíme, že v časovom intervale Δt_1 je úplná koincidencia porovnávaných napäť U₁ a U₂, obidve diódy sú otvorené a na výstupe sú priebehy napäťí obdobné ako v prípade C 310 = 0, obr. 18a a 18b. Na prechode z Δt_1 do Δt_2 je v prípade odchýlky $+\Delta f$ otvorená dióda D6, na výstupe je záporná polarita napäťia U_r, v prípade odchýlky $-\Delta f$ je otvorená dióda D7 a na výstupe je kladná polarita napäťia U_r. V ďalšom priebehu intervalu Δt_2 sú však napäťia U₁ a U₂ mimo koincidencie, diódy D6 a D7 sú uzavreté „predpäťím“, ale v dôsledku veľkej vybíjacej časovej konštanty napäťie na výstupe len nepatrne klesá voči úrovni na začiatku intervalu. V priebehu intervalu Δt_3 sa v prípade odchýlky $+\Delta f$ postupne otvára dióda D7 a v prípade $-\Delta f$ dióda D6. Dalej sa proces opakuje. Z obrázku 19a a 19b vidíme, že výstupné striedavé napätie obsahuje jednosmernú zložku U₀, ktorej po-

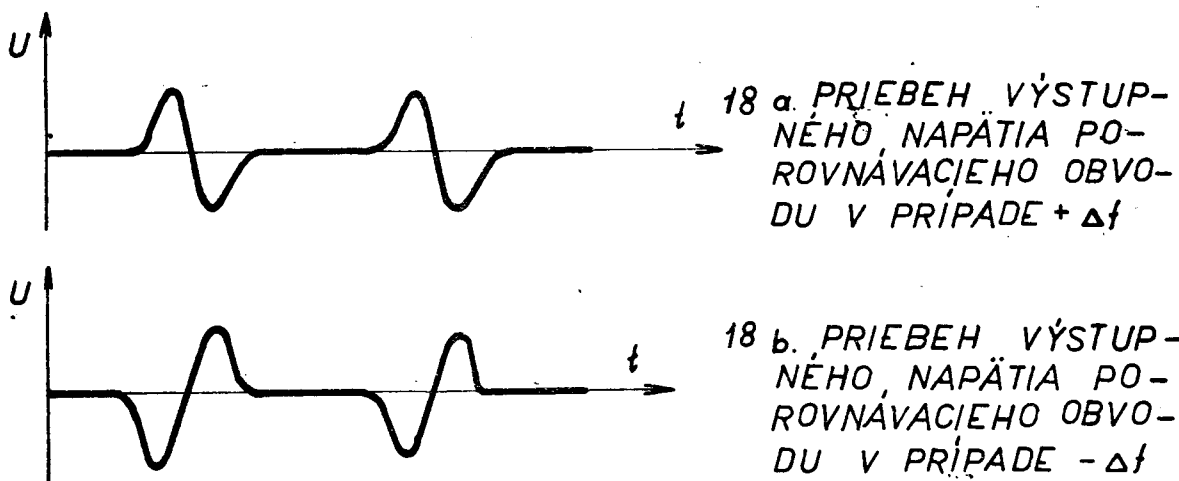
PRIEBEH NAPÄTIA NA D6 PRI FÁZOVOM POSUNE PRED (h) A PO (i) DOSIAHNUTÍ USTÁLENÉHO STAVU

larita závisí na zmysle frekvenčnej odchýlky Δf . Striedavá zložka tohto napäťia je potlačená korekčným článkom a jednosmerná zložka vyvoláva takú zmenu kmitočtu budiaceho generátora f_g , v dôsledku ktorej sa kmitočtový rozdiel zmenuje.

Pre úplnosť je vhodné pripomenúť, že priebeh výstupného napäťia je daný vlastne polovičnou hodnotou súčtu priebehov napäti na kondenzátoroch C 307 a C 308. Veľkosť napäťia U_r závisí na hodnote odchýlky Δf . Ked je táto veľká, potom je doba koincidencie porovnávaných napäť Δt_1 krátka, kondenzátor C 307, resp. C 308 sa stačí nabit len na malú hodnotu napäťia; preto so zváčšením hodnoty Δf veľkosť U_r klesá. Naopak, pri veľmi malých hodnotách Δf , doba medzi navzájom nasledujúcimi koincidenciami Δt_2 je príliš veľká v porovnaní s vybíjacou časovou konštantou obvodu, takže kondenzátor C 307, resp. C 308 sa stačí viac vybíjať a úroveň jednosmernej zložky regulačného napäťia U_r klesá. V prípade nulovej frekvenčnej odchýlky Δf je aj výstupné napätie U_r nulové. Pri určitých hodnotach Δf je U_r maximálne. So zmenšovaním odchýlky Δf sa zmenšuje súčasne filtračný účinok korekčného článku a aj striedavá zložka výstupného napäťia dostáva sa do riadiaceho obvodu budiaceho generátora. S ohľadom na priebeh útlmovej charakteristiky korekčného článku (dolnofrekvenčná prieplust) dá sa predpokladať, že amplitúda striedavého napäťia bude vzrastať s klesajúcou frekvenčnou odchýlkou Δf . Od určitej úrovne tohto napäťia odporadujúcej patričnej frekvenčnej odchýlke dôjde k okamžitému zasynchronizovaniu najnižšia úroveň výstupného striedavého napäťia, pri ktorej dôjde k zasynchronizovaniu, závisí tak tiež na regulačných vlastnostiach budiaceho generátora. Z toho vyplýva, že pri malých odchýlkach Δf obvod dosiahne synchronizmu rovnakým spôsobom, ako u doteraz bežných obvodov, tzv. fázových detektorov. Súčet maximálnych frekvenčných odchýliek na obidve strany, pri ktorých dôjde k okamžitému zasynchronizovaniu, udáva aktívny synchronizačný rozsah fázovej synchronizácie. Je teda možné zhŕnúť, že daný obvod v nezasynchronizovanom stave v prípade veľkých odchýliek Δf , vyrába jednosmerné regulačné napätie, účinkom ktorého sa postupne mení kmitočet budiaceho generátora tak, aby sa odchýlka Δf zmenšovala. Ked dosiahneme veľkosť odchýlky určitých hodnôt, dôjde k okamžitému zasynchronizovaniu. Jedná sa teda o kombináciu frekvenčného a fázového porovnávacieho obvodu. Prostredníctvom frekvenčného porovnania sa dosahuje veľký aktívny synchronizačný rozsah, pritom však veľké časové konštanty korekčného článku zaistujú malú šumovú šírkou pásma a teda značnú odolnosť voči impulzným a šumovým poruchám. To sú hlavné prednosti daného obvodu pred doteraz používanými obvodmi s fázovými detektormi. Diódy D6 a D7 tvoria podstatnú časť porovnávacieho obvodu. Pre maximálny zisk obvodu je potrebné zaistiť, aby nabíjacia časová konštantá τv bola čo najmenšia a naproti tomu vybíjacia konštantá τv čo najväčšia. Celkový odpor nabíjacieho obvodu R_v je daný súč-

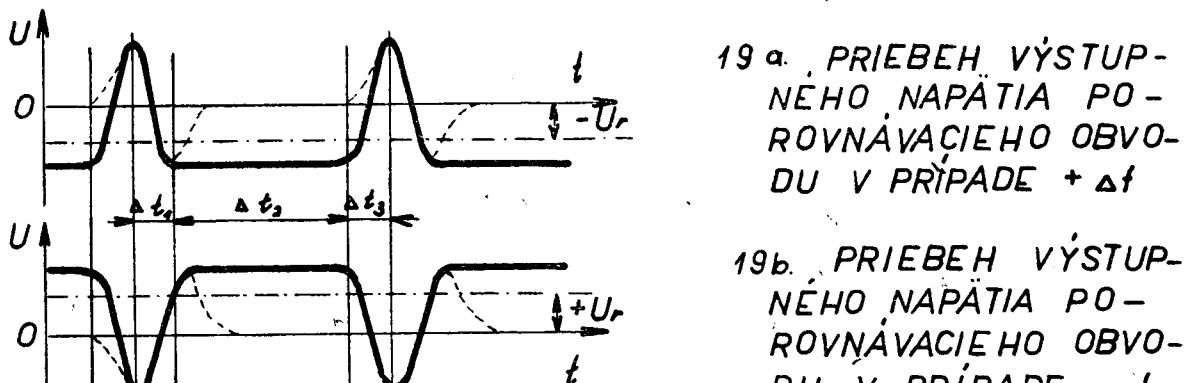


obr. 17



obr. 18

VÝSTUPNÉ NAPÄTIE FFD PRE $C_3 = 0, \tau_\Delta \geq \tau_V$



obr. 19

VÝSTUPNÉ NAPÄTIE FFD (TVAROVANÉ)

tom výstupného odporu R_v zdroja impulzu (E 7b) a odporu diód v prieplustnom smere R_p . Preto je žiaduce, aby odpor diód v prieplustnom smere bol malý a v závernom smere R_p bol čo najväčší. Bežné germaniové diódy sa pre tento účel nehodia. V danom prípade sú použité miniatúrne sélenové usmerňovače E 50 C 5. Odpor R 310, R 313 spolu s väzbovými kapacitami C 309, C 311 upravujú amplitúdu a tvar napäťových impulzov v bodech 1 a 3 (vid obr. 15). Potenciometer P 31 slúži k vykompenzovaniu nesymetrie hodnôt súčiastok obidvoch vetví porovnávacieho obvodu, resp. pre nastavenie pracovného bodu regulačného obvodu budiaceho generátora. Pozdĺžny odpor korekčného článku je tvorený v podstate sérioparalelnou kombináciou odporov R 314, R 315 a obidvoch častí potenciometra P 31. Kapacity korekčného článku predstavujú kondenzátory C 312 a C 313.

3. 12. BUDIACI GENERÁTOR RIADKOVÉHO ROZKLADU

V danom TVP ako budiaci generátor riadkového rozkladu je použitý sínusoskilátor, ktorý sa vyznačuje najmä značnou stabilitou vlastného kmitočtu. Automatické nastavovanie kmitočtu sa prevádzka zmenou predpätia reaktančnej elektrónky, zapojenej ako premena kladná kapacita paralelne pripojená k ladiacemu obvodu sínusoskilátora.

Sínusoskilátor v zapojení budiaceho generátora riadkového rozkladu je potrebné uvažovať ako súbor dvoch funkčne odlišných obvodov.

- Vlastný sínusoskilátor s reaktančnou elektrónkou, vytvárajúci sínusový priebeh napäťia, ktorý má možnosť automatického doladovania kmitočtu.
- Tvarovaci obvod riadený sínusovým napäťom, ktorý vytvára potrebný priebeh budiaceho napäťia pre koncový stupeň riadkového rozkladu.

a) Sínusoskilátor

Ako sínusoskilátor pracuje trióda, tvorená druhou mriežkou, riadiacou mriežkou a katódou pentódy PCF 82 (E 8b). Je to oscilátor v trojbodovom zapojení. Riadiaca mriežka a tieniacia mriežka, ktorú tu pracuje ako anóda oscilačnej triódy, sú zapojené na opačné konce oscilačnej cievky L 302, L 302', katóda je zapojená na stred kapacitného deliča tvoreného konden-

zátormi C 317, C 318. Stred kapacitného deliča je uzemnený kondenzátorom C 316. Paralelne ku kapacite C 318, ktorá je pevnou ladiacou kapacitou, je pripojená premenná ekvivalentná kapacita reaktančnej elektrónky C. Kondenzátor C 320 tvorí väzbovú kapacitu v mriežkovom obvode a spolu s mriežkovým zvodom R 322 určuje v podstatnej miere šírku zápornej časti výstupného impulzu. Mriežkový zvod R 322 je zapojený na kladné napätie, aby sa podporilo rozkmitávanie sínusoskilátora po zapnutí prijímača. Mriežkovým prúdom pri kladných polvlnach sínusového napäťia sa vytvára na odpore R 322 záporné predpatie, ktoré udržuje pracovný bod oscilátora.

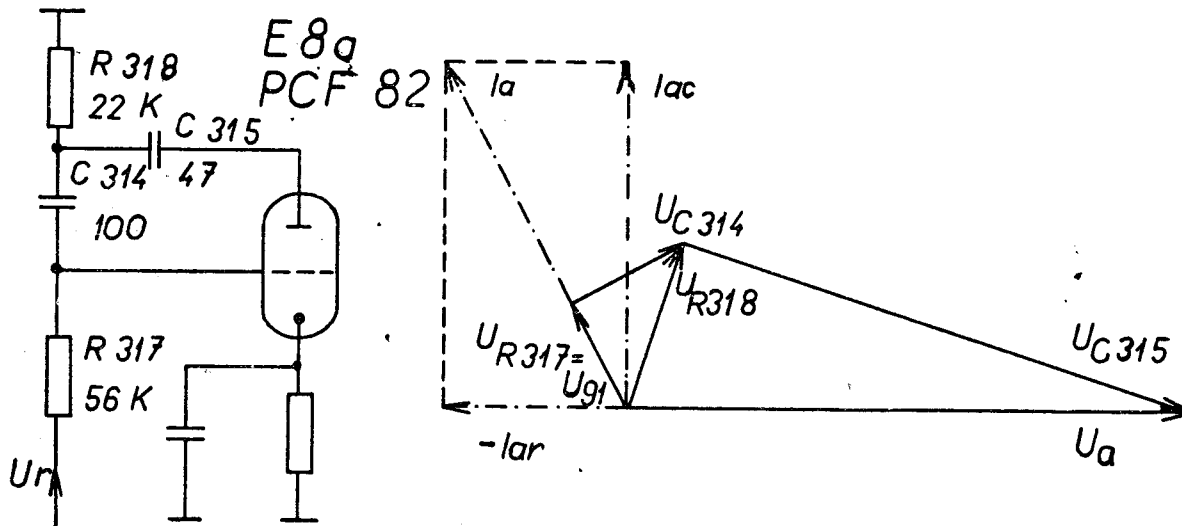
Odpor R 321 upravuje veľkosť jednosmerného napäťia pre g2 („anóda“ oscilátora). Kondenzátor C 319 predstavuje skrat pre pracovný kmitočet. Odpor R 320 upravuje veľkosť jednosmerného napäťia pre anódu reaktančnej elektrónky (trióda PCF 82) a pre druhú mriežku, oscilačnej pentódy. Aby tento odpor netmial ladený obvod oscilátora, je pripojený do stredu oscilačnej cievky, kde je striedavé napätie malé proti zemi. Na odpore R 325 prietokom katódového prúdu pentódy a triódy vzniká automatické predpatie, ktoré je filtrované kondenzátorom C 316.

Kapacitného charakteru reaktančnej elektrónky sa dosiahne fázovým natočením napäťia na mriežke elektrónky pred napäťom na anóde pomocou RC člena, približne o 90° . Pretože anódový prúd elektrónky je vo fáze s napäťom na mriežke, javí sa elektrónka ako kapacita, ktorej veľkosť je priamo úmerná strmosti S. V použitom zapojení je napätie na riadiacej mriežke, posunuté voči napätiu na anóde o viac, ako 90° , pomocou dvojnásobného RC člena C 315, R 318, C 314, R 317. Skutočné fázové pomery sú znázormené na vektorovom diagrame na obr. 20.

Ako je z uvedeného obrázku vidieť, dané zapojenie sa javí ako kombinácia kladnej kapacity a záporného reálneho odporu (reprezentovaného zložkou $-I_{ar}$ anódového prúdu I_a). Tento záporný odpor čistočne kompenzuje stratový odpor sínusoskilátora a tým podporuje jeho kmitanie. Zmenou predpätia reaktančnej elektrónky mení sa jej strmost S a tým aj hodnota ekvivalentnej kladnej kapacity C_e a sériového záporného odporu R_e. Odpor R 109 zabráňuje parazitnému zakmitávaniu reaktančnej elektrónky.

b) Tvarovaci obvod

Tvarovaci obvod predstavuje pentódová časť elektrónky E 8b (PCF 82). Jeho úlohou je upraviť sínusové

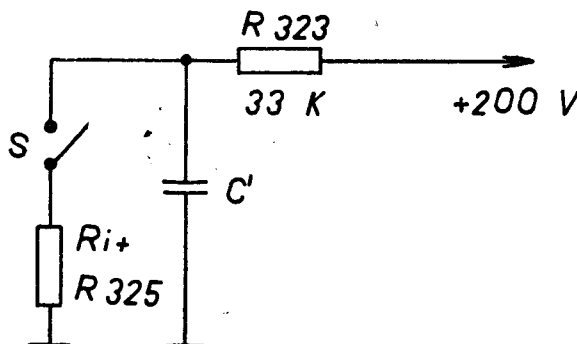


Obr. 20. Zapojenie reaktančnej elektrónky a príslušný vektorový diagram.

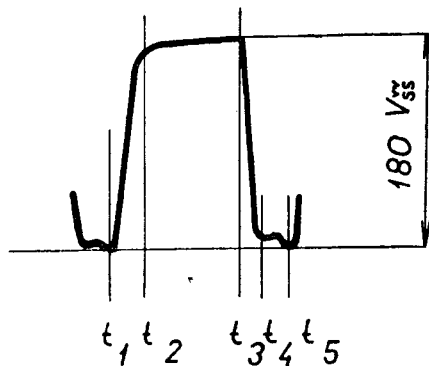
napätie na tvar potrebný pre budenie koncového stupňa riadkového rozkladu. Počas činného behu paprsku obrazovky je pentódová časť elektrónky E 8b zablokovaná záporným napäťom na g_1 (spínač S je otvorený) kondenzátorom C' tvorený kapacitou C_{ak} pentódy PCF 82, kapacitou C_{ak} PL 500 a kapacitou spojov sa nabíja v dobe od t_1 do t_2 zo zdroja cez odpor R 323 (vid obr. 21 a 22).

Počas doby od t_2 do t_3 je napätie na C' rovné napätiu zdroja (kladná časť impulzu). V čase t_3 nastáva otvára-

nie pentódovej časti elektrónky (zopnutie spínača S) v rchom kladnej časti sinusového napäťa na g_1 a kondenzátor C' sa rýchle vybíja po dobu od t_3 do t_4 cez R₁ pentódy a R 325. Elektrónka zostáva dalej otvorená po dobu od t_4 do t_5 , teče anódový prúd na odpor R 323 vzniká úbytok napäťa, ktorý vytvára zápornú časť budiaceho impulzu, súčasne teče mriežkový prúd, ktorým sa nabíja C 320. Vybijaním C 320 cez odpor R 322, R 323 a napájač, vzniká jednosmerne záporné mriežkové napätie, ktoré udržiava pentódovú časť elektrónky v uzavretom stave po dobu činného behu. Sériový RC člen R 324, C 321 upravuje tvar výstupného impulzu pre najvhodnejší režim koncového stupňa. Jemná regulácia kmitočtu sinus-oscilátora sa prevádzka jednosmerným napäťom, privádzaným do mriežkového obvodu reaktančnej elektrónky z porovnávacieho obvodu. Hrubé nastavenie kmitočtu sa prevádzka jadrom cievky L 302, L 302'.



Obr. 21. Náhradné schéma tvarovacieho obvodu.



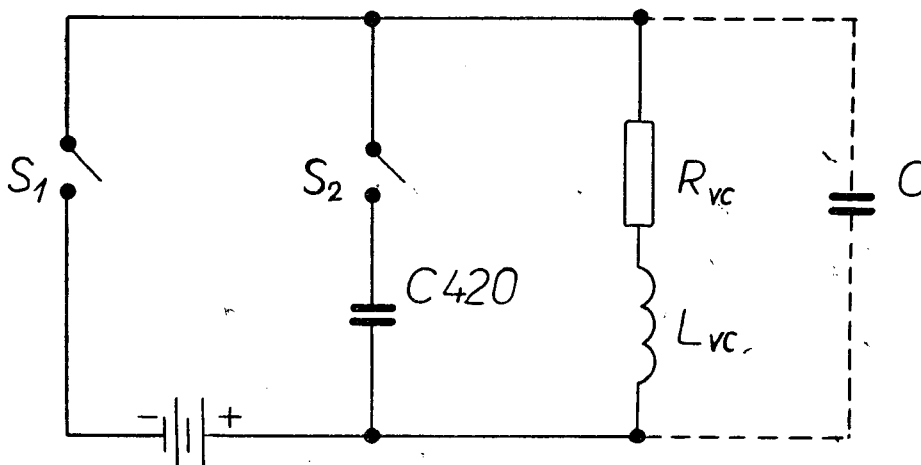
Obr. 22. Priebeh budiaceho napäťa

3. 13. KONCOVÝ STUPEŇ RIADKOVÉHO ROZKLA- DU

Koncový stupeň riadkového rozkladu je zapojený štandardným spôsobom. Náhradné schéma koncového stupňa je na obrázku 23.

Cinnosť koncového stupňa je nasledovná: Elektrónka E 11 (PL 500) pracuje ako spínač S 1, je otváraná kladnou časťou budiaceho impulzu, v tej dobe teče jednosmerný prúd v obvode — zdroj, E 12 (PY 88), vinutie 6 — 7 VN transformátora, E 11 (PL 500). V dôsledku magnetickej väzby jednotlivých vinutí VN trafa preteká prúd tiež vychylovacimi cievkami. Poznámka: V ďalšom teste používame miesto správnejšieho názvu výstupný transformátor riadkového rozkladu len VN transformátor.

Vzhľadom k značnej indukčnosti VN trafa a vychylovacích cievok, stúpa prúd po zapnutí vo vychylovacích cievkach lineárne a elektrónový lúč je vychylovaný od stredu tienítka obrazovky do pravej krajnej polohy. Po ukončení činného behu lúča nastáva prerušenie obvodu uzavretím elektrónky E 11 zápornou časťou budiaceho impulzu. VN trafa a vychylovacie cievky predstavujú paralelný rezonančný LC obvod. Indukčnosť L obvodu tvorí indukčnosť VN trafa a vychylovacích cievok, kapacitu C obvodu tvoria vlastné kapacity jednotlivých vinutí VN trafa, vychylovacích cievok a kapacity elektróniek. Po uzavretí elektrónky E 11 dochádza k premene magnetickej energie, nazhromaždenej v indukčnosti L na elektrickú, v obvode transformátora teče dalej prúd, ktorým sa nabíja kapacita C na napätie radovo niekoľko kV, má



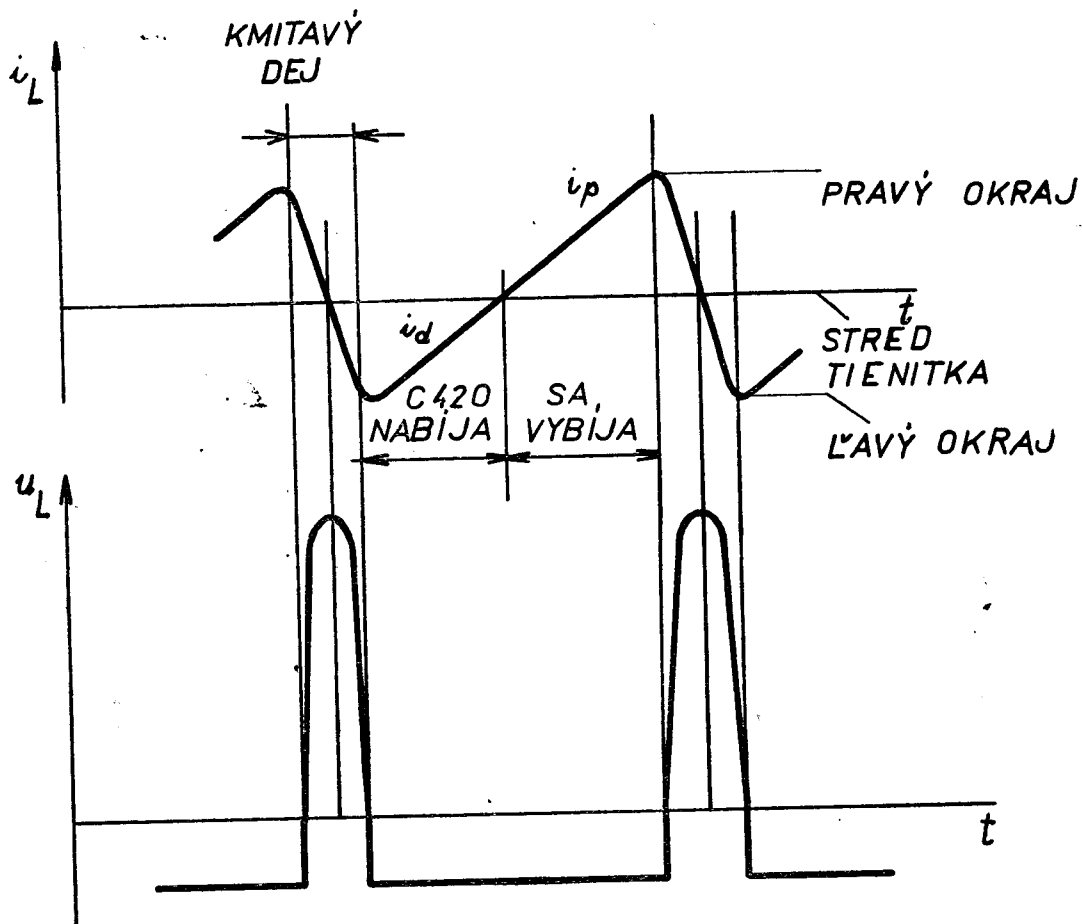
Obr. 23. Náhradné schéma riadkového koncového stupňa.

však klesajúcu tendenciu; papršek sa vracia do stredu tienitka. Po nabití kapacity C na maximum je hodnota prúdu nulová. Táto sa začína opäť vybíjať cez indukčnosť L; pritom tečie prúd opačného zmyslu a elektrónový lúč je vychylovaný do ľavej krajnej polohy. Na VN trafe vzniká takto počas spätného behu napäťový impúlz kladnej polarity a značnej amplitúdy. Spätný beh lúča je vyvolaný vlastne kmitnutím rezonančného LC obvodu. Aby sa uplatnila iba prvá polovica prvého kmitu, pripojuje spínač S 2 po ukončení spätného behu lúča paralelne k vychylovacím cievkam kondenzátor C 420, do ktorého sa akumuluje všetka energia kmitavého obvodu. Funkciu spínača S 2 plní účinnostná dióda E 12 (PY 88). Na jej katóde je po skončení spätného behu záporné napätie oproti jej anóde, takže začína viest prúd, ktorým sa nabíja kondenzátor C 420. Začína opäť činný beh, pričom prúd vo vychylovacích cievkach klesá k nule a lúč je vychylovaný od ľavejho okraja tienitka do stredu. Akonáhle prúd dosiahne nuly, je nabíjanie kondenzátora skončené. Dióda PY 88 prestane viest prúd a súčasne sa otvára elektrónka E 11 kladnou časťou budiaceho impulzu. Kondenzátor C 420, sa nabíja asi na 700 V; toto napätie je zapojené v sérii s napájacím napäťom elektrónky E 11 a tým sa zvyšuje účinnosť koncového stupňa. Prúdy a napäťia v koncovom stupni riadkového rozkladu sú na obr. 24.

Skutočné pracovné podmienky koncového stupňa sú trochu odlišné. Koncová elektrónka (E 11) sa otvára prv, ako bolo popísané, tak isto účinnostná dióda (E 12) sa otvára skôr. Týmto sa dosiahne zlepšenie lineárnosti vychylovania, hlavne v strednej časti tienitka.

Kladné napäťové špičky, ktoré vznikajú v dobe spätného behu na anóde elektrónky E 11 sa ďalej transfor-

mujú na hodnotu asi 16 kV a usmerňujú sa vysokonapäťovou diódou E 13 (DY 86). Žeraviace napätie pre túto elektrónku je odoberané zo zvláštneho vinutia VN trafa, ktoré tvorí jeden závit z odporového drôtu z dôvodu úpravy veľkosti potrebného žeraviacého napäťa. Usmernené napätie sa používa pre urýchľovaci anódu obrazovky. Filtrované je kapacitou, ktorú predstavuje urýchľovacia anóda obrazovky oproti vonkajšiemu vodivému grafitovému povlaku, ktorý je spojený so zemou. Vychylovacie cievky sú z elektrického hladiska zapojené symetricky voči zemi, čím sa zamedzí nežiaduce vyžarovanie harmonických kmitočtov riadkového rozkladu. V sérii s vychylovacimi cievkami je zapojená indukčnosť L 405; jej jadrom môžeme v malých medziach ovplyvňovať veľkosť prúdu vo vychylovacích cievkach a tak regulovať vodorovne rozmer obrazu. Odpór R 417 tlmi indukčnosť L 405, ktorá so svojimi rozptylovými kapacitami tvorí rezonančný obvod, tento by sa pri prudkých zmenách vychylovacieho prúdu v dobe spätného behu vybudil, spôsoboval by svetlé zvislé pruhy na ľavej strane tienitka. Kondenzátor C 423, ktorý je v sérii s vychylovacimi cievkami, slúži na korigovanie tangenciálneho skreslenia, ktoré vzniká pri veľkých vychylovacích uhloch vplyvom nerovnako dlhej dráhy lúčov v strede a v krajiných častiach obrazovky (upravuje pilovitý prúd mierne zakrivený do tvaru S). Ďalšia forma nonlinearity, ktorá je spôsobená vplyvom odporu vychylovacích cievok a transformátora a prejavovala sa ako stlačenie obrazu smerom k pravému okraju, je korigovaná sériovým ladeným obvodom L 402 a C 419, nastaveným na riadkový kmitočet a buzeným napäťom spätného behu. Rezonančný prúd tohto obvodu prechádza súčasne kondenzátorom C



Obr. 24. Prúdy a napäťia v koncovom stupni riadkového rozkladu.

420 a vinutím 2 a 3 VN trafa a ovplyvňuje tak priebeh prúdu vo vychylovacích cievkach a tým linieariu obrazu.

Odpór R 506 a kondenzátor C 508 tlmi parazitné zákmity primárnej cievky vznikajúce prudkými zmenami prúdu v dobe spätného behu, ktoré by spôsobili tiež svetlé zvislé pruhy pri lavom okraji tieňatka „záclony“. Tlmivky L 403 a L 404 v prívodech k elektrónke E 12 zamedzujú šírenie prúdových zákmitov po dokončení spätného behu, ktoré by spôsobovalo rušenie rozhlasových prijímačov i vlastného televízora. VN transformátor obsahuje ešte pomocné vinutia, na ktorých sa pri spätnom behu vytvárajú napäťové impulzy. Tieto impulzy sa využívajú pre porovnávací obvod riadkovej synchronizácie a pre zhášanie riadkových spätných behov.

3. 14. STABILIZÁCIA RIADKOVÉHO ROZKLADU.

Vodorovný rozmer obrazu je značne ovplyvňovaný kolísaním siefového napäťa a starnutím elektrónok. Aby bolo toto kolísanie rozmeru obmedzené, je v koncovom stupni riadkového rozkladu zavedená stabilizácia vodorovného rozmeru obrazu a VN. Princíp stabilizácie spočíva v automatickom riadení prúdu koncové elektrónky E 11 v závislosti na zmene napäťa na VN transformátore. Koncová elektrónka riadkového rozkladu E 11 (PL 500) doštráva mriežkové predpätie zo zvláštneho stabilizačného obvodu. Stabilizačné napätie sa vytvára v dôsledku nelineárnej charakteristiky napäťové závisleho odporu (NZO 2), na ktorý sú privádzané cez výzbový kondenzátor C 421 napäťové impulzy, vznikajúce počas spätných behov a odoberané z odbočky 5 VN trafa. Na nelineárnej charakteristike NZO 2 nastáva čiastočný usmerňovací efekt, pri ktorom sa nabíja kondenzátor C 421 na určitú hodnotu záporného napäťa. Usmernené napätie je omnoho vyššie, ako je napätie, ktorého je treba pre reguláciu koncového stupňa. Zniženie záporného napäťa na požadovanú hodnotu je prevedené zavádzaním rovnosmerného napäťa kladnej polarity z bežca potenciometra P 42. Kladné napätie pre potenciometer sa získava zo zvýšeného napäťa (C 420) na odporovom deliči, ktorý tvorí odpór R 416 a potenciometer P 42. Sčítaním kladného a záporného napäťa sa dosiahne potrebná veľkosť predpätia pre koncový stupeň; pritom zmeny predpätia zostávajú čo do veľkosti rovnaké ako zmeny usmerneného napäťa. Paralelne k napäťovému závislému odporu je pripojený odpór R 415 a časť potenciometra P 42, ktoré upravujú charakteristiku NZO 2. Predpätie pre elektrónku E 11 je ďalej filtrované členmi R 413 a C 416 a zavádzané cez oddelovací odpór R 412 na jej riadiaci mriežku. Potenciometer P 42 slúži na správne nastavenie pracovného bodu koncového stupňa riadkového rozkladu.

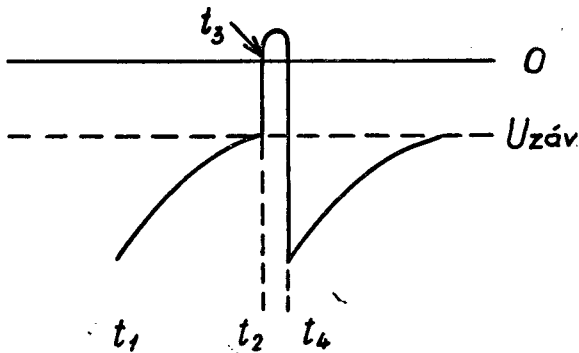
Stabilizácia koncového stupňa pracuje tak, že napr. zvýšenie siefového napäťa, ktoré spôsobí zvýšenie prúdu elektrónky E 11 a vychylovacieho prúdu (rozšírenie obrazu), spôsobi tiež zvýšenie privádzaného impulzného napäťa na NZO 2. Jeho usmernením je vyvolané vyšše záporné predpätie pre elektrónku E 11, ktoré tak obmedzí zvýšenie jej prúdu. Pri poklesu prúdu elektrónky E 11 vyvolá impulzné napätie nižšie predpätie pre elektrónku E 11, a tak zvýši jej prúd.

3. 15. SNÍMKOVÉ ROZKLADOVÉ OBVODY.

Snímková synchronizácia je priama. Snímkové synchronizačné impulzy sa odoberajú z anódy triódovej časti elektrónky ECH 84 (E 7b) a sú vedené na dvojitý integračný článok.

Prvý integračný člen tvorí odpór R 330, miniatúrny selénový usmerňovač D 8 (E 50 C5), a kondenzátor C 330. Polarita usmerňovača je volená tak, že sa neuplatní za prítomnosti kladného impulzu z oddelovača. Ak kladný impulz prestane pôsobiť, vybíja sa kondenzátor C 330 cez usmerňovač. Použitie miniatúrneho selénového usmerňovača v obvode integračného člena spôsobuje, že jeho vybíjacia konštantá je 10 až 20-krát nižšia, ako nabíjacia. Vyrovňávacie impulzy sa preto vybíjajú na nulovú úroveň. Nulová úroveň, od ktorej začína integrovaný polsnímkový impulz, zaistuje spúštanie snímkového budiča jednoznačne pri párnych i nepárných polsnímkoch a tým sa zlepšuje prekladanie. Druhý integračný člen je tvorený členmi R 331, C 331.

Integrované synchronizačné impulzy sú cez kondenzátor C 332 vedené na mriežku budiaceho generátora snímkového rozkladu, ktorý tvorí triódová časť elektrónky PCL 85 (E 9a). Budiaci generátor pracuje ako blocking oscilátor s vybíjacou elektrónkou. Činnosť blocking oscilátora je zhruba takáto: Začneme od okamžiku t_1 , (viď obr. 25) keď je na kondenzátori C 333 také záporné napätie proti kostre, že trióda je uzavretá. Kondenzátor C 333 sa však cez odpor R 333 a P 41 vybíja, takže v čase t_2 sa trióda otvára. Začína tiečce cez ju anódový prúd. Anódový prúd tečie cez vinutie transformátora TR 3, ktorý je zapojený tak, že znižovanie napäťa na anóde pôsobí v mriežkovom vinutí vzrást kladného napäťa a narastanie mriežkového prúdu (t_3). To má za následok vzrástanie anódového prúdu a pokles anódového napäťa a ten spôsobí opäť vzrást kladného mriežkového napäťa. Proces prebieha lavinovite. Mriežkovým prúdom sa nabija kondenzátor C 333. Ak poklesne anódové napätie na hodnotu, pri ktorej už nenarastá anódový prúd, prestane sa indukovať kladné napätie v mriežkovom vinutí transformátora TR 3 a na mriežke triódy začne pôsobiť plné záporné napätie kondenzátora C 333 (t_4). Anódový prúd tým klesne na nulu a to vyvolá v mriežkovom vinutí impulz ešte zápornejšieho napäťa, ako je na C 333. Aby sa týmto impulzom ne-rozkmital blocking transformátor na svojej vlastnej frekvencii tlmenými kmitmi, je zatlmený odporem R 332.



Obr. 25. Priebeh napäťa na vybíjacom kondenzátore C 333.

Elektrónka sa záporným napäťom z kondenzátora C 333 uzavrie, to je opäť počiatočný stav. Doba vybíjania kondenzátora C 333 a tak doba celého cyklu blokovacieho oscilátora sa ovláda ručne veľkosťou mriežkového odporu, ktorý tvorí R 333 a P 41. Potenciometrom P 41 nastavujeme frekvenciu blocking oscilátora trochu nižšiu, ako je frekvencia synchroimpulzov. Integrované synchroimpulzy sú privádzané v kladnej polarite na mriežku triódy v čase, keď sa vybíjaním kondenzátora C 333 na-

pátie na g₁ blíži k hodnote záverného napäťa. Prítomnosť kladného synchronizačného impulzu spôsobí predčasné otvorenie elektrónky. Tým sa blocking oscilátor uvádzá do synchronizmu.

Z toho je vidieť, že snímkový budič môže byť zasynchronizovaný len vtedy, ak je jeho kmitočet nižší ako kmitočet synchronizačný.

Vlastné napäťe pílovitého priebehu, ktorým sa budi koncový stupeň rozkladového generátora, vzniká na kondenzátore C 334, ktorý sa nabíja cez odpor R 335 v dobe, keď je elektrónka uzavretá. V dobe, keď tečie anódový prúd, vybija sa kondenzátor C 334 cez anódové vinutie TR 3 a cez elektrónku. Doba jeho vybijania je oomnoho kratšia, než doba nabijania. Pílovité napäťe, ktoré takto vzniká na kondenzátore C 334, sa privádzajú cez kondenzátor C 335 a cez odpor R 343 na prvú mriežku koncové elektrónky snímkového rozkladu. Snímkový koncový stupeň, pentoda elektrónky PCL 85 (E 9b) pracuje v triede A. Pracovné podmienky koncovej elektrónky E 9b sú nastavené katódovým odporom R 344 a odporom v druhej mriežke R 345. Obidva odpory sú blokované kondenzátormi C 340 a C 341, aby sa vylúčila nežiadúca spätná väzba. R 341 tvorí mriežkový zvod. Anóda je napájaná cez primárne vinutie výstupného transformátora TR 2, ktoré je preklenuté sériovým RC členom R 346 a C 342, ktorý obmedzuje napäťové špičky vznikajúce pri spätnom behu na výstupnom transformátori. Špičky by spôsobili bručanie výstupného transformátora a mohli by ohrozit izoláciu niektorých súčiastok. Anódový prúd, dodávaný koncovou elektrónkou do primárneho vinutia výstupného transformátora TR 2 obsahuje pílovú a parabolickú zložku. Pílová zložka predstavuje prúd pre vychylovacie cievky a parabolická zložka predstavuje magnetizačný prúd transformátora. Budiace napätie pre koncový stupeň musí mať približne rovnaký tvar, ako anódový prúd. To nie je možné dosiahnuť budiacim generátorom, nabíjaním kondenzátora C 334 a preto je zaradený medzi anódou koncové elektrónky a jej prvú mriežku obvod spätnej väzby, ktorý budiace napätie vhodne tvaruje. Spätnoväzbový obvod je zložený z členov: C 339, R 418, P 43, C 338, R 340 a P 33. Potenciometrami P 33 a P 43 sa mení spätná väzba a tak aj linearita. P 33 pôsobí v hornej časti obrazu, P 43 v strednej časti obrazu. Výstupný transformátor TR 2 prispôsobuje impedančne anódový obvod elektrónky koncového stupňa E 9b na vychylovacie cievky L 527 a L 528. Kondenzátor C 424 potláča napätie riadkovej frekvencie, naindukované z riadkových vychylovacích cievok.

Záporné napäťové impulzy, vznikajúce pri spätnom behu snímkového rozkladu, ktoré sa odberajú zo sekundáru výstupného transformátora, sa využívajú na zhášanie snímkového spätného behu. Sú vedené cez diódu D 9 (GA 204) na riadiacu mriežku obrazovky. Kladná pílová časť zhášacieho napäťa sa odstraňuje pomocou derivačného článku, tvoreného kondenzátorom C 431 a odporom R 425 a časťou odporu potenciometra jasu P 45 (medzi bežcom a zemou). Pomocou termistora W 10, ktorý má záporný tepelný koeficient odporu sa kompenzuje zväčšenie odporu vychylovacích cievok vplyvom teploty. Odpor R 541 upravuje charakteristiku termistora.

3. 16. STABILIZÁCIA SNÍMKOVÉHO ROZKLAĐU

Následkom kolísania sieťového napäťa sa tiež mení napájacie napätie pre budiaci a koncový stupeň snímkového rozkladu a tým dochádza ku zmenám zvislého rozmeru obrazu. Toto kolísanie rozmeru sa obmedzuje stabilizáciou napájacieho napäťa pre

elektrónku budiaceho generátora E 9a (PCL 85). Jej napájacie napätie sa odberá z deliča, tvoreného odporom R 339, R 337, R 336, pripojeného na zvýšené napätie (booster), ktoré je stabilizované obvodom pre stabilizáciu riadkového koncového stupňa. Napätie odberané z deliča sa znova stabilizuje. Na stabilizáciu sa využíva kladných napäťových impulzov, ktoré vznikajú v dobe spätného behu v anódovom obvode koncového stupňa snímkového rozkladu. Napäťové impulzy sa odoberajú z anódy elektrónky E 9b (PCL 85) cez kondenzátor C 337, sú zavádzané na napäťové závislé odpor NZO 1, ktorý ich činastočne usmerňuje. Usmernením impulzov vznikajúcich na kondenzátore C 337 záporné napätie, ktoré je tým väčšie, čím väčšie sú impulzy. Toto napätie je cez odpor R 338 privádzané do uzu P 32 – R 335, kde zmenšuje kladné napätie privádzané cez P 32. Kondenzátor C 336 filtriuje výsledné napájacie napätie pre anódnu blokovacieho oscilátora. Pri zvýšení siefového napäťa sa zvýší amplitúda impulzov na anóde koncovej elektrónky, tým sa zmenší výsledné napájacie napätie pre elektrónku blokovacieho oscilátora. Zmenšené napájacie napätie blokovacieho oscilátora má za následok zníženie budiaceho napäťa na mriežku koncovej elektrónky, tým aj zmenšenie amplitúdy zvislého rozkladu. Pri znížení siefového napäťa sa zníží amplitúda impulzov na anóde koncovej elektrónky, tým sa zvýší výsledné napájacie napätie pre elektrónku blokovacieho oscilátora, zvýsi sa budiace napätie na mriežke koncovej elektrónky a zvýší sa amplitúda zvislého rozkladu.

3. 17. OBVODY OBRAZOVKY

Regulácia jasu sa prevádzka zmenou kladného potenciálu riadiacej mriežky obrazovky potenciometrom P 45. K hrubému nastaveniu slúži potenciometrový trimer P 21. Zhášanie snímkových i riadkových spätných behov sa prevádzka zápornými napäťovými špičkami, ktoré sú odberané z výstupných transformátorov a riadkového rozkladu, tvarované a privádzané cez kondenzátor C 431 a odpor R 424 na prvú mriežku obrazovky. Druhá mriežka je napájaná cez odpor R 342 z odporového deliča R 339, R 337 a R 336, ktorý je pripojený na zvýšené napätie. Hodnoty odporov deliča pre antiimplózne obrazovky sú podľa schémy, pre ostatné obrazovky predchádzajúca mriežka a kladné napätie z napájajúca má chádzajúceho odporom R 337 na poziciu R 339 a naopak. Tým sa upravuje napájacie napätie druhej mriežky obrazovky zo 640 V pre antiimplózne, na 560 V pre ostatné obrazovky. Kondenzátor C 432, zapojený medzi druhú mriežku a kladné napätie z napájajúca, má s odporom R 342 veľkú časovú konštantu, ktorej vplyvom sa udrží napätie na druhej mriežke po vypnutí prijímača a vysoké napätie má možnosť sa cez obrazovku dostatočne vybiť, čím je zamedzené vznikanie svetelného bodu po vypnutí prijímača. Ostriaca elektróda môže byť napájaná z troch bodov o rôznych napätiach. Ako napájacie body sú použité priamo špičky na pätiči obrazovky, kde na špičke 1 je 0 V, na špičke 3 je 560 V (640 V), na špičke 5 je 230 V. Vodič od ostriacej elektródy (špička 4) je na pätiči obrazovky zapojený na niektorú z týchto špičiek. Stredenie obrazu je magnetické. Prevádzka sa dvoma magnetmi tvaru medzikružia upevnenými na vychylovacej jednotke.

3. 18. SIEŤOVÁ NAPÁJCIA ČASŤ

Televízny prijímač je napájaný priamo zo striedavej siete, jeden pól siete je za vypínačom spojený s kostrou prijímača. Pre usmernenie anódového napäťa sa používa jednocestný kremíkový usmerňovač. Odpor R 402 ho chráni pred veľkým prúdovým nárazom po zapnutí. Žeraviace vlákna elektrónok sú zapojené do série a odpor R 401 zráža sietové na-

päťte na potrebnú hodnotu pre žeravenie. Žeraviaci prúd je 300 mA. Termistor W 1 chráni žeraviacie vlákna elektrónok pred prúdovým nárazom, ktorý nastáva po zapnutí prijímača. Aby sa navzájom neovplyvňovali jednotlivé časti prijímača prostredníctvom žeraviacích prívodov, sú zaradené medzi žeraviacie prívody niektorých elektrónok blokovacie kondenzátory. Filtračný článok, tvorený kondenzátormi C 401, C 402 a tlmičkou T1 1, zabraňuje vnikaniu siefových porúch do prijímača a vyžarovaniu rušivých rozkladových frekvencií do siete. Striedavá zložka je vyhľadzovaná na usmerňenej prúdu filtračným refazcom, ktorý tvoria členy: R 403, C 404a, R 405, C 406a, R 404, C 405a, R 406,

C 404b, R 407, C 405b, R 408, C 406b. Filtráciou je prúd rozdelený do 6 vetví podľa požadovanej veľkosti napäcia a stupňa filtrácie pre jednotlivé časti prijímača. Prijímač je istený celkom 3 poistkami. Tavná trubičková poistka 1,6 A je v sietrovom prívode, tavná trubičková poistka 0,4 A istí žeraviaci obvod, anódový obvod je istený tepelnou poistikou, ktorá je tvorená pružným drôtom medzi prvým elektrolytom C 403 a letovacou špičkou, na ktorú sú napojené jednotlivé vetvy filtračného reťazca. V prípade skratu niektoré vetvy dôjde k značnému zvýšeniu teploty filtračného odporu a tým aj letovacieho bodu, čím sa roztaví cín a pružný drôt odpojí prívod prúdu od usmerňovača.

4. 0 KONTROLA A VYVAŽOVANIE TELEVÍZNEHO PRIJÍMAČA

Všetky ladené obvody prijímača sú vo výrobnom závode starostlivo nastavené a zaistené proti samovoľnému rozladaniu. Preto zásadne nehýbajte ladiacimi prvkami, kym ste jednoznačne nezistili rozladenie.

4. 1. VYVAŽENIE VF DIELU

Vyvažovanie vf dielu vzhľadom k malým rozptylovým kapacitám a indukčnostiam dosiek s leptanými spojmi je obmedzené na nastavenie oscilátora a pri výmene vadných elektrónok PCC 88, PCF 82 na vyváženie parazitných kapacít elektrónok.

a) Nastavenie oscilátora

Pre kontrolu činnosti oscilátora meráme napätie na mernom bode 1.1 elektrónkovým voltmetrom. Pri správnej činnosti oscilátora musíme namerať -2 až -4 V na všetkých kanáloch. Vlnomer voľne naviazeme slučkou k doladovaciemu kondenzátoru C 117. Meráme kmitočet oscilátora prijímača otáčaním gombíka z jednej krajnej polohy do druhej a odčítame údaje vlnomera. Oscilátor prijímača má obsiahnuť minimálny kmitočtový rozsah 4 MHz pre kanály 6 – 12; 2,6 MHz pre kanály 3 – 5; 2 Hz pre kanály 1,2.

Stredný kmitočet oscilátora je naladený na kmitočet vyšší o medzifrekvenčný kmitočet, než má prijímaný signál.

Stredné kmitočty oscilátora pre jednotlivé kanály

Kanál	fosc (MHz)	Kanál	fosc (MHz)	Kanál	fosc (MHz)
1	87,75	5	131,25	9	237,25
2	97,25	6	213,25	10	242,25
3	115,25	7	221,25	11	253,25
4	123,25	8	229,25	12	261,25

Správna hodnota kmitočtu oscilátora musí byť aspoň 1 MHz resp. 0,5 MHz od zistených krajných frekvencií doladovacieho rozsahu.

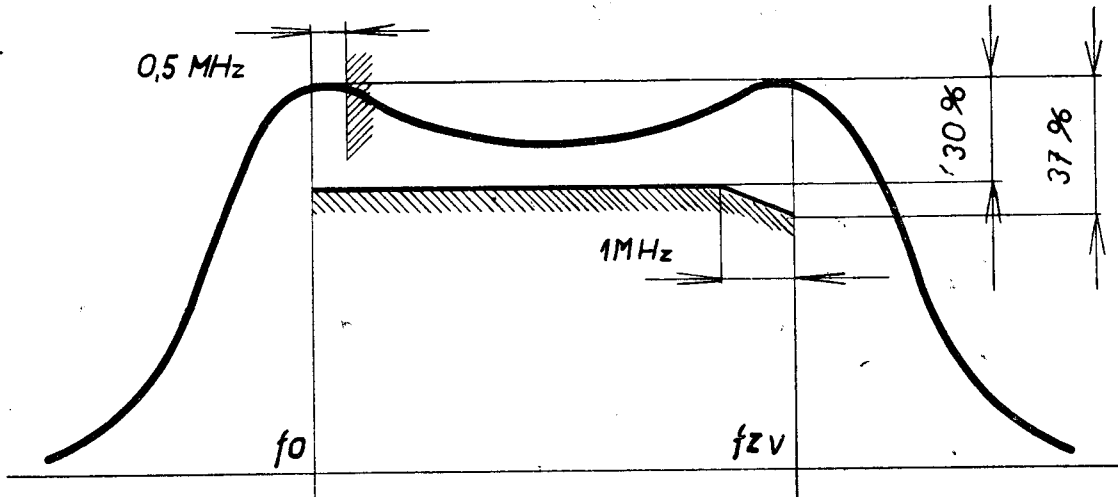
Ak nie je kmitočet oscilátora nastavený v predpísaných medziach, dostavíme kmitočet nastavovacím kondenzátorom C 118. Kontrolu nastavenia prevedieme potom na všetkých kanáloch.

b) Kontrola nastavenia oscilátora po výmene kanálovej dosky.

Pri nutnej výmene kanálovej cievky kontrolujeme rozladiteľnosť oscilátora na tomto kanále a musíme obsiahnuť minimálny kmitočtový rozsah podľa odstavca 4. 1a.

c) Nastavenie pásmového filtra.

Pre správne nastavenie je nutné dostaviť rozptyly kapacít elektrónok, aby nastavenie vyhovovalo na



Obr. 26. Kmitočtová charakteristika vf časti prijímača.

všetkých kanáloch. Rozmietač pripojíme cez symetriačný člen na vstup kanálového voliča. Kanálový volič prepne na nastavovaný kanál a rozmietač na zodpovedajúcu frekvenciu kanálu. Napätie rozmietača upravíme tak, aby neboli zahľtené vstupné obvody prijímača.

Počas celého nastavovania udržujeme osciloskop na vhodnej citlivosti a regulátor výstupného napäťa na rozmietači nastavíme tak, aby amplitúda krvíky prieplustnosti bola dobre zreteľná. Na merný bod 1.1 pripojíme osciloskop cez oddelovací odpor 100 kOhm blokovany kondenzátorom 560–1000 pF. Tvar krvíky pásmového filtra upravíme pomocou otočných kondenzátorov C 111, C 120 a to tak, aby zodpovedal na všetkých kanáloch krvíke na obr. 26.

Cievku L 110, ktorá kompenzuje pokles zisku na najvyšších kanáloch, spôsobený indukčnosťou katódových prívodov elektrónky PCF 82, nastavíme oddelením, alebo približovaním závitov cievky tak, aby výkon amplitúdy frekvenčnej charakteristiky pásmového filtra bola na 12. kanáli približne rovnaká, ako na 6. kanáli.

d) Nastavenie pásmového filtra pri výmene kanálovej dosky.

Pri výmene kanálovej dosky kontrolujeme nastavenie oscilátora podľa odstavca b), a tvar krvíky pásmového filtra podľa odstavca c).

e) Nastavenie odladovača.

Pre zlepšenie potlačenia medzifrekvenčného kmitočtu je na vstupe kanálového voliča zapojený medzifrekvenčný odladovač, ktorý pri výmene niektoréj jeho časti nastavíme najspoloahlivejšie tak, že pripojíme na vstup kanálového voliča cez symetriačný člen generátoru o medzifrekvenčnom kmitočte 35 MHz a 38 MHz amplitúdovo modulovaných a nastavíme výchylku nf milivoltmetra, ktorý pripojíme na merný bod 2.5 a kostru prijímača.

Na kmitočte 35 MHz nastavíme minimálnu výchylku nf milivoltmetra odladovaním, alebo približovaním závitov cievky L 104. Po nastavení zaistíme závit cievok vhodným lepidlom. Nakoniec kontrolujeme tvar celkovej frekvenčnej charakteristiky vf dielu, ktorá má zodpovedať krvíke nakreslenej na obr. 26.

4. 2. NASTAVENIE OBRAZOVEJ MEDZFREKVENCIE.

Príprava: Prijímač zapojíme na siet aspoň 20 min. pred začiatkom ladenia, aby bol dostačne zahriatý. Kanálový volič prepne do polohy 7. kanálu. Osciloskop pripojíme paralelne s elektrónkovým voltmetrom cez mernú sondu I. na merný bod 2.5. vid. obr. 28 a.

a) Ladenie pásmového filtra OMF 4.

Výstupný signál rozmietača priviedieme cez mernú sondu II. (vid. obr. 28b.) na merný bod 2.4. Skratom prepojíme špičky 7,8 elektrónky E 4, aby primár OMF 3 nevytváral dolík na vrchole krvíky OMF 4. Výstupné napätie zo rozmietača nastavíme tak, aby výchylka na elektrónkovom voltmetri bola max. 1 V. Otáčaním jadier L 213 (zdola) a L 215 (zhora) nastavíme tvar krvíky podľa obrázku 29. Skrat medzi špičkami 7,8 elektrónky E 4 rozpojíme.

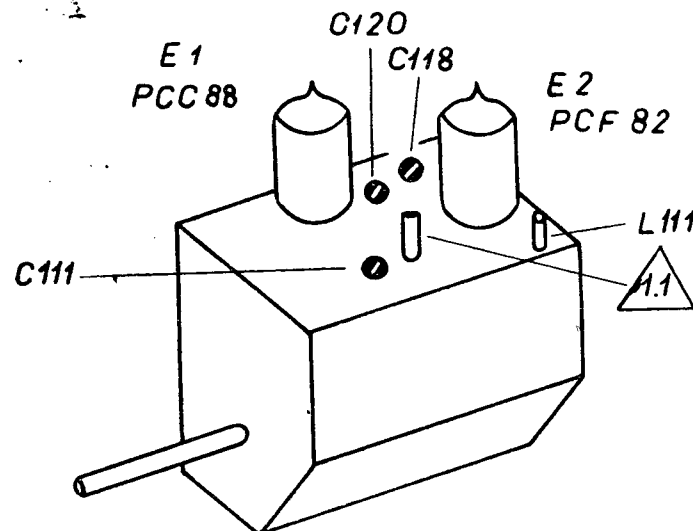
b) Ladenie pásmového filtra OMF 3.

Mernú sondu II. pripojíme na merný bod 2.3. Výstupné napätie z voblera zoslabíme tak, aby na elektrónkovom voltmetri bolo napätie 1 V. Jadrami L 209 (zhora) a L 212 (zhora) nastavíme tvar krvíky podľa obr. 30. Šírka krvíky sa upraví jadrom L 210, L 211 (zdola).

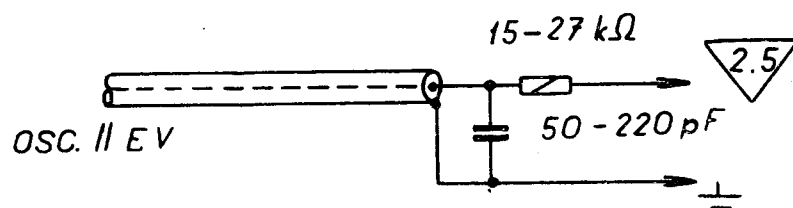
c) Ladenie pásmového filtra OMF 2.

Do merného bodu 2.2. priviedieme zo zvláštneho zdroja predpätie –4 V až –6 V. Mernú sondu II. pripojíme na bod 2.1. Výstupné napätie zo rozmietača nastavíme tak, aby na elektrónkovom voltmetri pripojenom v bode 2.5 bolo napätie 1 V. Pri veľkom vplyve OMF 1 skratovať cievku L 202. Jadrom L 206 (zdola) nastavíme odladovač 30 MHz na min. Rovnako jadrom L 208 (zdola) nastavíme odladovač 39,5 na min. Jadrami L 205 a L 207 (zhora) nastavíme tvar krvíky podľa obr. 31. Zväčšíme signál rozmietača (alebo citlivosť osciloskopu) 10 krát a presne dodladíme odladovač 30 MHz a 39,5 MHz na min. Potom odstránime skrat cievky L 202, ak bol použitý.

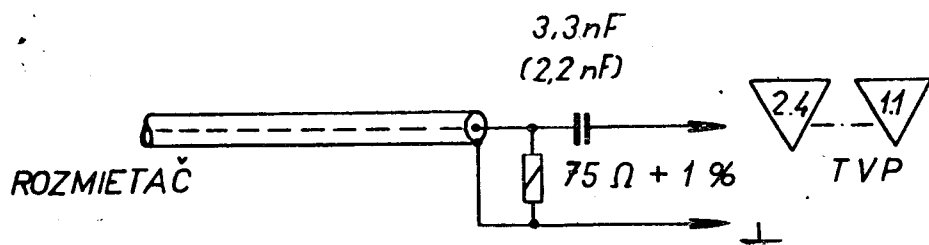
Nastavenie odladovačov je tiež možné previesť pomocou VF generátora (v bode 1.1) bez modulácie a jednosmerného EV (v bode 2.5) na min. výchylku.



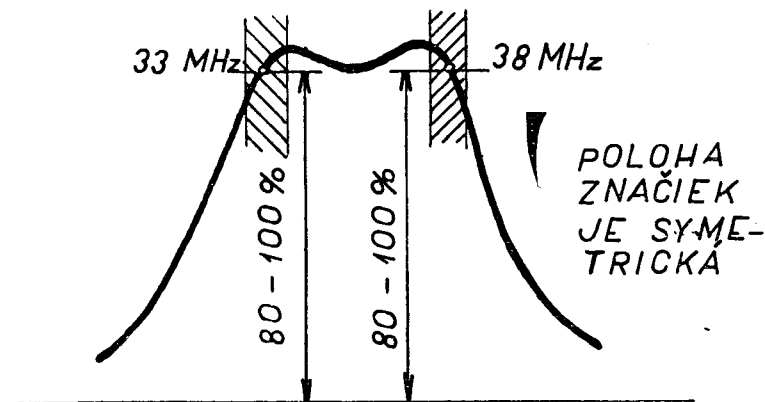
Obr. 27. Kanálový volič – vyvažovacie prvky.



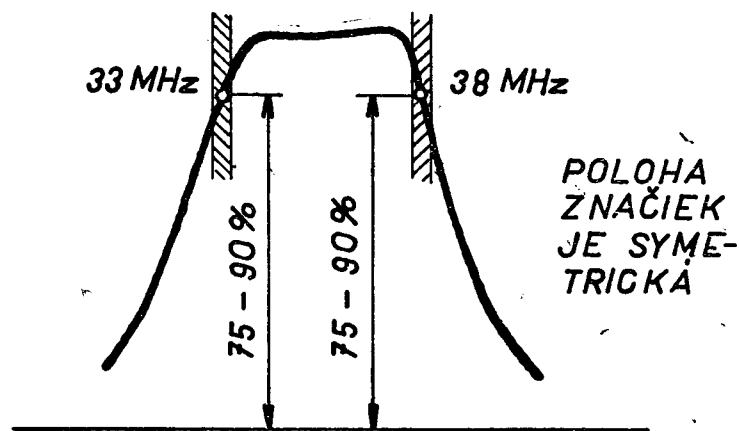
Obr. 28a. Merná nf sonda I.



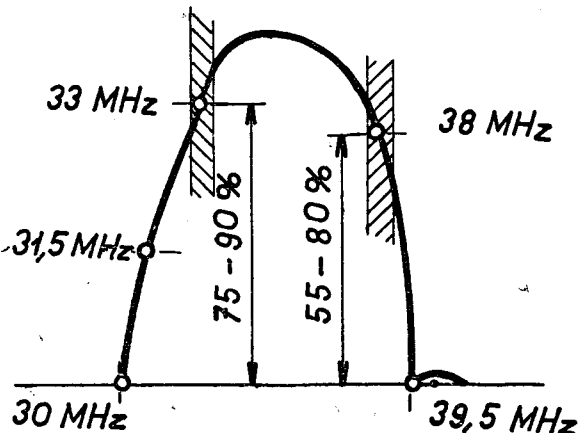
Obr. 28b. Merná vf sonda II.



Obr. 29. Krivka OMF 4.



Obr. 30. Krivka OMF 3 + 4.



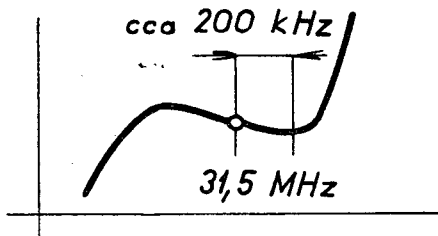
Obr. 31. Krivka OMF 2 + 3 + 4.

d) Ladenie pásmového filtra OMF 1a – OMF 1b.

Mernú sondu II. pripojíme na bod 1.1. Do bodu 2.2 je privedené pevné predpäťie ako bolo uvedené v odstavci c). Výstupné napätie z rozmietača nastavíme tak, aby na EV (v bode 2.5) bolo napätie 1 V. Jadrom OMF 1b L 201 (zhora) nastavíme zvukový odladovač asi o 200 kHz vyššie od značky 31,5 MHz podľa obr. 32 tak, aby značka 31,5 MHz bola v strede zvukovej plošinky.

Jadrom OMF 1b L 204 (zhora) a jadrom OMF 1a L 111 (zhora na tuneri) nastavíme čo najvyššiu a symetrickú krvku. Pritom jadrom v OMF 1b, vo väzbových vinutiach L 202, L 203 (zdola) nastavíme šírku pásma tak, aby výsledná krvka zodpovedala obr. 33.

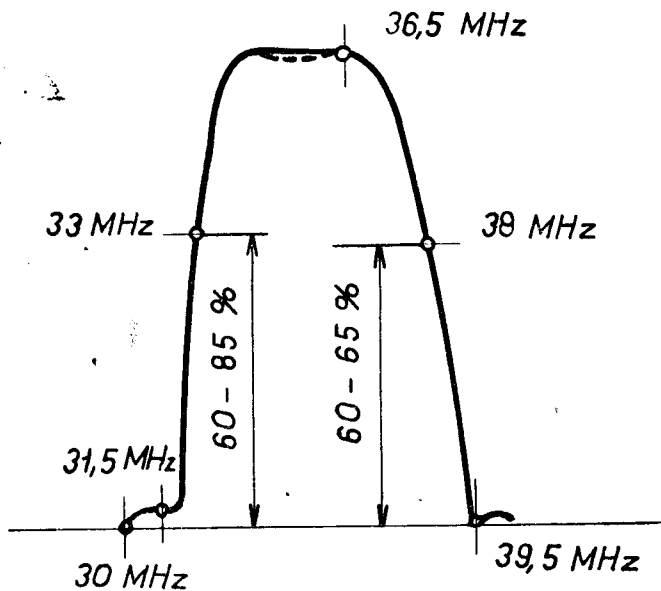
Po nastavení krvky priepustnosti obrazového medzfrekvenčného zosilňovača odpojíme merné sondy a zdroj predpäťia.



Obr. 32. Priebeh zvukového odladovača.

4. 3. KONTROLA KMITOČTOVEJ CHARAKTERISTIKY A CITLIVOSTI CELÉHO PRIJÍMAČA.**a) Kmitočtová charakteristika OMF zosilňovača**

Vf signál z generátora, ktorého výstupný kábel je zakončený prispôsobovacím ohmickým odporom a oddeľovacím kondenzátorom 3K3 (merná sonda II, obr. 28b) privedieme na merný bod 1.1 v kanálovom voliči, pri zaradenom 7. kanáli. Jednosmerný voltmeter pripojíme na výstup obrazového detektora (merný bod 2.5) cez filtročný RC člen (sonda



Obr. 33. Celková krvka OMF.

I., obr. 28a). Na AVC do bodu 2.2 pripojíme predpátie -3 až -6 V. Generátorm nastavujeme jednotlivé kmitočty (bez modulácie) a na delši generátora odčítame úroveň vf signálu, potrebného pre dosiahnutie konštantnej výchylky voltmetra (1 V). Vzhľadom na referenčný kmitočet $36,5$ MHz má mat krvka prieplustnosti OMF zosilňovača priebeh daný týmto hodnotami:

Kmitočet (MHz)	Útlm (dB)	Kmitočet (MHz)	Útlm (dB)
30	min. -46	35,5	$-0,5 \pm 1$
31,5	-29 ± 4	36,5	0
33	-5 ± 2	38	-6 ± 2
34,5	0 ± 2	39,5	min. -46

látor kanálového voliča nastavíme na každom kanáli tak, ako je uvedené v odstavci 4.3b. Sieťové napätie musí byť 220 V. Na vf generátore nastavíme amplitúdovú moduláciu 1 kHz, alebo 400 Hz, 30% . Kmitočet vf signálu nastavíme vždy o $2,5$ MHz vyšší, než je nosný kmitočet obrazu daného kanálu. Pre jednotlivé kanále sú to tieto kmitočty:

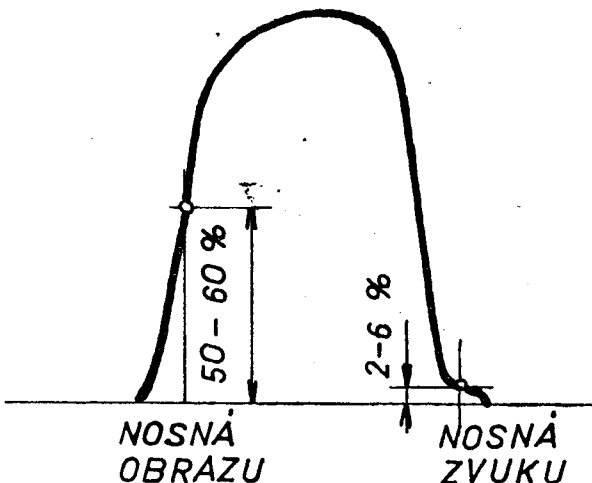
Kanál	Kmitočet (MHz)	Kanál	Kmitočet (MHz)
1	52,25	7	185,75
2	61,75	8	193,75
3	79,75	9	201,75
4	87,75	10	209,75
5	95,75	11	217,75
6	177,75	12	225,75

b) Kmitočtová charakteristika celého prijímača.

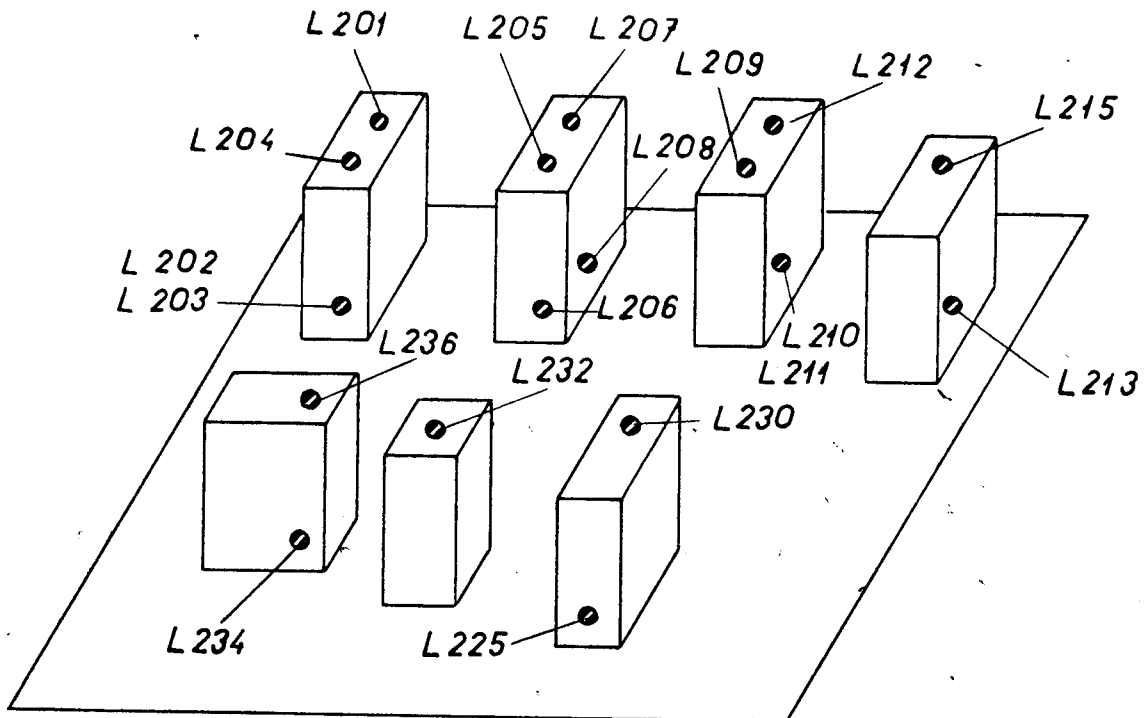
Zapojenie prístrojov je obdobné so zapojením pre nastavenie kmitočtovej charakteristiky obrazovej medzifrekvencie (viď. odst. 4.2a – d) s tým rozdielom, že rozmietač pripojíme na symetrický anténny vstup cez symetrikačný člen. Do merného bodu 2.2 pripojíme zdroj predpátie -3 až -6 V. Výstupné napätie rozmietača nastavíme tak, aby výchylka jednosmerného voltmetra, pripojeného do bodu 2.5 cez sondu I. bola 1 V. Kanálový volič prepíname postupne na všetky kanále a kmitočet rozmietača nastavíme podľa práve zaradeného kanálu. Oscilátor kanálového voliča nastavíme tak, aby nosný kmitočet zvuku susedného kanálu ležal v dolíku príslušného odladžovača. Značka nosného kmitočtu obrazu má byť pritom na boku krvíky $50 - 60\%$ od základne. Tvar krvíky musí zodpovedať krvke nakreslenej na obr. 35.

c) Merania obrazovej citlivosti celého prijímača.

Vf generátor pripojíme cez symetrikačný člen na anténne zdierky. Nf milivoltmeter pripojíme tieniným spojom na katódu obrazovky (merný bod 2.8). Regulátor kontrastu P 44 nastavíme na max. Osci-



Obr. 35. Celková kmitočtová charakteristika vf a mf časti prijímača.



Obr. 34. Usporiadanie doľaďovacích jadier na MF doske.

Úroveň vstupného signálu v μV pre dosiahnutie 6 V_o nízkofrekvenčného napäťa na katóde obrazovky je citlosť prijímača. Citlosť prijímača má byť lepšia, než $50 \mu\text{V}$ pre kanály 1 a 2 a lepšia než $80 \mu\text{V}$ pre kanály 3 – 12.

Upozornenie: ak používame pre výstup z generátora odporevý symetrický člen, (ktorý má útlm 6 dB) ide výstupné napätie generátora dvojnásobkom vstupného napäťa na anténnych zdierkach prijímača.

4. 4. NASTAVENIE ODLAĐOVAČA 6,5 MHZ A MERANIE KMITOČTOVEJ CHARATERISTIKY OBRAZOVÉHO ZOSILŇOVAČA.

Na mriežku obrazového zosilňovača (merný bod 2.6) pripojíme obrazový generátor – pre nastavenie odlađovača 6,5 MHz len generátor 6,5 MHz. Výstupné napätie generátora udržujeme konštantné, napr. 0,3 V, alebo 0,5 V. Na katódu obrazovky, alebo na merný bod 2.8 pripojíme vysokofrekvenčný elektrónkový voltmeter (napr. MB 388). Generátor nastavíme na frekvenciu 6,5 MHz a jadrom cievky L 225 (zodola) nastavíme minimálnu výchylku voltmetra. Potom postupne rozladujeme generátor od 25 Hz do 6,5 MHz a odčítame hodnoty napäťa na EV. Po vynesení nameraných hodnôt do grafu, priebeh obrazového zosilňovača v závislosti na kmitočte má byť v tolerančnom poli šablony (viď. obr. 36).

4. 5. KONTROLA FUNKCIE KAVC A DOSTAVENIE PRACOVNÉHO BODU.

a) Kontrola obvodu.

Automatiku jasu a kontrastu vyradíme tlačítkom „aut“. Na vstup prijímača pripojíme regulovateľný vf signál (môže byť modulovaný, nemodulovaný i vf televízny signál). Veľkosť vf signálu nastavíme tak, aby jednosmerný elektrónkový voltmeter pripojený na merný bod 2.10 ukázal výchylku 1 V. Potom prepne jednosmerný elektrónkový voltmeter na merný bod 2.2, kde musí ukázať výchylku 15 V \pm 4 V.

b) Nastavenie KAVC

Odpojíme vf signál a kanálový volič prepneeme do takej polohy, aby ani pri max kontraste na obraz-

ovke neboli patrný žiadny obraz. Jednosmerný elektrónkový voltmeter potom pripojíme medzi merné body 2.7 a 2.9 a potenciometrom P 22 dostavíme výchylku 15 V. Po odpojení elektrónkového voltmetu pripojíme vf signál na vstup prijímača (ľubovoľný kanál) o úrovni do $200 \mu\text{V}$, zapneme tlačítko „aut“ a fotoodpor zaconíme, na obrazovke má byť obraz pozorovateľný a bez deformácií. V opačnom prípade je nutné potenciometrom jemným natočením doprava nastaviť pozorovateľný obraz a bez deformácií.

4. 6. NASTAVENIE A KONTROLA ZVUKOVEJ ČASŤI.

Nastavenie prevádzkame na dostatočne vyhriatom prijímači – zapnutý minimálne 25 min. Upozornenie: U prijímača pripojeného na sieť v žiadnom prípade nie je dovolené spájkovanie tranzistorov a súčiastok v ich obvodoch. V opačnom prípade pri spájkovaní emitorového privodu, prípadne privodu bázy dochádza k poškodeniu tranzistora.

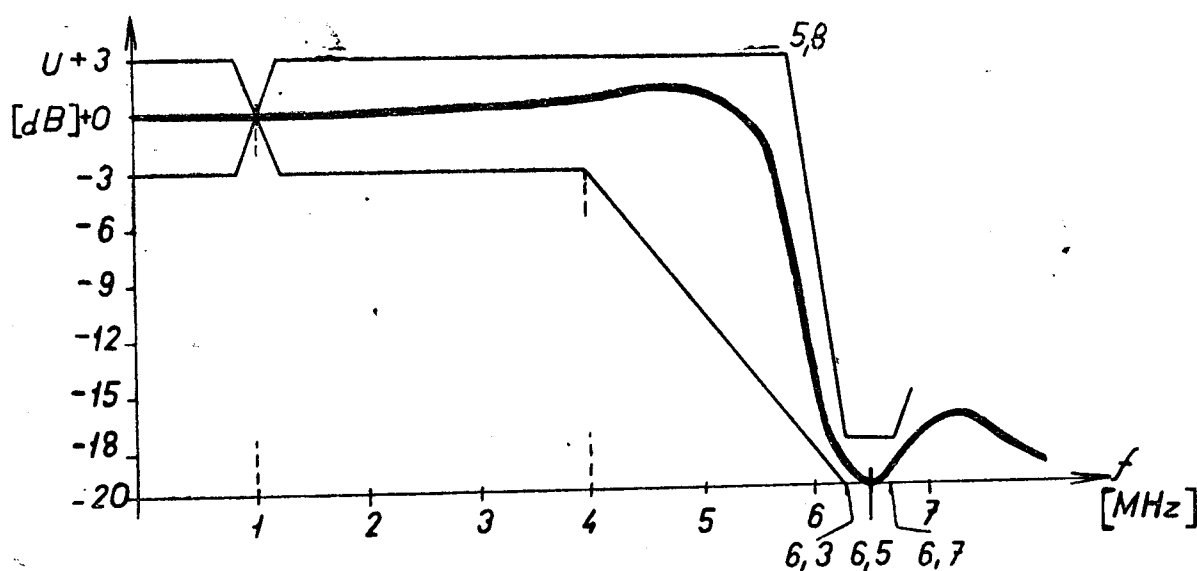
a) Ladenie ZMF.

Generátor kmitočtu 6,5 MHz pripojíme na merný bod 2.5, jeho výstupné napätie upravíme na 10 mV. Pomerový detektor čo najviac rozladíme vytocením jadra sekundárnej cievky L 236 (zhora) smerom von. Jednosmerný elektrónkový voltmeter pripojíme na odpor R 252 cez oddelovacie odpory M 2 (na merné body 2.12 a 2.11, „plus“ svorku na bod 2.12) a prepneeme na rozsah 10 V. (Obr. 37.)

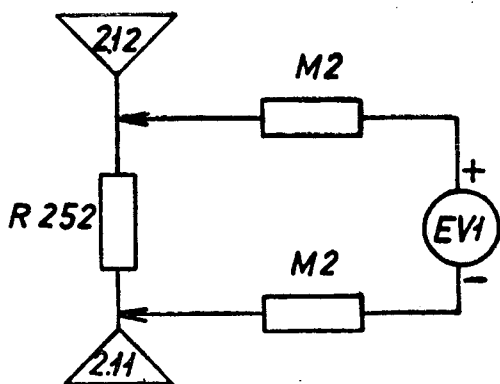
Jadrami cievok L 230 (ZMF 1b zhora) a L 232 (ZMF 2 zhora) nastavíme max. výchylku EV. Zvýšime výstupné napätie z generátora na 50 mV a jadrom cievky L 234 (PD zdola) nastavíme max výchylku EV.

b) Ladenie PD.

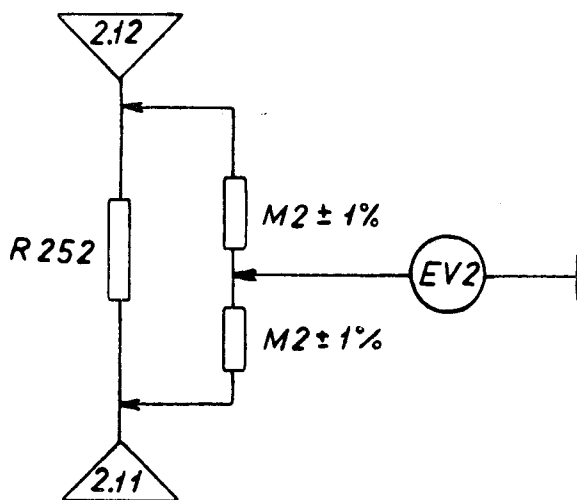
Generátor 6,5 MHz s výstupným napäťom 50 mV zostáva zapojený na mernom bode 2.5. Paralelne na odpor R 252 (merné body 2.12 a 2.11) pripojíme delič zložený z dvoch rovnakých odporov M 2 \pm 1 %. EV pripojíme medzi stred deliča a kostru prijímača (obr. 38). Jadrom cievky L 236 zhora nastavíme nulovú výchylku (nie min. – pri ďalšom otáčaní jadra musí byť výchylka na druhú stranu od nuly).



Obr. 36. Kmitočtová charakteristika obrazového zosilňovača.



Obr. 37. Pripojenie EV pri ladení ZMF



Obr. 38. Pripojenie EV pri ladení PD.

c) Nastavenie potlačenia amplitúdovej modulácie.

Generátor 6,5 MHz zostáva zapojený na mernom bode 2.5. EV a osciloskop pripojíme na merný bod 2.12 a zem. Úroveň výstupného napäťia z generátora nastavíme tak, aby EV ukazoval výchylku 4 – 5 V. Generátor prepneeme na amplitúdovú moduláciu, ktorú pozorujeme na osciloskope. Otáčaním potenciometra P 23 nastavíme na osciloskope minimálnu úroveň napäťia od amplitúdovej modulácie. Vypneme amplitúdovú moduláciu a opäť skontrolujeme nastavenie maxima primáru PD (cievka L 234) podľa bodu 4.6a, tiež skontrolujeme nastavenie „nuly“ PD podľa bodu 4.6b.

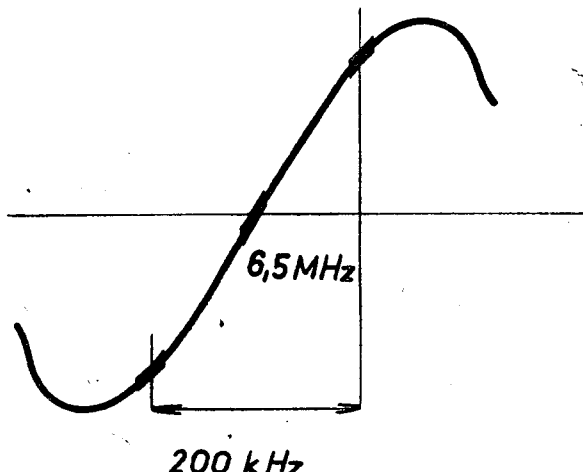
d) Kontrola nastavenia PD.

Rozmietač 6,5 MHz so značkami 6,5 MHz \pm 100 kHz pripojíme na merný bod 2.5, výstupné napätie upravíme na 10 mV. Osciloskop pripojíme na merný bod 2.12 a zem. Tvar krivky „S“ má zodpovedať krivke nakreslenej na obr. 39. Tvar krivky môžeme opraviť poštočením jadier cievok L 234 a L 236.

4. 7. KONTROLA NASTAVENIA ROZKLADOVÝCH OBVODOV.

a) Nastavenie obvodu plnoautomatickej riadkovej synchronizácie.

Na anténné zdierky pripojíme televízny signál, výstup porovnávacieho obvodu (merný bod 3.6) skra-



Obr. 39. Frekvenčná charakteristika pomerového detektora – „S“ krivka.

tujeme na kostru. Pomocou jadra cievky L 302 + L 302' zrovnávame frekvenciu sínusoscilátora s frekvenciou synchronizačných impulzov; na tienitku dostaneme obraz labilný vo vodorovnom smere. Odstráňme skrat výstupu porovnávacieho obvodu a skratujeme vstup separátoru (merný bod 3.1) na kostru. Potenciometrom P 31 znova zrovnáme frekvenciu sínusoscilátora s frekvenciou synchronizačných impulzov; na tienitku dostaneme obraz labilný v obidvoch smeroch. Po odstránení skratu musí byť obraz zasynchronizovaný. Správne fázové umiestnenie obrazu do rastra sa prevedie pomocou jadra cievky L 401 pri zmenšenom vodorovnom rozmere tak, aby bolo vidieť okraje rastra. Správne nastavenie je také, pri ktorom na obidvoch okrajoch obrazu je odrezaná rovnaká časť vodorovných šípiek. (2x 7 pruhov). Nakoniec sa znova dostaví správny vodorovný rozmer (2 x 5 pruhov).

Poznámka: Pred správnym fázovým nastavením obrazu do rastra je potrebné, aby bol správne nastavený obvod KAVC (pri nesprávnom nastavení môže dôjsť k posunutiu obrazu doprava).

b) Kontrola plnoautomatickej riadkovej synchronizácie.

Kanálový volič prepneeme na kanál bez signálu a cca po dvoch sekundách prepneeme späť na kanál, na ktorom prijíname TV signál. Okamžite musí naskočiť zasynchronizovaný obraz. Potom prijímač vypneme, počkáme asi 5 min. a opäť zapneme. Po nažhavení sa musí objavíť zasynchronizovaný obraz.

c) Nastavenie linearity a rozmeru obrazu vodorovné.

1. Pomocou jadra cievky L 402 nastavíme čo najlineárnejší pri čo najširšom rozmere (dobrá linearita vychádza aj pri inej polohe jadra, pričom je však rozmer úzky, toto nesprávne nastavenie by ohrozilo životnosť koncového stupňa riadkového rozkladu).

2. Jadro cievky L 405 (rozmer, vodorovne) zaskrutkujeme tak hlboko, že celé jadro včítane závitovej časti je práve zakryté kostričkou cievky. Potenciometrom P 42 (pracovný bod koncového stupňa horizontálneho rozkladu) nastavíme vodorovný rozmer

ZOZNAM NÁHRADNÝCH DIELOV

5. 1. ELEKTRICKÉ DIELY

a) Odpory.

Pozícia	Druh	Hodnota Ohm	Tolerancia ± %	Výkon W	Objednacie číslo
R 1	vrstvový	300	5	0,5	TR 144 300/B
R 2	miniatúrny	3,3 k	10	0,125	TR 112a 3k3/A
R 3	miniatúrny	3,3 k	10	0,125	TR 112a 3k3/A
R 101	miniatúrny	10 k		0,125	TR 112a 10 k
R 102	miniatúrny	100	10	0,125	TR 113a 100/A
R 103	miniatúrny	0,56 M	10	0,125	TR 112a M56/A
R 104	miniatúrny	0,56 M	10	0,125	TR 112a M56/A
R 105	vrstvový	1 k		0,25	TR 114 1 k
R 106		7 k - 10 k			4 PA 681 00
R 107		7 k - 10 k			4 PA 681 00
R 108		7 k - 10 k			4 PA 681 00
R 109		15 k - 30 k			4 PA 681 01
R 110	miniatúrny	0,22 M		0,125	TR 112a M22
R 111	miniatúrny	6,8 k		0,125	TR 112a 6 k 8
R 112	vrstvový	33 k		0,5	TR 115 33 k
R 113	miniatúrny	22 k		0,125	TR 112a 22 k
R 114		7 k - 10 k			TR 116 18 k/A
R 115	vrstvový	18 k	10	1	TR 112a 10
R 116	miniatúrny	10		0,125	TR 114 1 k
R 117	vrstvový	1 k		0,25	TR 112a 2k7/A
R 201	miniatúrny	2,7k	10	0,125	TR 112a 82k/A
R 202	miniatúrny	82 k	10	0,125	TR 112a 22/A
R 203	miniatúrny	22	10	0,125	TR 112a 120/A
R 204	miniatúrny	120	10	0,125	TR 144 22k/A
R 205	vrstvový	22 k	10	0,125	TR 112a 6k8/A
R 206	miniatúrny	6,8 k	10	0,125	WK650 53 560/A
R 207	miniatúrny	560	10	0,25	TR 112a 18 k/A
R 208	miniatúrny	18 k	10	0,125	TR 112a 6k8/A
R 209	miniatúrny	6,8 k	10	0,125	TR 112a 220/A
R 210	miniatúrny	220	10	0,125	WK650 53 560/A
R 211	miniatúrny	560	10	0,25	TR 112a 1k8
R 212	miniatúrny	1,8 k	10	0,125	TR 112a 220/A
R 213	miniatúrny	220	10	0,125	TR 112a 15k/A
R 214	miniatúrny	15 k	10	0,125	WK 65053560/A
R 215	miniatúrny	560	10	0,25	TR 112a 47 k
R 220	miniatúrny	47 k		0,125	WK 65053 15k/A
R 221	vrstvový	15 k	10	0,25	TR 151 2k7/B
R 222	vrstvový	2,7 k	5	0,25	TR 112a 27/A
R 224	miniatúrny	27	10	0,125	TR 112a 12 k
R 225	miniatúrny	12 k		0,125	WK 65053 22k/A
R 226	vrstvový	22 k	10	0,25	TR 510 3k9/A
R 227	drót. smaltovaný	3,9 k	10	6	TR 635 1k/A
R 228	drót. smaltovaný	1 k	10	1	TR 151 3k9/A
R 229	vrstvový	3,9 k	10	0,25	TR 153 27k/A
R 230	vrstvový	27 k	10	1	TR 144 M33/A
R 231	vrstvový	0,33 M	10	0,5	WK 65053 5k6/A
R 232	vrstvový	5,6 k		0,250	TR 112a 470
R 233	miniatúrny	470		0,125	TR 145 7M5/B
R 234	vrstvový	7,5 M	5	0,5	TR 112a M47/A
R 235	miniatúrny	0,47 M	10	0,125	TR 144 M12/A
R 236	vrstvový	0,12 M	10	0,5	TR 112a M47/A
R 237	miniatúrny	0,47 M	10	0,125	TR 112a 12k/A
R 240	miniatúrny	12 k	10	0,125	TR 144 M27/A
R 241	tmelený	0,27 M	10	0,5	TR 112a 150
R 242	miniatúrny	150		0,125	TR 146 M1/A
R 243	vrstvový	0,1 M	10	1	TR 112a 1 k
R 244	miniatúrny	1 k		0,125	TR 144 M22/A
R 245	vrstvový	0,22 M	10	0,5	TR 112a 12k/A
R 246	miniatúrny	12 k	10	0,125	TR 144 M22/A
R 247	vrstvový	0,22 M	10	0,5	TR 146 68k/A
R 248	vrstvový	68 k	10	1	TR 112a 150
R 249	miniatúrny	150		0,125	TR 112a 47
R 250	miniatúrny	47		0,125	TR 112a 270/A
R 251	miniatúrny	270	10	0,125	

Pozícia	Druh	Hodnota Ohm	Tolerancia ± %	Výkon W	Objednacie číslo
R 252	miniatúrny	47 k	10	0,125	TR 112a 47k/A
R 253	miniatúrny	15 k	10	0,125	TR 112a 15k/A
R 254	miniatúrny	22 k	10	0,125	TR 112a 22k/A
R 255	miniatúrny	18 k	10	0,125	TR 112a 18k/A
R 301	vrstvový	2,2 M		0,5	TR 144 2M2
R 302	miniatúrny	0,22 M		0,125	TR 112a M 22
R 303	vrstvový	1,5 M		0,5	TR 144 1M5
R 304	vrstvový	0,82 M	10	0,5	TR 144 M82/A
R 305	vrstvový	82 k	5	1	TR 153 82k/B
R 306	miniatúrny	15 k		0,125	TR 112a 15 k
R 307	miniatúrny	0,15 M	10	0,125	TR 112a M15/A
R 308	vrstvový	15 k	10	1	TR 153 15k/A
R 309	miniatúrny	15 k	10	0,125	TR 112a 15 k
R 310	vrstvový	27 k	5	0,5	TR 144 27k/B
R 311	miniatúrny	39 k	10	0,125	TR 112a 39k/A
R 312	miniatúrny	39 k	10	0,125	TR 112a 39k/A
R 313	vrstvový	22 k	5	0,5	TR 144 22k/B
R 314	miniatúrny	1,8 M	10	0,125	TR 113 1M8/A
R 315	miniatúrny	1,8 M	10	0,125	TR 112a 15 k
R 316	miniatúrny	15 k		0,125	TR 112 56 k/A
R 317	miniatúrny	56 k	10	0,125	TR 112a 22 k
R 318	miniatúrny	22 k		0,125	TR 112a 1 k
R 319	miniatúrny	1 k		0,5	TR 146 3k9/A
R 320	vrstvový	3,9 k	10	0,5	TR 144 22 k
R 321	vrstvový	22 k	10	0,5	TR 144 M82/A
R 322	vrstvový	0,82 M	10	0,5	TR 152 33 k/A
R 323	vrstvový	33 k	10	0,125	TR 112 M 15
R 324	miniatúrny	0,15 M	5	0,5	TR 144 510/B
R 325	vrstvový	510		0,125	TR 112a M 18/A
R 330	miniatúrny	0,18 M	10	0,125	TR 112a 47k/A
R 331	miniatúrny	47 k	10	0,125	TR 112a 39 k
R 332	miniatúrny	39 k		0,5	TR 144 M2/B
R 333	miniatúrny	0,2 M		0,5	TR 144 M 59/A
R 335	vrstvový	0,39 M	10	0,5	TR 145 1 M/A
R 336	vrstvový	1 M	10	0,5	TR 153 M68/A
R 337	vrstvový	0,68 M	10	1	TR 146 1M8/A
R 338	vrstvový	1,8 M	10	1	TR 146 M 56/A
R 339	vrstvový	0,56 M	10	1	TR 146 M 56/A
R 340	vrstvový	0,1 M	10	0,125	TR 112a 1 M
R 341	miniatúrny	1 M		0,5	TR 145 8M2/A
R 342	vrstvový	8,2 M	10	0,125	TR 112a 1 k
R 343	miniatúrny	1 k		2	TR 636 390/B
R 344	drót. smaltovaný	390	5	1	TR 146 5k6/A
R 345	vrstvový	5,6 k	10	1	TR 153 22 k
R 346	vrstvový	22 k		0,5	TR 145 10 M
R 356	vrstvový	10 M		0,125	TR 112 150/A
R 357	miniatúrny	150	10	0,5	TR 144 M 33
R 358	vrstvový	0,33 M		0,125	TR 112a M 68
R 359	miniatúrny	0,68 M		0,125	TR 112a 10k
R 360	miniatúrny	10 k		0,5	TR 144 120/A
R 361	vrstvový	120	10	0,125	TR 112a 8k2/A
R 362	miniatúrny	8,2 k	10	15	TR 509 150/B
R 401	drót. tmelený	150	5	10	TR 508 10/A
R 402	drót. tmelený	10		10	TR 508 300/B
R 403	drót. tmelený	300	5	6	TR 507 470/B
R 404	drót. tmelený	470	5	1	TR 505 1k3/B
R 405	drót. tmelený	1,3 k	5	6	TR 507 620/B
R 406	drót. tmelený	620		2	TR 506 2k2/A
R 407	drót. tmelený	2,2 k	10	2	TR 506 1k3/B
R 408	drót. tmelený	1,3 k	5	0,125	TR 112a 1 k
R 411	miniatúrny	1 k		0,5	TR 144 M 47
R 412	vrstvový	0,47 M		1	TR 146 M 47
R 413	vrstvový	0,47 M		6	TR 507 2k2
R 414	drót. tmelený	2,2 k		1	TR 146 1 M
R 415	vrstvový	1 M		1	TR 146 1 M
R 416	vrstvový	1 M		1	TR 146 1 k 5
R 417	vrstvový	1,5 k		1	TR 146 82 k/A
R 418	vrstvový	82 k		0,5	TR 144 22 k/A
R 421	vrstvový	22 k		0,125	TR 112a 18 k/A
R 422	miniatúrny	18 k	10	0,125	TR 121a 2k2/A
R 423	miniatúrny	2,2 k	10	0,125	TR 112a 10k
R 424	miniatúrny	10 k	10	0,125	TR 144 M 33
R 425	vrstvový	0,33 M		0,5	

Pozícia	Druh	Hodnota Ohm	Tolerancia $\pm \%$	Výkon W	Objednacie číslo
R 428	miniatúrny	270		0,125	TR 112 270
R 429	vrstvový	68 k		0,5	TR 145 68 k
R 430	miniatúrny	82 k		0,125	TR 112a 82 k
R 431	miniatúrny	2,7 k	10	0,125	TR 112 2k7/A
R 432	miniatúrny	0,15 M		0,125	TR 112a M15
R 506	vrstvový	3,3 k		0,25	TR 114 3 k 3
R 541	vrstvový	15		0,5	TR 114 15

b) Potenciometre

Pozícia	Hodnota Ohm	Funkcia	Objednacie číslo
P 21	0,47 M	jas hrubo	WN 790 30 M 47
P 22	22 k	pracovný bod KAVC	WN 790 30 22 k
P 23	3,3 k	potlačenie AM	WN 790 30 3 k 3
P 31	1 M	symetria porov. obvodu	WN 790 30 1 M/20 %
P 32	2,2 M	rozmer zvisle	WN 790 29 2 M 2
P 33	0,22 M	linearita zvisle hore	WN 790 30 M 22
P 41	0,25 M	snímkový kmitočet	TP 280 M 25/N
P 42	1 M	pracovný bod koncového stupňa horiz. rozkladu	WN 790 26 1 M
P 43	0,5 M	linearita zvisle	TP 280 M 5/N
P 44	25 k	kontrast	TP 280 25 k/F
P 45	0,25 M	jas	TP 280 M 25/N
P 46	0,25 M	hlasitosť	TP 280 M 25/G
P 47	0,25 M	tónová clona	TP 280 M 25/N

c) Ostatné odpor

Pozícia	druh	objednacie číslo
FO 1 k 5	plošný fotoodpor	WK 650 35 1k5
NZO 1	napäťove závislý odpor	Si 2016
NZO 2	napäťove závislý odpor	SV 1300/10-9 \pm 10 %
W 1	termistor	TR 003 - 750
W 10	termistor	TR 101 - 32

d) Kondenzátory

Pozícia	Druh	Hodnota	Tolerancia $\pm \%$	Napätie V	Objednacie číslo
C 101	keram. bezpeč.	82 pF		250	5 WK 9500082
C 102	keram. bezpeč.	82 pF		250	5 WK 950 00 82
C 103	keram. steblový	47 pF	10	160	TK 411 47/A
C 104	keram. steblový	10 pF	10	250	TK 409 10/A
C 105	keram. steblový	18 pF	10	250	TK 413 18/A
C 106	keram. perlový	5,6 pF	10	350	TK 722 5j6/A
C 107	keram. perlový	2,2 pF	20	750	TK 204 2j2
C 108	keram. priechodkový	3 300 pF	+80 - 0	250	TK 5833k3 +80-0
C 109	keram. plochý	3 300 pF	+80 - 0	250	5 WA 237 02
C 110	keram. plochý	3 300 pF	+80 - 0	250	5 WA 237 02
C 111	trimer	1,5 - 5,5 pF		250	5 WA 923 01
C 112	keram. plochý	3 300 pF	+80 - 0	250	5 WA 237 02
C 113	drôtový	3 pF			4PK 700 00
C 117	dolad. oscilátor				
C 118	trimer	1,5 - 5,5 pF		250	5 WA 923 01
C 119	keram. steblový	18 pF	10	250	TK 409 18/A
C 120	trimer	1,5 - 5,5 pF		250	5 WA 923 01
C 121	keram. plochý	3 300 pF	+80 - 0	250	5 WA 237 02
C 123	keram. trubičkový	8,2 pF	+0 - 20	500	TK 334 8j2 +0 -20

Pozícia	Druh	Hodnota	Tolerancia ± %	Napätie V	Objednacie číslo
C 318	polystyrénový válcový	2700 pF	10	400	TC 284 2k7/A
C 319	keram. trubičkový	6800	-20 +50	160	TK 440 6k8/QM
C 320	keram. trubičkový	1000 pF	20	350	TK 343 1k/M
C 321	keram. trubičkový	56 pF	20	350	TK 332 56
C 330	keram. trubičkový	680 pF	20	250	TK 425680/M
C 331	keram. trubičkový	1500 pF	20	250	TK 425 1k5/M
C 332	keram. trubičkový	1500 pF	20	250	TK 425 1k5/M
C 333	papierový epoxidový	22 000 pF	20	160	TC 191 22k/A
C 334	válcový zastrieknutý	22 000 pF	-20 +30	700	TC 183 22k
C 335	MP válcový zastrieknutý	0,1 μ F	-20 +30	400	TC 183 M1
C 336	MP válcový zastrieknutý	0,1 μ F	-20 +30	400	TC 183 M1
C 337	MP válcový zastrieknutý	10 000 pF	-20 +50	630	TC 184 10k
C 338	MP válcový zastrieknutý	10 000 pF	-20 +50	400	TC 183 10k
C 339	MP válcový zastrieknutý	33 000 pF	-20 +30	630	TC 184 33k
C 340	elektrolytický	100 μ F	-10 +100	25	TC 964 100M
C 341	elektrolytický	10 μ F	-10 +100	350	TC 969 10M
C 342	MP válcový zastrieknutý	22 000 pF	-20 +30	630	TC 184 22k
C 346	papierový epoxidový	47 000 pF	20	160	TC 191 47k
C 347	papierový epoxidový	47 000 pF	20	400	TC 193 47k
C 348	keram. trubičkový	39 pF	10	500	TK 322 39/A
C 349	elektrolytický	50 μ F	-10 +100	25	TC 96450M
C 401	odrušovací	0,1 μ F	-10 +55	250	WK 71940M1
C 402	odrušovací	0,1 μ F	-10 +55	250	WK 71940M1
C 403	elektrolytický	200 μ F		350	TC 519/zG2
C 404	elektrolytický	100 μ F	+ 100 μ F	350	TC 519/zG1+G1
C 405	elektrolytický	100 μ F	+ 100 μ F	350	TC 519/zG1+G1
C 406	elektrolytický	100 μ F	+ 100 μ F	350	TC 519/zG1+G1
C 410	MP válcový zastrieknutý	3 300 pF	-20 +50	630	TC 184 3k3
C 411	keram. trubičkový	3 300 pF	-20 +80	350	TK 358 3k3
C 415	MP válcový zastrieknutý	2 200 pF	-20 +30	400	TC 183 22k
C 416	keram. trubičkový	3 300 pF	-20 +80	350	TK 358 3k3
C 417	keram. trubičkový	3 300 pF	-20 +80	350	TK 358 3k3
C 418	MP válcový zastrieknutý	0,1 μ F	-20 +30	400	TC 183 M1
C 419	papierový epoxidový	0,1 μ F	20	1000	TC 195 M1
C 420	papierový epoxidový	0,1 μ F	20	1000	TC 195 M1
C 421	keram. pulzný	330 pF	20	2000ss	TK 910 330
C 422	keram. pulzný	150 pF	20	2000ss	TK 910 150
C 423	MP valcový zastrieknutý	0,33 μ F	20	250	TC 182 M33
C 424	MP válcový zastrieknutý	0,1 μ F	-20 +30	250	TC 182 M1
C 430	keram. trubičkový	4700 pF	20	250	TK 425 4k7/M
C 431	papier. zastrieknutý	3900 pF	10	250	TC 173 3k9/A
C 432	MP valcový zastrieknutý	0,1 μ F	-20 +30	400	TC 183 M1
C 433	odrušovací	5000 pF	-10 +55	250	WK 72469/5k
C 435	MP valcový zastrieknutý	0,1 μ F	20	160	TC 181 M1
C 436	elektrolytický	2 μ F			TC 967 2M
C 437	keram. trubičkový	27	5	250	TK 417 27/B
C 438	keram. trubičkový	10	10	250	TK 417 10/A
C 439	elektrolytický	10 μ F			TC 964 10M
C 440	elektrolytický	10 μ F			TC 968 10M
C 508	keram. pulzný	47 pF	10	3000ss	TK 911 47/A
C 509	keram. pulzný	100 pF	10	3000ss	TK 911 100/A

e) cievky, tlmičky, transformátory

Pozícia	Názov	Objednacie číslo	Pozícia	Názov	Objednacie číslo
L 201			L 213	pásmový filter	
L 202	pásmový filter		L 214	OMF 4 + detektor	
L 203	OMF 1b	6 PK 854 12	L 215	zostavený	6 PK 854 14
L 204	zostavený				
L 205			L 220	kompenzačná cievka	6 PK 605 01
L 206	pásmový filter		L 221	kompenzačná cievka	6 PK 585 01
L 207	OMF 2	6 PK 854 12	L 222	kompenzačná cievka	6 PK 585 05
L 208	zostavený		L 226	kompenzačná cievka	6 PK 585 04
L 209			L 227	kompenzačná cievka	6 PK 593 46
L 210	pásmový filter		L 228	kompenzačná cievka	6 PK 585 06
L 211	OMF 3				
L 212	zostavený	6 PK 854 13	L 225		
			L 230	ZMF 1 zostavená	6 PK 854 08
			L 231		

Pozícia	Druh	Hodnota	Tolerancia ± %	Napätie V	Objednacie číslo
C 318	polystyrénový válcový	2700 pF	10	400	TC 284 2k7/A
C 319	keram. trubičkový	6800	-20 +50	160	TK 440 6k8/QM
C 320	keram. trubičkový	1000 pF	20	350	TK 343 1k/M
C 321	keram. trubičkový	56 pF	20	350	TK 332 56
C 330	keram. trubičkový	680 pF	20	250	TK 425680/M
C 331	keram. trubičkový	1500 pF	20	250	TK 425 1k5/M
C 332	keram. trubičkový	1500 pF	20	250	TK 425 1k5/M
C 333	papierový epoxydový	22 000 pF	20	160	TC 191 22k/A
C 334	válcový zastrieknutý	22 000 pF	-20 +30	700	TC 183 22k
C 335	MP válcový zastrieknutý	0,1 µF	-20 +30	400	TC 183 M1
C 336	MP válcový zastrieknutý	0,1 µF	-20 +30	400	TC 183 M1
C 337	MP válcový zastrieknutý	10 000 pF	-20 +50	630	TC 184 10k
C 338	MP válcový zastrieknutý	10 000 pF	-20 +50	400	TC 183 10k
C 339	MP válcový zastrieknutý	33 000 pF	-20 +30	630	TC 184 33k
C 340	elektrolytický	100 µF	-10 +100	25	TC 964 100M
C 341	elektrolytický	10 µF	-10 +100	350	TC 969 10M
C 342	MP válcový zastrieknutý	22 000 pF	-20 +30	630	TC 184 22k
C 346	papierový epoxydový	47 000 pF	20	160	TC 191 47k
C 347	papierový epoxydový	47 000 pF	20	400	TC 193 47k
C 348	keram. trubičkový	39 pF	10	500	TK 322 39/A
C 349	elektrolytický	50 µF	-10 +100	25	TC 96450M
C 401	odrušovací	0,1 µF	-10 +55	250	WK 71940M1
C 402	odrušovací	0,1 µF	-10 +55	250	WK 71940M1
C 403	elektrolytický	200 µF		350	TC 519/zG2
C 404	elektrolytický	100 µF + 100 µF		350	TC 519/zG1+G1
C 405	elektrolytický	100 µF + 100 µF		350	TC 519/zG1+G1
C 406	elektrolytický	100 µF + 100 µF		350	TC 519/zG1+G1
C 410	MP válcový zastrieknutý	3 300 pF	-20 +50	630	TC 184 3k3
C 411	keram. trubičkový	3 300 pF	-20 +80	350	TK 358 3k3
C 415	MP válcový zastrieknutý	2 200 pF	-20 +30	400	TC 183 22k
C 416	keram. trubičkový	3 300 pF	-20 +80	350	TK 358 3k3
C 417	keram. trubičkový	3 300 pF	-20 +80	350	TK 358 3k3
C 418	MP válcový zastrieknutý	0,1 µF	-20 +30	400	TC 183 M1
C 419	papierový epoxydový	0,1 µF	20	1000	TC 195 M1
C 420	papierový epoxydový	0,1 µF	20	1000	TC 195 M1
C 421	keram. pulzný	330 pF	20	2000ss	TK 910 330
C 422	keram. pulzný	150 pF	20	2000ss	TK 910 150
C 423	MP valcový zastrieknutý	0,33 µF	20	250	TC 182 M33
C 424	MP valcový zastrieknutý	0,1 µF	-20 +30	250	TC 182 M1
C 430	keram. trubičkový	4700 pF	20	250	TK 425 4k7/M
C 431	papier. zastrieknutý	3900 pF	10	250	TC 173 3k9/A
C 432	MP valcový zastrieknutý	0,1 µF	-20 +30	400	TC 183 M1
C 433	odrušovací	5000 pF	-10 +55	250	WK 72469/5k
C 435	MP valcový zastrieknutý	0,1 µF	20	160	TC 181 M1
C 436	elektrolytický	2 µF			TC 967 2M
C 437	keram. trubičkový	27	5	250	TK 417 27/B
C 438	keram. trubičkový	10	10	250	TK 417 10/A
C 439	elektrolytický	10 µF			TC 964 10M
C 440	elektrolytický	10 µF			TC 968 10M
C 508	keram. pulzný	47 pF	10	3000ss	TK 911 47/A
C 509	keram. pulzný	100 pF	10	3000ss	TK 911 100/A

e) cievky, tlmičky, transformátory

Pozícia	Názov	Objednacie číslo	Pozícia	Názov	Objednacie číslo
L 201			L 213	pásmový filter	
L 202	pásmový filter		L 214	OMF 4 + detektor	6 PK 854 14
L 203	OMF 1b	6 PK 854 12	L 215	zostavený	
L 204	zostavený		L 220	kompenzačná cievka	6 PK 605 01
L 205			L 221	kompenzačná cievka	6 PK 585 01
L 206	pásmový filter		L 222	kompenzačná cievka	6 PK 585 05
L 207	OMF 2	6 PK 854 12	L 226	kompenzačná cievka	6 PK 585 04
L 208	zostavený		L 227	kompenzačná cievka	6 PK 593 48
L 209			L 228	kompenzačná cievka	6 PK 585 06
L 210	pásmový filter		L 225		
L 211	OMF 3		L 230	ZMF 1 zostavená	6 PK 854 08
L 212	zostavený	6 PK 854 13	L 231		

Pozícia	Názov	Objednacie číslo	Pozícia	Názov	Objednacie číslo
L 232	ZMF 2 zostavená	6 PK 854 09	L 404	tlmivka	6 PK 593 32
L 233			L 405	cievka rozmeru	6 PK 593 33
L 234			L 527		
L 235	PD zostavený	6 PK 854 10	L 528	vychyľovacia jednotka	6 PN 050 07
L 236			L 535		
L 236'			L 536		
L 302	sínus oscilátor	6 PK 593 45	TR 1	výstupné trafo horizontálne	6 PN 350 05
L 302'			TR 2	výstupné trafo vertikálne	9WN 676 09
L 401	posuv. obrazu horizont.	6 PK 585 03	TR 3	blocking trafo	9WN 666 06
L 402	linearita vodorovne	6 PK 593 27	TR 4	výst. trafo zvuku	9WN 676 04.2
L 403	tlmivka	6 PK 593 32	TR 5	prevodové trafo MG	9WN 674 20
			T1 1	tlmivka	6 PN 650 01

f) Elektrónky, polovidiče, poistky

Pozícia	Názov	Objednacie číslo	Pozícia	Názov	Objednacie číslo
E 1	elektrónka	PCC 88	D 1	hrotová gemáničková dióda	GA 205
E 2	elektrónka	PCF 82	D 2	hrotová gemáničková dióda	GA 204
E 3	elektrónka	EF 183	D 3	hrotová gemáničková dióda	GA 201
E 4	elektrónka	EF 80	D 4	párované hrotové germán. diody	2 GA 206
E 5	elektrónka	EF 80	D 5		2 GA 206
E 6	elektrónka	PCL 84	D 6	selénová dióda	E50C5
E 7	elektrónka	ECH 84	D 7	selénová dióda	E50C5
E 8	elektrónka	PCF 82	D 8	selénová dióda	E50C5
E 9	elektrónka	PCL 85	D 9	hrotová gemáničková dióda	GA 204
E 10	elektrónka	PCL 86	D 10	kremíkový usmerňovací blok	KA 220/05
E 11	elektrónka	PL 500	T 1	germániový P-N-P tranzistor	OC 170
E 12	elektrónka	PY 88	T 2	germániový P-N-P tranzistor	OC 170
E 13	elektrónka	DY 86			
E 14	obrazovka	A47-17W (pre 4118 U)	P0 1	tavná poistka trubičková	1,6A/250 V
		470 QQ 44 (pre 4119 U, 4121 U)	P0 2	tavná poistka trubičková	0,4A/250 V
		590 QQ 44 (pre 4218 U)			

5. 2. MECHANICKÉ DIELY**a) Pre všetky typy**

Názov	Objednacie číslo	Názov	Objednacie číslo
1 medzifrekvenčná doska zostav.	6PN 050 08	19 držiak potenciometra	6PA 683 18
2 rozkladová doska zostavená	6PN 050 09	20 držiak	6PA 633 11
3 doska 3 zostavená (nad TR 2)	6PN 050 10	21 klin detektora	6PA 400 00
4 VF diel	4PN 381 04	22 pásička	6PA 358 18
5 doska stabil. znit.	6PF 521 05	23 doladovacia os	6PA 726 07
6 poistková doska znit.	6PF 683 09	24 doladovací gombík	6PA 726 09
7 čiapčka kont. zostavená	6PF 350 05	25 prichytka	6PA 662 00
8 čiapčka kont. zostavená	6PF 350 04	26 vodítko	6PA 569 14
9 pásička s nitmi	6PF 504 32	27 izol. matica	3PA 045 09
10 pásička s nitmi	6PF 504 36	28 prichytka formy	6PA 662 01
11 sieťová súčierna dvojpr.	6PF 616 07	29 podložka	6PA 250 03
12 sieťový dvojvodík	6PF 616 06	30 podložka	6PA 303 03
13 chassis zvarené	6PF 196 00	31 skrutka	4PA 078 00
14 podložka	6PA 064 05	32 držiak chassis ľavý	6PA 668 24
15 držiak	6PA 683 16	33 držiak chassis pravý	6PA 668 25
16 otočný čap	6PA 013 00	34 tlmiaci kryt	6PA 698 13
17 držiak transformátora	6PA 635 14	35 zástrčka 5 kontaktová	6PB 000 09
18 deflektor	6PA 698 18		

b) Pre typ 4118 U

Názov	Objednacie číslo	Názov	Objednacie číslo
1 skrinka	6PF 127 22	16 os	6PA 725 02
2 zemiace lanko zostavené	6PF 050 05	17 os	6PA 725 03
3 držiak s dutinkami	6PF 683 10	18 držiak anténnych zdierok	6PA 668 33
4 doska fotoodporu zost.	6PF 516 01	19 držiak VF dielu	6PA 668 31
5 doska fotoodporu nastr.	6PF 240 00	20 gumová podložka	6PA 227 05
6 držiak nastriekaný	6PF 668 04	21 háčik	6PA 408 33
7 zadná stena	6PA 132 22	22 pridržovacia slučka	6PA 683 21
8 gombík	6PA 402 04	23 príchytky masky	6PA 668 34
9 maska	6PA 239 00	24 príchytky	6PA 643 02
10 stupnica IV. — V. pásma	6PA 398 22	25 držiak bočníka	6PA 683 20
11 lemovka masky	6PA 408 32	26 gombík voliča	6PA 403 20
12 rámk	6PA 127 20	27 pero	4PA 783 20
13 chassis bočníka	6PA 633 16	28 gombík oscilátora	6PA 402 03
14 držiak transformátora MG	6PA 643 03	29 skrutka	4PA 078 00
15 držiak	6PA 654 00		

c) Pre typ 4119 U

Názov	Objednacie číslo	Názov	Objednacie číslo
1 skrinka	6PF 127 23	14 gumová podložka	6PA 227 05
2 zemiace lanko zostavené	6PF 050 05	15 háčik	6PA 408 33
3 držiak s dutinkami	6PF 683 10	16 pridržovacia slučka	6PA 683 21
4 zadná stena	6PA 132 22	17 príchytna masky	6PA 668 34
5 gombík zostavený	6PF 401 00	18 príchytna	6PA 643 02
6 maska	6PA 239 02	19 držiak bočníka	6PA 683 20
7 lemovka masky	6PA 408 32	20 gombík voliča	6PA 403 02
8 držiak transformátora	6PA 643 05	21 pero	4PA 783 20
9 držiak	6PA 654 00	22 gombík oscilátora	6PA 402 03
10 os	6PA 725 02	23 skrutka	4PA 078 00
11 os	6PA 725 03	24 držiak ant. zdierok	6PA 683 28
12 chassis bočníka	6PA 196 04	25 príchytna bočníka	6PA 635 18
13 držiak VF dielu	6PA 668 31		

e) Pre typ 4121 U

Názov	Objednacie číslo	Názov	Objednacie číslo
1 skrinka	6PF 127 21	14 os	6PA 725 04
2 zemiace lanko zost.	6PF 050 03	15 držiak anténnych zdierok	6PA 668 36
3 doska fotoodporu zostavená	6PF 516 02	16 držiak VF dielu	6PA 668 31
4 vložka fotoodporu nastavená	6PF 240 00	17 gumová podložka	6PA 227 05
5 mriežka zlepenná	6PF 739 11	18 háčik	6PA 408 20
6 ohybný hriadeľ	6PF 704 01	19 držiak bočníka	6PA 683 22
7 zadná stena	6PA 132 22	20 gombík voliča	6PA 403 02
8 gombík zostavený	6PF 401 00	21 pero	4PA 783 20
9 ochranné sklo	6PA 698 19	22 gombík oscilátora	6PA 402 03
10 maska	6PA 127 21	23 skrutka	4PA 078 00
11 lemovací profil	6PA 999 30	24 nápis	6PA 142 37
12 chassis bočníka	6PA 633 18	25 príchytna	4PA 635 45
13 držiak	6PA 654 00		

d) Pre typ 4218 U

Názov	Objednacie číslo	Názov	Objednacie číslo
1 skrinka	6PF 127 24	9 ochranné sklo	6PA 698 25
2 zemiace lanko zostavené	6PF 050 06	10 držiak VF dielu	6PA 668 39
3 držiak anténnych zdierok	6PF 683 14	11 držiak	6PA 654 00
4 zadná stena	6PA 132 24	12 guma pod držiak	6PA 408 36
5 gombík zostavený	6PF 401 00	13 gombík voliča	6PA 403 03
6 maska nastriekaná	6PF 147 23	14 pero	6PA 783 04
7 chassis bočníka	6PF 196 03	15 gombík oscilátora	6PA 402 05
8 os	6PA 725 02	16 lemovací profil	6PA 999 31

Servis — návod OLIVER

Zmeny počas tlače a opravy.

Vo všetkých troch príložkách sa mení:
R 310 z hodnoty 22k na hodnotu 27k
R 320 z hodnoty 2k2 na hodnotu 3k9
R 333 z hodnoty M15 na hodnotu M2 (0,5 W)
R 418 z hodnoty M12 na hodnotu 82k
R 432 z hodnoty 56k na hodnotu M15
Pozičné číslo R 318 (15k) na R 316 (15k)

Číslovanie na zásuvke S2 je od ľava 5, 4, 3, 2, 1.

Vodič od zásuvky S2, označený 92, má byť 92 ž.

Vodič od kondenzátora C 422 označený 09, má byť 09 z.

OMF 1b letovacia špička spojená s C 201 má číslo 8.

OMF 1b letovacie špička spojená s R 201 má číslo 1
Napätie na R 423 má byť -1,7 V.

Napätie na anóde E 8a má byť označené hviezdičkou

Napätie na prvej mriežke E 9a má byť -28 V
U tranzistorov na pozícii T1 a T2 má byť označený emitor šípkou smerom k báze

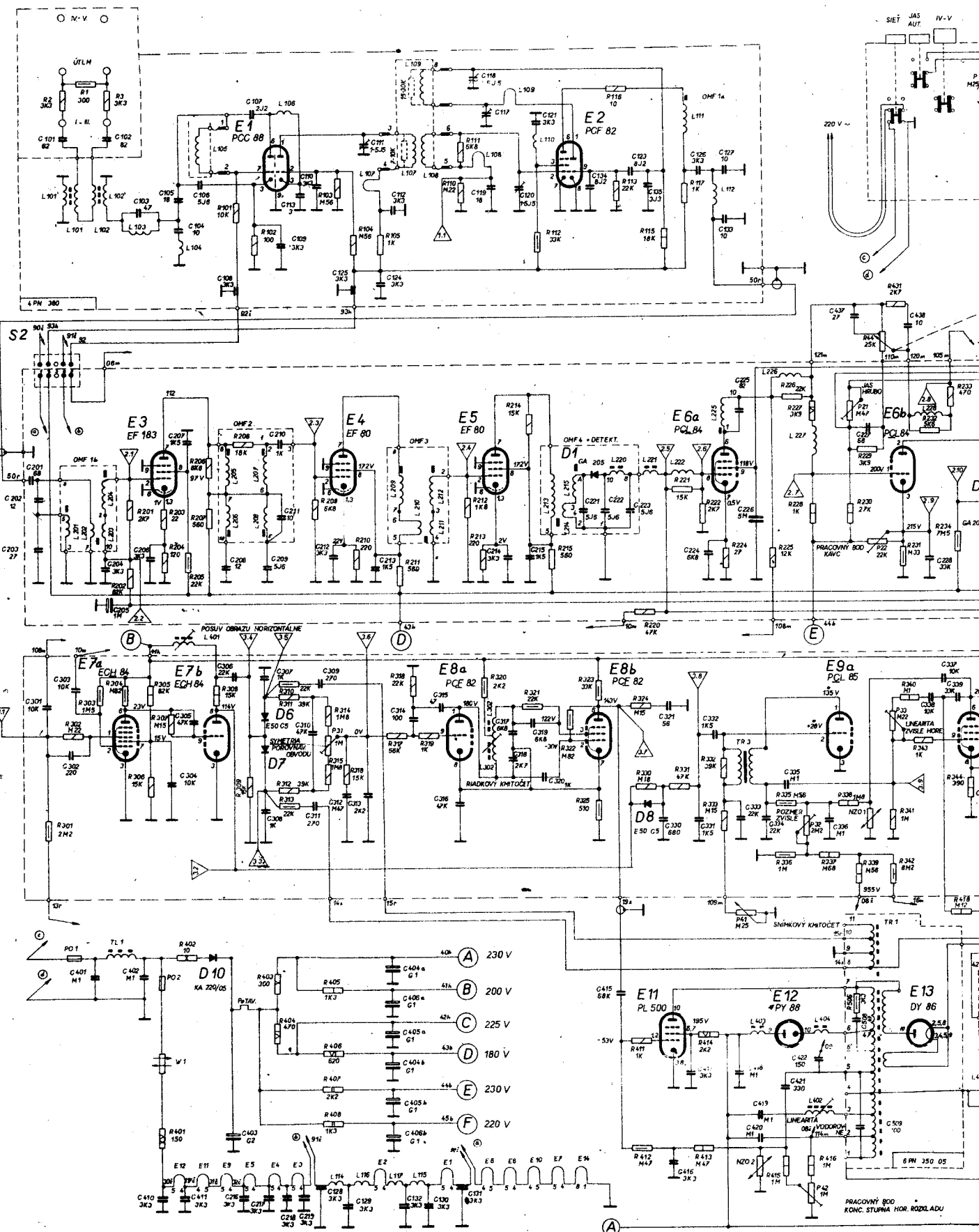
V príložkách Miriam, Blankyt a Marcela sa primiestňuje odpór R 337 (M 68) na pozícii R 339 a naopak V prílohe Miriam, Blankyt napätie na druhej mriežke obrazovky má byť 560 V.

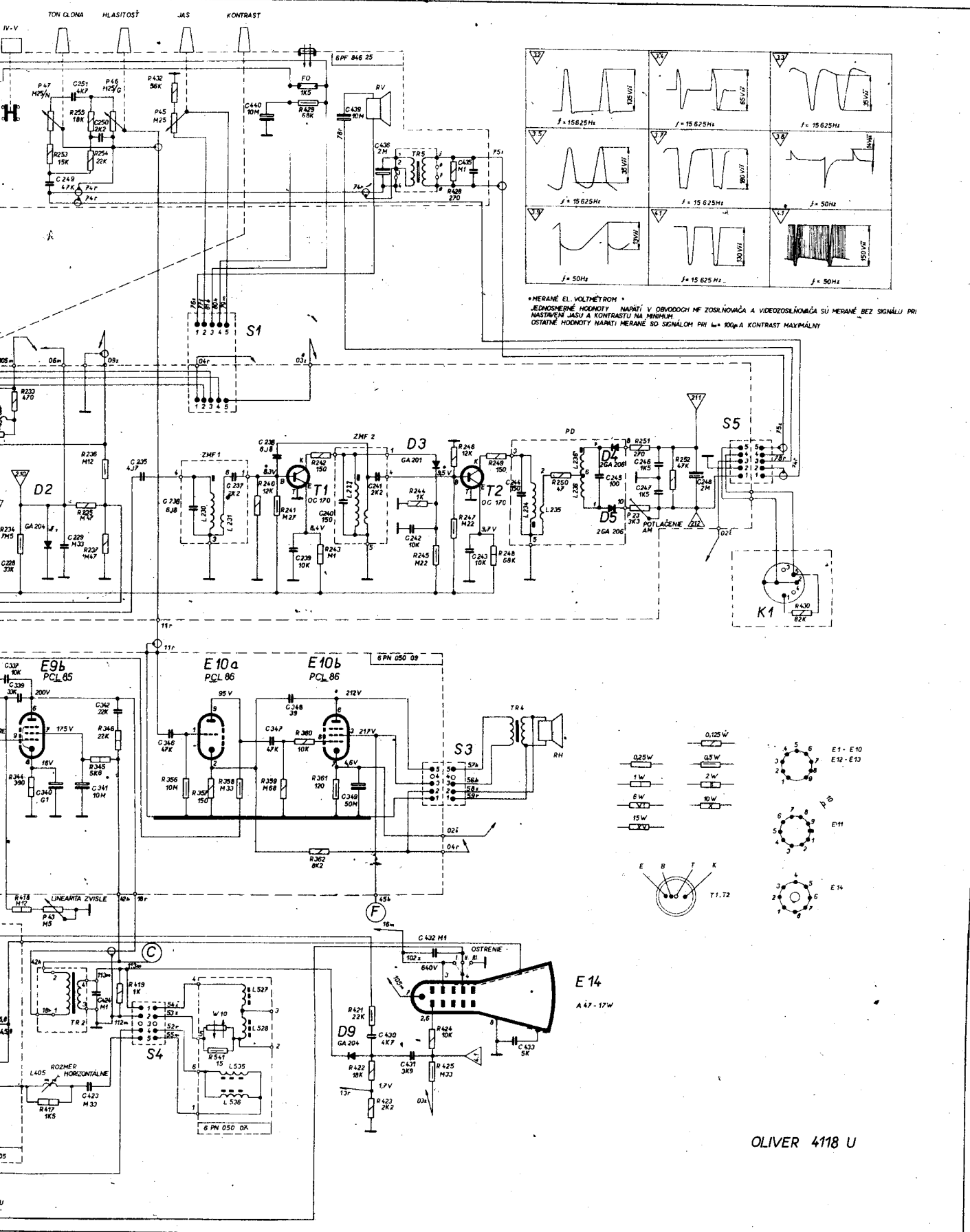
Na obrázku 15, napätie na C 307 má byť 35 V_{ss}.

Na obrázku 16a miesto U₂ má byť U₁.

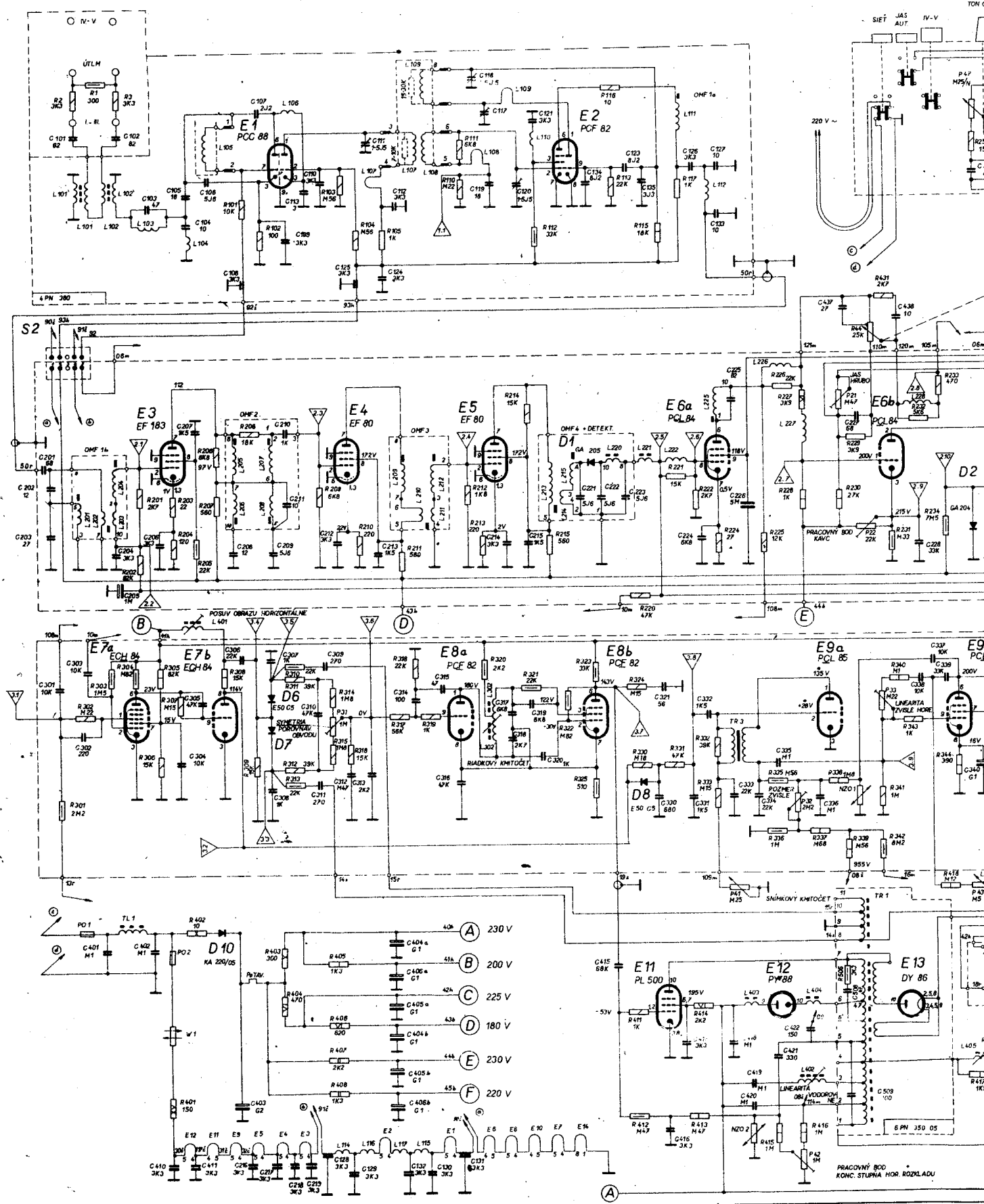
V prvých sériach TVP Marcela a Miriam budú použité na pozícii T1 zahraničné tranzistory SFT 317, alebo EFT 317. Pri použití týchto tranzistorov sa mení kondenzátor C 238 na hodnotu 12 pF.

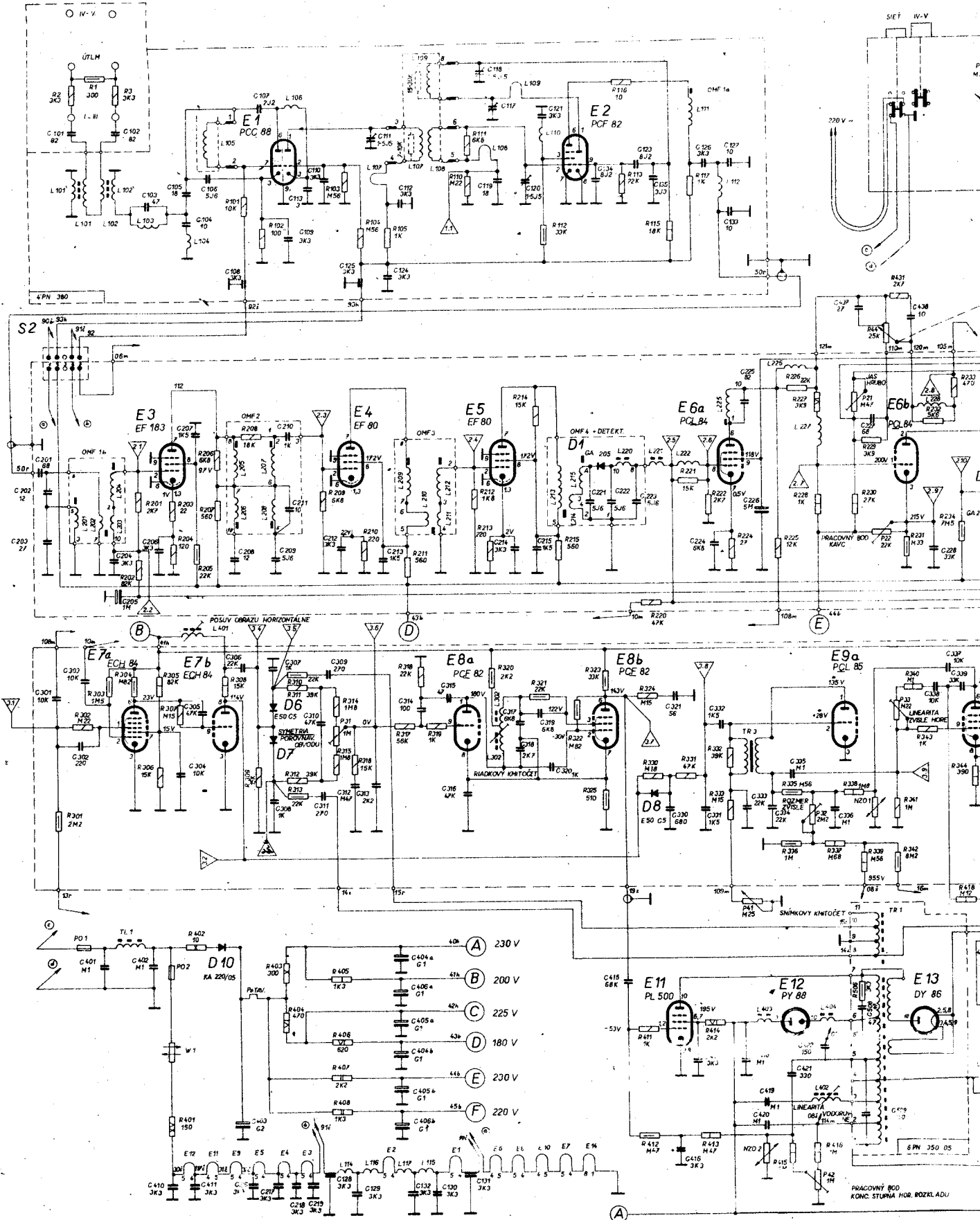
TSNP-11 816-66

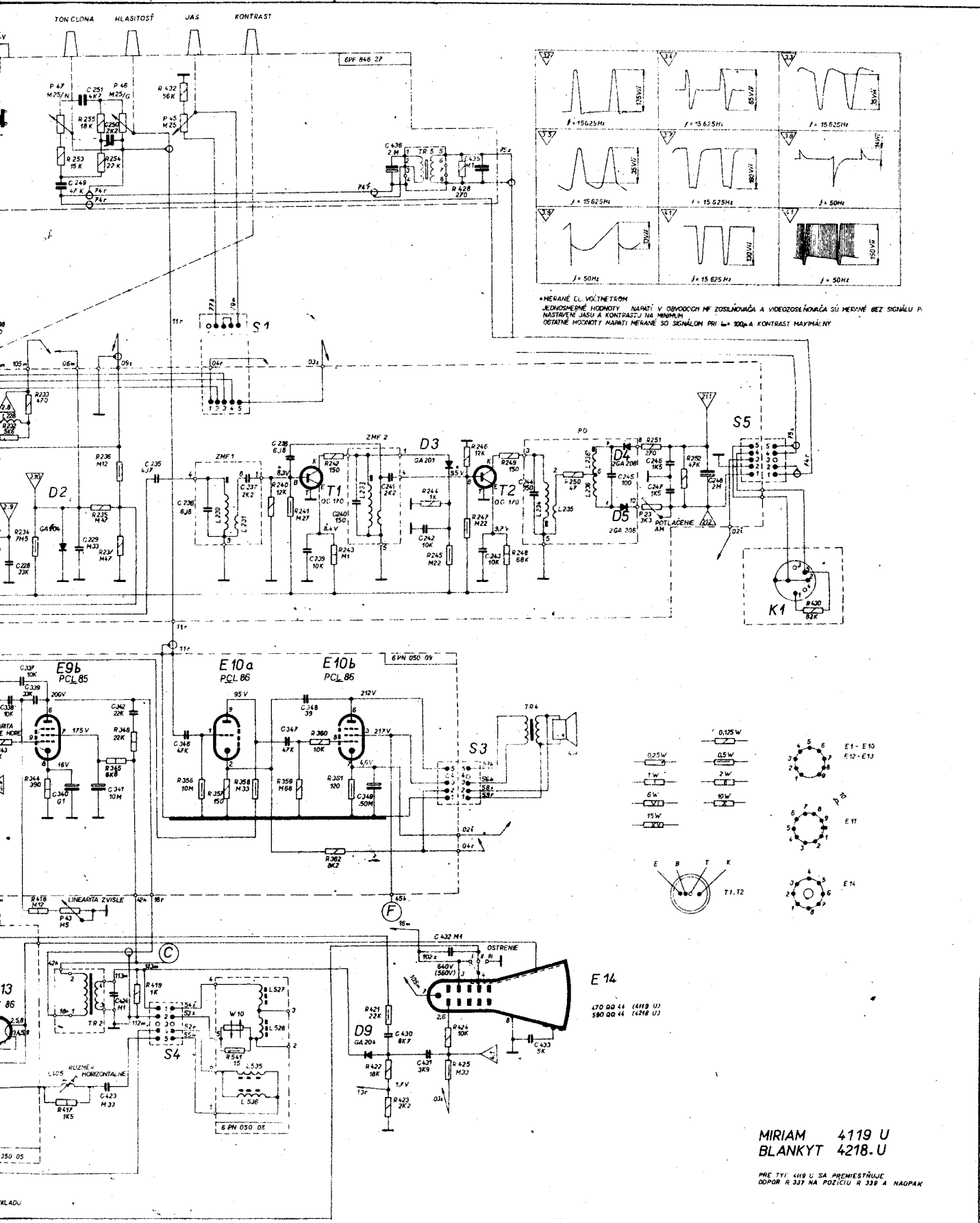


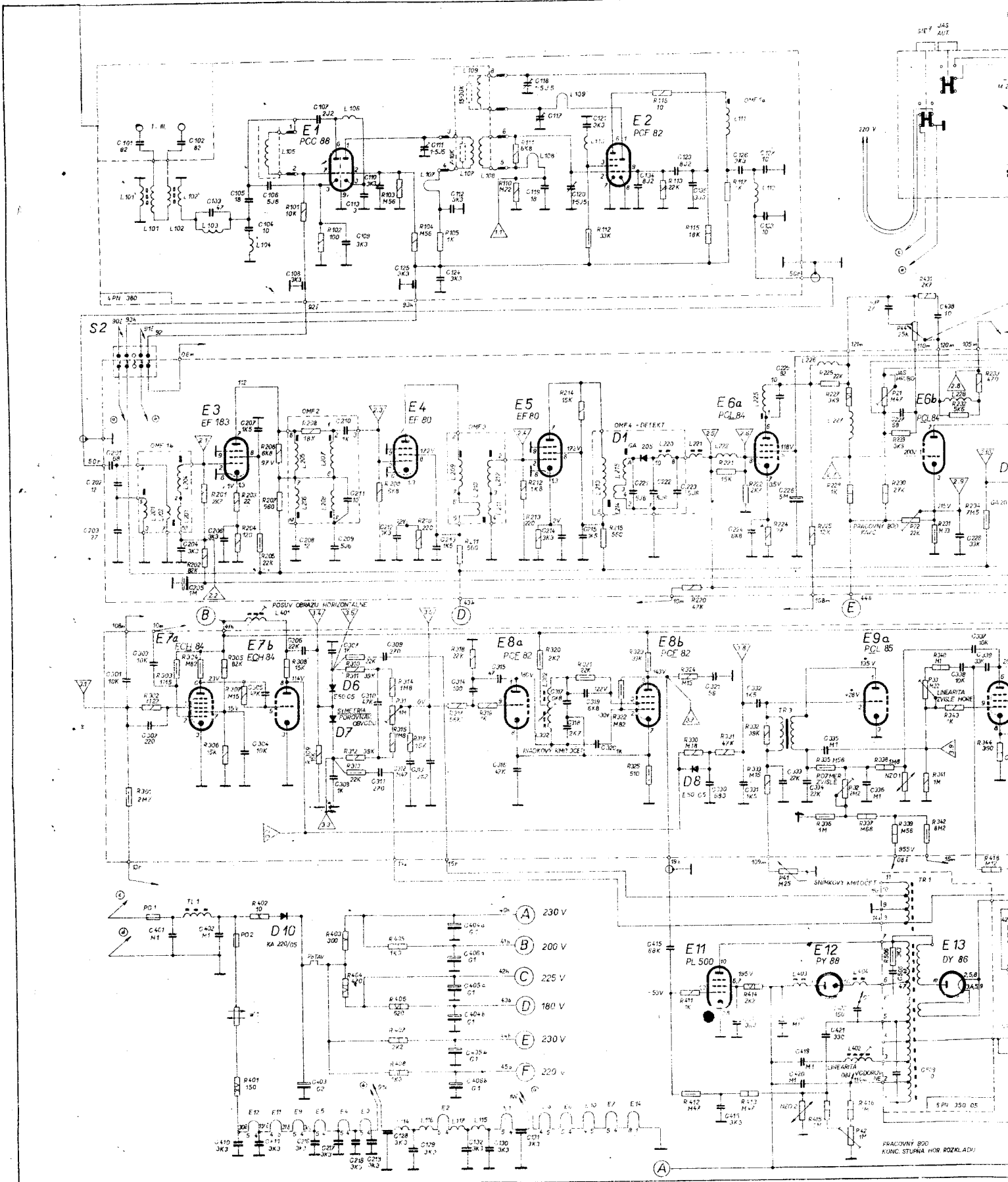


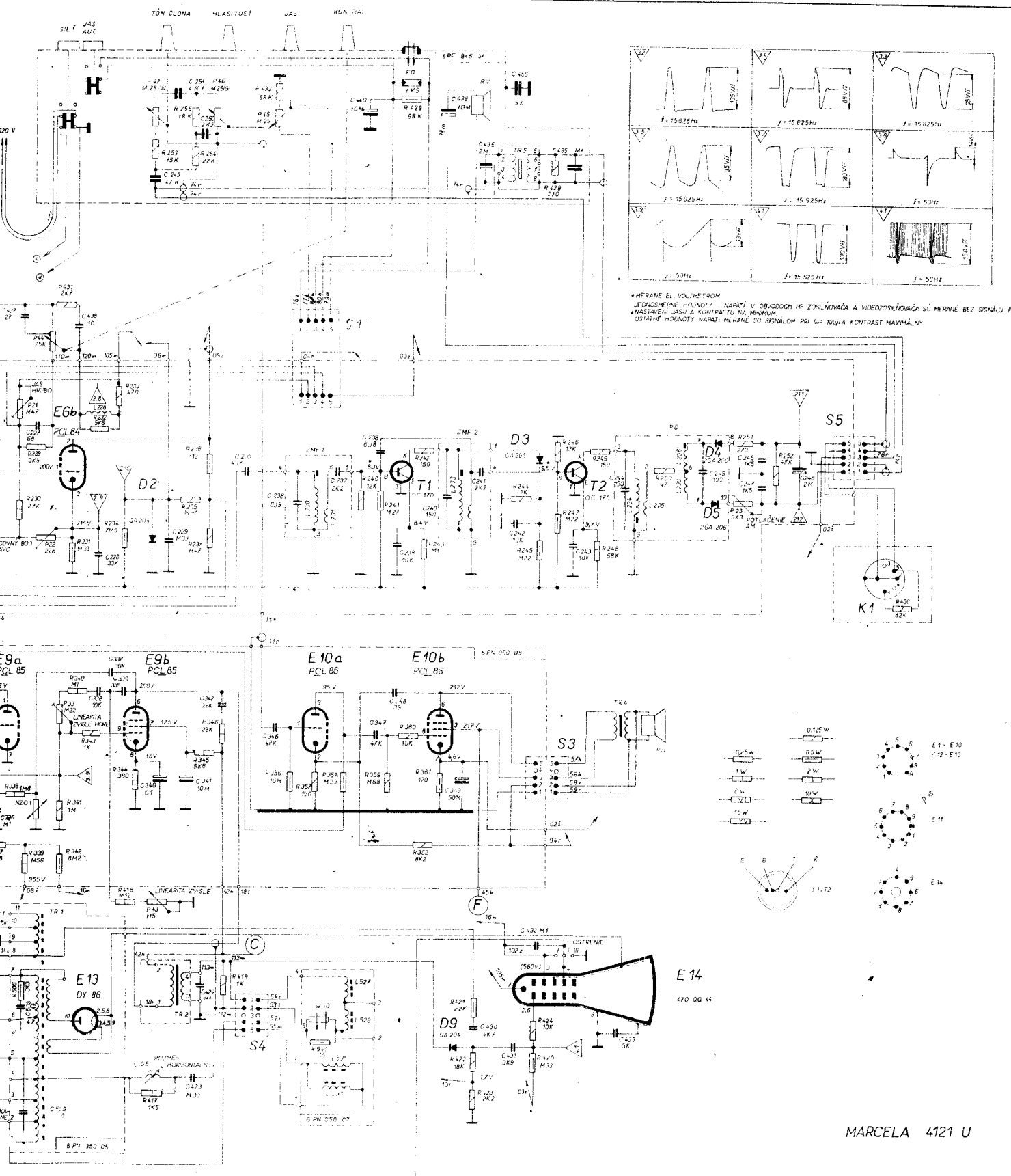
OLIVER 4118 U











MARCELLA 4121 U